Republic of Yemen **Ministry of Oil and Minerals** Geological Survey and Mineral Resources Board



هيئة المساحة الجيولوجية والثروات المعدنية الإدارة العامة للخدمات الفنية إدارة الجيوفيزياء

الإدارة العامة للخدمات القنية

دورة تدريبية في الجس الكهربي العمودي لترتيب رباعي الأقطاب المتناظر (شلمبرجر) لُقياسُ المقاومية الكهربائية وتطبيقاته في التنقيب عن المياه الجوفية

إحراو

١. جيوفيز ڀائي/محفوظ علي عبد الحفيظ (رئيس قسم المسح الكهربائي) (مرئيس قسم الصيانة)

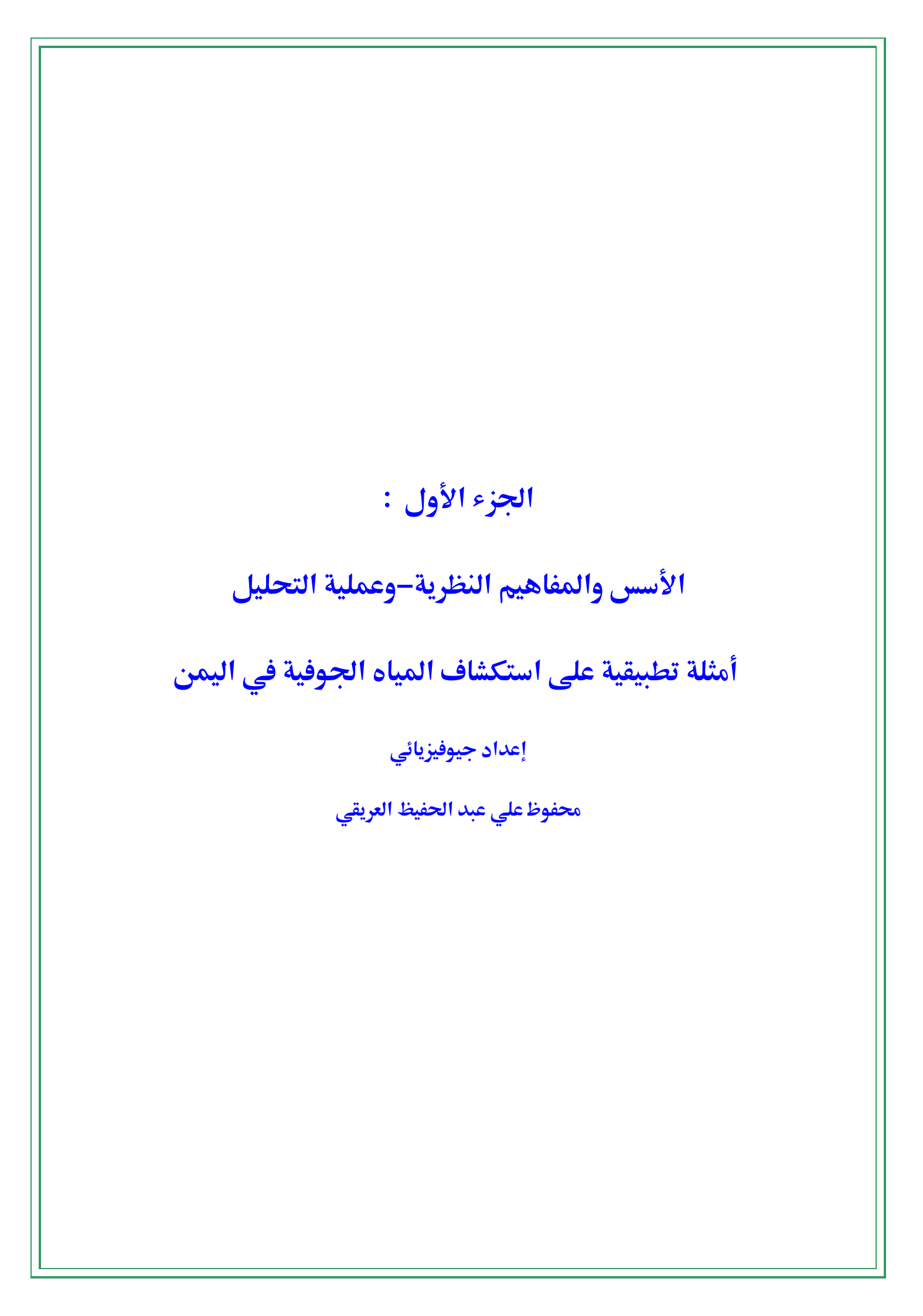
٢. جيوفيز بائي/سمير عبد الصمد العماد

تحت إشراف د فيصل سعيد الهزيم مدير عام الخدمات الفنية

المحتويات

ي	ا الجزء الأول الأسس والمفاهيم النظرية وعملية التحليل أمثلة تطبيقية عل
(٣)	استكشاف المياه الجوفية في اليمن
(١-١مقدمة
(Y)	٢-١ الخواص الكهربانية الصخرية للصخور
(10)	٣-١ الخلفية النظرية للمقاومية النوعية الكهربانية
(¹Ÿ)	١-٣-١نظرية تدفق التيار
	٢-٣-١ استنتاج قيمة العامل الهندسي(K)
(7 ½)	لترتيب شلمبرجر (رباعي الأقطاب المتناظر)
(Yo)	٤-١ الجس الكهرباني العمودي (ترتيب شلمبرجر
(۲ [^])	١-٤-١ تفسير النتائج
(٣٢)	٢-٤-١ علاقة منحنى السبر بتغير أبعاد AB
(٣°)	٣-٤-١مبدأ التوافق
	٤-٤-١ التفسير الكيفي
(٣٨)	٥-٤-١ التفسير الكمي
(° ۲)	٦-٤-١ شرح مبسط لخطوات استخدامVES computer program
	٥- ا بعض الأمثلة التطبيقية للتنقيب عن المياه في مناطق من اليمن على
(٣٦)	وحدات صخرية مختلفة (لمواقع أكدت نتائجها بعملية الحفر)
(\ \ \ \ \ \ \ \ \ \ \ \ \ \ \ \ \ \ \	الجزء الثاني الصيانة وكيفية العمل على أجهزة القياس
(Y£)	١-٢مقدمة
(Y £)	٢-٢ المبادئ النظرية
(Y £)	۳-۲الصيانة Maintenance
(^٧ ^٦)	٢-٢ما هي الكهرباء
	۲-۲-۱ التيار current
(YA)	voltage الجهد ۲-۲-۲
(^{V q})	۳-۲-۲ المقاومة (Resistance)
(^ ·)	٤-٢-٢ المقاومية (المقاومة النوعية)Apparent receptivity
([^])	٥-٢-٢مصادر الاستطاعة المستمرة
(^ Y)	٦-٢-٢ الدارات الكهربانية.
(\lambda \xi)	٣-٢ المقياس متعدد الأغراض
(^o)	١ ـ ٣ ـ ٢ راسم الإشارة
(^°)	٢-٣-٢ إلية العمل على هذه المقاييس
([^])	٤-٢ الطرق العملية في تحديد المقاومية الكهربية النوعية للصخور
(49)	٥-٢ الأدعة ة و المعدات المستعملة في التنقيب الكفريس بالتيار المستمر

(٩٠)	١-٥-٢ أجهزة قياس التيار والجهد الهولندية الصنع
(٩٢)	٢-٥-٢جهاز قياس المقاومية الكهربي الفرنسي الصنع :- SYSCAL R2
(٩٧)	٦-٢ الاحتياطات أللازم إتباعها لقياس المقاومية الظاهرية في الحقل
(٩ A)	المراجع



۱ مقدمة:-

يعتبر التنقيب الكهربائي إحدى الطرق الجيوفيزيائية في دراسة القشرة الأرضية والبحث عن الخامات المفيدة وكذلك المياه السطحية والجوفية وهو يرتكز إلى دراسة الحقول الكهربائية والكهرومغناطيسية المتواجدة في الأرض بفعل العمليات الفيزيائية – الكيمائية أو الفضائية الطبيعية أو بفعل العمليات الاصطناعية.

وتستند إمكانية دراسة القشرة الأرضية بواسطة التنقيب الكهربائي إلى الحقيقة الفيزيائية القائلة بأن بنية وشدة الحقول الكهربائية والكهرومغناطيسية الطبيعية منها والاصطناعية تتعلق بالخواص الكهرومغناطيسية للصخور وبالأبعاد الهندسة لهذه الصخور بمعنى آخر ،تتحدد بنية وشدة الحقول المشار إليها بما يسمى بالمقطع الجيوكهربائي للمنطقة المدروسة.

يعتبر المقطع الجيوكهربي شكلا أخر من أشكال المقطع الجيولوجي ويختلف عنه بأن كل صخر فيه يتميز ليس بتركيبه الليثولوجي أو عمره وإنما بخواصه الكهربائية وهي :-

- 1. التوصيلية الكهربائية (Electrical Conductivity) وعكسها المقاومية الكهربائية (Electerical Resistivity).
 - . (Dielectric Constant) د ثابت العزل.
 - ٣. الحساسية المغناطيسية (Magnetic Permeability)
 - ٤. قابلية الاستقطاب (Polarization) .
 - ٥. الفعالية الكهروكيميائية (Electrochemical Activity)

ويتميز التنقيب الكهربي بتعدد كمية طرق ووسائل إجراء القياسات الحقلية ويستعمل قسم من هذه الطرق بشكل شائع وعملي في الدراسات الجيولوجية كما أن القسم الأخر قد اهمل وليس له سوى أهمية تاريخية أما القسم الثالث فمازال في طور التطوير ويمكن توضيح هذا التعدد بالأسباب التالية:

- ١) تعدد الخواص الكهربائية للصخور
- ۲) الطيف الواسع لترددات الحقول المدروسة (من التيار المتواصل وحتى مئات الميجاهرتز).
 - ٣) تعدد طرق خلق الحقول الكهربائية في الأرض.
 - ٤) أمكانية قياس المركبتين الكهربائية والمغناطيسية للحقل الكهرومغناطيسي.
 وتعتبر طرق التيار المتواصل من أكثر طرق التنقيب الكهربائي تطوراً وبالتالي استعمالا في

الواقع العملي ويعود أسباب ذلك :

- أ- هو أن نظرية الحقول الكهربائية المتواصلة في الأوساط المتجانسة وغير المتجانسة أبسط من المتناوبة.
- ب- وضوح المعنى الفيزيائي للمعاملات المقاسة في التيار المتواصل منه في التيار المتناوب.
- ت- ارتفاع العمق الاستكشافي لطرق التيار المتواصل (السبب الأهم).

ومع ذلك يجب الإشارة إلى أن إحدى أهم مشاكل التنقيب الكهربائي هي فرز الإشارات التي تعكس الأهداف العميقة المبحوث عنها ، عن التشويش الكهربائي المرتبط بعدم تجانس الوسط المحيط بتلك الأهداف . وفي هذه الحالة تظهر مميزات التيار المتناوب في الكشف عن تلك الأهداف.

وتصنف طرق التنقيب الكهربائي إلى تصانيف كثيرة حسب الاسس المعتمدة في هذه التصانيف كما يلي:

A. طبيعة الحقول المدروسة

- i. طرق الحقول الطبيعية
- Self-potential .\
- Audio-frequency magnetic field(AFMAG) . Y
 - Telluric current and magnetotellurics . T

وهنا التيار الكهربي يسري في الأرض دون تدخل الإنسان ولكن صممت أجهزة بحيث تتحسس وتقيس الجهود الناتجة عن هذه التيارات الضعيفة

- ii. طرق الحقول الصناعية
- Induced Polarization (IP) .\
 - Electromagnetic (EM) .7
 - Equipotential Point . "
 - Resistivity .5
 - B. علاقة الحقول مع الزمن
 - ١. طرق التيار المتناوب(المتردد)
- ٢. طرق التيار المتواصل (المستمر)

- C. أماكن تواجد مصادر الحقل ونقاط القياس
 - أ- طرق ارضية
 - ب- طرق جوفية
 - ت- طرق جوية
 - ث- طرق بحرية
 - D. حسب نوع المسائلة المطروحة للحل
 - i. طرق بنيوية
- ii. طرق جيولوجية هندسية
- iii. طرق هيدرولوجية مكمنية

٢-١ الخواص الكهربائية الصخرية للصخور

الخواص الكهربية للصخور هي الخواص الفيزيائية التي يبديها الصخر عند تعرضه للحقول الكهربائية بمختلف أنواعها وتنسب إلى الخواص الكهربية كل من:

- () التوصيلية الكهربائية (Electrical Conductivity) وعكسها المقاومية الكهربائية (Electrical Resistivity) .
 - ر (Dielectric Constant) ثابت العزل
 - " (Magnetic Permeability) الحساسية المغناطيسية (٣
 - ٤) قابلية الاستقطاب (Polarization)
 - o) الفعالية الكهروكيميائية (Electrochemical Activity)

وتعتبر هذه الخواص انعكاسات كمية وموضوعية للتركيب المعدني والصخري وكذلك لبنية الصخر وتاريخ تشكله الجيولوجي وشروط توضعه وأيضا للوضعية الهيدرولوجية التي يوجد بها الصخر. وتميز كل خاصية من الخواص السابقة الصخر من وجهة نظر محددة وعليه تستخدم كأساس في استعمال طريقة أو عدة طرق في التنقيب الكهربائي.

ويمكن تحديد الخواص الكهربائي للصخور بواسطة قياسها مباشرة أو في الآبار أو في المقالع والمناجم أو على المنكشفات الصخرية.

وتجب معرفة الخواص الكهربية للصخور من اجل تحقيق احد أو كامل الأهداف التالية:

- ✓ تفسير نتائج القياسات الكهربائية الحقلية.
- ✓ حل بضع مسائل في الحيوفيزياء كإقامة العلاقة بين الخواص الكهربية والتركيب الفلزي للصخر بمنشئه وعمره وبنيته ونسيجه وتشققه ودرجة إشباعه بالمياه وخواصه الخزنية وغيرها.

(P) المقاومية الكهريائية النوعية للصخور

تعتبر المقاومية الكهربائية النوعية (ونسميها اختصاراً المقاومية) الخاصية الكهربائية الأساسية للصخور وهي تساوي مقلوب الناقلية (التوصيلية) σ

$$\sigma = \frac{1}{\rho}$$

وتقاس المقاومية بوحدة تسمى أوم متر (أوم.م) ، ويمكن الحصول على أبعاد المقاومية في التعريف المعروف في الفيزياء لمقاومة ناقل مقدرة بالأوم والتي تعطى بالعلاقة:

$$R = \frac{\rho \, l}{A}$$

حيث l طول الناقل ، A مساحة مقطع الناقل

ومن هنا نحد أن المقاومية تساوي عددياً مقاومة متر مكعب من الصخر لتيار كهربائي يمر من أحد وجوه المكعب إلى وجهه المقابل.

وتتغير المقاومية من صخر إلي صخر ضمن حدود واسعة جداً من أجزاء من الألف من ال أوم. متر للمعادن الثمينة إلى عدة مليارات للعوازل أمثال الميكا والكوارتز.

والجدول أدناه يوضح بعض المقاوميات لبعض الصخور

Typical Electrical Resistivities of Earth Materials

Material Resistivity	(Ωm)	
Clay	1-20	
Sand, wet to moist	20-200	
Shale	1-500	
Porous limestone	100-1,000	
Dense limestone	1,000-1,000,000	
Metamorphic rocks	50-1,000,000	
Igneous rocks	100-1,000,000	

طبيعة الناقلية الكهربية للفلزات والصخور:

تقسم الصخور مثل باقي المواد الى:

- ا. نواقل الكترونية (نواقل درجة اولي) تنتقل بها الشحنات الكهربائية بواسطة الالكترونات الحرة .
- ٢. نواقل أيونية (نواقل درجة ثانية) تنتقل بها الشحنات الكهربائية عبر الشوارد (الشوائب)
 المتواجدة في المحاليل التي تملا فراغات.

وتمتلك بعض الصخور كلا التناقليتين ويبين الجدول التالي توزيع الصخور والفلزات حسب نوعية ناقليتها الكهربائية:

نوعية الناقلية الكهربائية	الفلزات والصخور	
	المعادن (بلاتين ، ذهب ، فضة ، نحاس، الجرافيت)	•
الناقلية الالكترونية	السولفيدات (جالينا ، كالكوبيريت الخ	•
	بعض الأكاسيد (ماجنتيت ، كاستريت الخ	•
	كافة الصخور الرسوبية والإندفاعية (البركانية)	•
الناقلية الأيونية	والمتحولة	
	الفلزات الغير داخلة في المجموعة الأولى	•
	المياه الطبيعية	•

العوامل المؤثرة على المقاومية الكهربائية النوعية للصخور:

تتحدد مقاومية الصخور بالعوامل الآتية:-

- ١) العوامل الجيولوجية والهيدر وجيولوجية للمنطقة.
 - ٢) التركيب المعدني للصخور.
 - ٣) المسامية:

تتناقص مقاومية الصخور مع زيادة مساميتها وذلك بسبب زيادة احتمالية وجود المياه في المسامات.

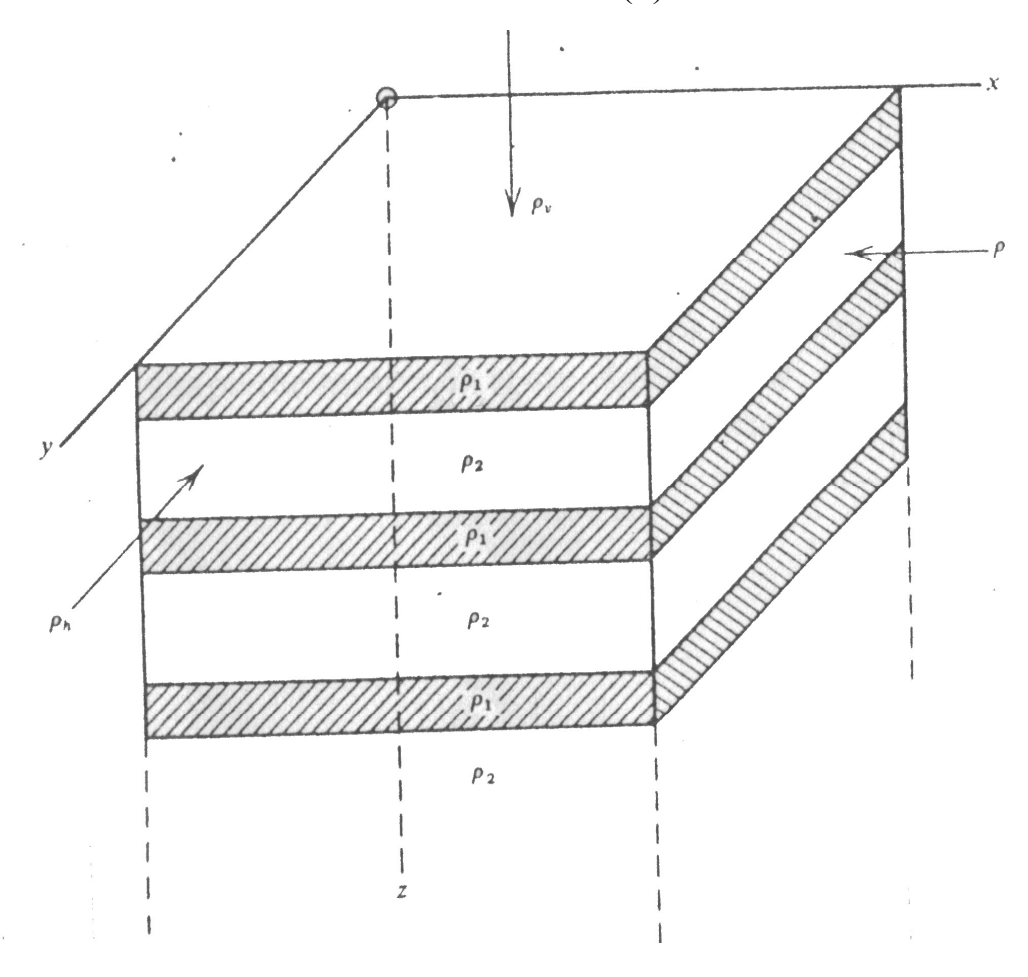
كما تتناقص مقاومية الصخور مع زيادة الإشباع المائي للفراغات المسامية الموجودة في تلك الصخور ويمكن توضيح الإشباع المائي بأنه يكون تحت مستوى المياه الجوفية يكون امتلاء المسامات بالمياه أعظميا بينما يكون هذا الملء أقل منه فوق سطح المياه الجوفية ونظرا لوجود مياه ثقلية (وهي المياه التي تملا فراغات الصخر وتسمى بالمياه ألحجميه) فإننا نلاحظ أكثر الاختلافات في قيم المقاومية في الرمال كبيرة الحبيبات والحصى والصخور المتشققة

القاسية)و على العكس في الغضار وبفعل زيادة كمية المياه متينة الارتباط فإن المقاومية لا تختلف كثيراً لا تختلف بحالة كون الصخر فوق أو تحت سطح المياه الجوفية.

٤) التشقق

٥) البنية والنسيج الصخري

حيث تتغير مقاومية الصخور أيضاً تبعا لتركيب المسالك التي تمرر التيار وطبيعة المسامات والشقوق الثانوية واتجاهاتها ، أي تبعاً للخصائص التي تتحدد بعلم الصخور بمفاهيم البنية والنسيج إن هذه الخصائص لا تغير المقاومية فحسب بل تسبب في ظهور ما يسمى بالانيزوتروبية الكهربائية وهي: وهي اختلاف الناقلية الكهربية المقاسة على طول التطبق عن تلك المقاسة عموديا عليه شكل (1)



Anisotropic resistivity as a result of horizontal bedding (۱) شکل

وتظهر الانيزوتروبية أول ما تظهر في كافة الصخور الرسوبية الغضارية تقريبا وفي صخور الشست، والتي تتألف من صفيحات رقيقة مختلفة المقاومية أن مثل هذه الصخور تمرر التيار الكهربائي على طول التطبق أفضل منه بالحالة المتعامدة وتلاحظ هذه الظاهرة في الصخور المتحولة حيث تكون الناقلية الكهربائية كبيرة على طول الامتداد.

أما الصخور المتشققة فهي من الأوساط التي ينتشر بها التيار الكهربائي بشكل أكثر سهولة على طول اتجاه التشقق مما يؤدي إلى اعتبارها انيزوتروبية.

وعندما لا يخضع التشقق إلى نظام معين وهي الحالة التي نواجهها عندما عندما يتعرض الصخر لعمليات التجوية فمن الصعب الحديث عن تحديد للانيزوتروبية في هذا الصخر.

وتتحدد قيمة الانيزوتروبية بما يسمى بعامل الانيزوتروبية (λ) حيث:

 $\lambda = \sqrt{(\rho v/\rho h)}$

حيث ρν هى المقاومية المقاسة بشكل عمودي على اتجاه التطبق او الاتجاه السائد لنظام التشقق في الصخر.

ρh المقاومية المقاسة بشكل موازي لاتجاه التطبق أو على طول نظام التشقق في الصخر ويبين الجدول أدناه قيمة معامل الانيزوتروبية الكهربائية

قيمة عامل الانيزوتروبية(λ)	الصخر
1.1-1	غضار (طين) ضعيف التطبق
1.10-1.1	غضار (طين) مع طبقات رقيقة من الرمال
1.7-1.1	غضار (طين) شيستي
1.٣-1	الحجر الحيري (الكلسي)
7.7-1.7	الشيست الغضاري
1.7-1.1	الحجر الرملي المتطبق
۲.٥-١.٣	الفحم الحجري
7.0-1.1	الصخور القاسية المتشققة
7.0-1.0	الاننتراسيت
٣-٢	الشيست الفحمي والجرافيت

٦) ملوحة المياه الجوفية:

تتعلق مقاومية الصخور بالناقلية الكهربائية للمياه الجوفية وعندما يكون تركيز الاملاح المنحلة في المياه قليلا، وهي الحالة التي نقابلها في الضروف الطبيعية عادة، فإن مقاومية المياه يمكن اعتبارها قيمة متناسبة عكسيا مع التركيز وتتعلق بشكل غير كبير بتركيب الأملاح المنحلة.

ومن الممكن ، وبدقة مقبولة عمليا تحديد مقاومية المياه بفرض أن التركيز سببه ملح معين يلعب دورا رئيسيا في المنطقة الهيدرو كيميائية المدروسة و غالباً ما يستخدم ملح كلوريد الصوديوم ويتم حساب مقاومية المياه الجوفية في حالة التأثير المسيطر لكلوريد الصوديوم استنادا إلى العلاقة التجريبية التالية

$$\rho \approx 8.4/M$$

(g/L) درجة الملوحة مقدرة بال M

- ٧) الرطوبة
- ۸) درجة الحرارة

نظرا لإرتفاع درجة الحرارة فإن قابلية حركة الشوارد تزداد وعليه فإن مقاومية الصخور تنخفض وتتحدد هذه العلاقة بالمعادلة التالية:

$$\rho_t = (\rho_{18})/(1+\infty)(t-18)$$

- هي مقاومية الصخر بالدرجة t مقدرة بالدرجة المئوية. ho_t
- ، ho_{18} هي مقاومية الصخر بالدرجة ١٨ مقدرة بالدرجة المئوية .
- ، ويساوي العامل ∞ لأجل محلول كلوريد الصوديوم (٢٦٠٠٠) ، فإذا بدلنا قيمته في المعادلة السابقة تبين لنا أن مقاومية الصخر تنخفض تقريبا مرتين عندما ترتفع درجة الحرارة الى ٠٠٤م. ويجب اخذ هذه الظاهرة بعين الاعتبار عند دراسة الخواص الكهربائية للصخور على أعماق كبيرة..

هذا ونظراً لديناميكية العوامل المذكورة سابقاً والمؤثرة على مقاومية الصخور فانها تتغير في حدود كبيرة بالنسبة لنفس الصخر، وتتغير مقاومية معظم الصخور في شروط التوضع الطبيعية من الواحد وحتى الألف اوم متر. وتتميز الصخور القاسية بأنواعها الثلاثة الرسوبية والبركانية والمتحولة بأعلى قيم للمقاومية (أكثر من ٢٠٠-٣٠٠ أوم مر).

ففي الصخور البركانية الاندفاعية تبلغ قيمة المقاومية ١٠٠٠ وأحيانا ١٠٠٠ (اوم.م). وتؤثر على قيمة مقاومية الصخور القاسية وبشكل حاسم التجوية والتشقق ويخفض التشقق الحاصل تحت سطح المياه الجوفية ،أي في شروط الإشباع من قيمة المقاومية للصخور القاسية وحسب درجة التشقق والتعرية ودرجة ملوحة المياه الجوفية يمكن أن يصل هذا الانخفاض في قيمة المقاومية إلى عشرات المرات عما كان عليه لنقس الصخر عندما كتلة واحدة ، وإذا ملئت الشقوق بنواتج التجوية الفيزيائية والكيميائية أو بإعادة توضع الغضار ، فإن المقاومية تنقص أيضاً عشرات وأحيانا مئات المرات بالنسبة للصخر غير المتعرض لعملية التجوية أما إذا ملئت الشقوق بالهواء فعلى العكس تزداد المقاومية عنها بالصخر غير المتعرض لعملية التجوية .

أما مقاومية الصخور الهشة فتتحدد بكاملها عملياً بالشروط الهيدروجيولوجية التي توجد بها هذه الصخور ، وعليه فإن الرمال الجافة يمكن أن يكون مقاومية تتجاوز عشرات آلاف الأوم.متر ، أما عندما تتشبع هذه الرمال بالمياه بشكل كامل فإن مقاومتها تنخفض إلى عشرات الأوم.متر وبحالة كون المياه شديدة الملوحة تصل مقاوميتها الى مرتبة واحد أوم.متر.

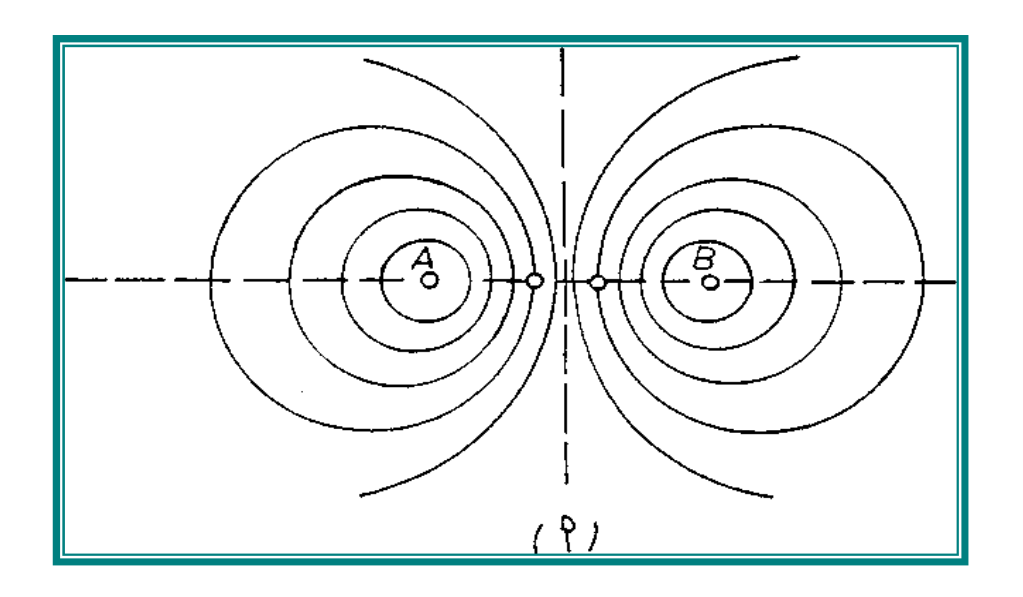
وتتميز الصخور الغضارية بإنخفاض قيمة مقاوميتها من جهة وبمحدودية مجال تغيرٍ هذه المقاومية من جهة أخرى فالغضار بحري المنشأ له مقاومية تتغير من ١-٢ أوم متر إلى ١٠ أوم متر وتزداد هذه المقاومية مع زيادة الشوائب الرملية في الصخر وزيادة عمره الجيولوجي وتقل مقاومية غضار المياه العميقة الذي يتميز بإنتظام مكوناته وصغر إبعاده الهندسية ويكون للغضار القاري مقاومية بحدود ٥-٢٠ أوم متر تزداد بإزدياد الشوائب الرملية الى ١٥-٠٠ أوم متر في الرمل اللومي وبشكل عام تزداد مقاومية الصخور الهشة كلما كبرت أبعاد حبيباتها فعند الإنتقال من الغضار الى اللوم الى الرمل اللومي الى الرمل الليم الدى وانها تزداد من عدة أومات متر إلى مئات الأوم متر.

ونستنتج من كل ما سبق أن كل صخر يتميز بمجاله الخاص الذي تتغير ضمنه مقاوميته. إلا أنه في بعض الشروط الجيولوجية والهيدرولوجية المحددة نجد أن صخورا مختلفة قد يكون لها نفس المقاومية ، الأمر الذي يعقد التفسير الجيولوجي لنتائج التنقيب الكهربائي.

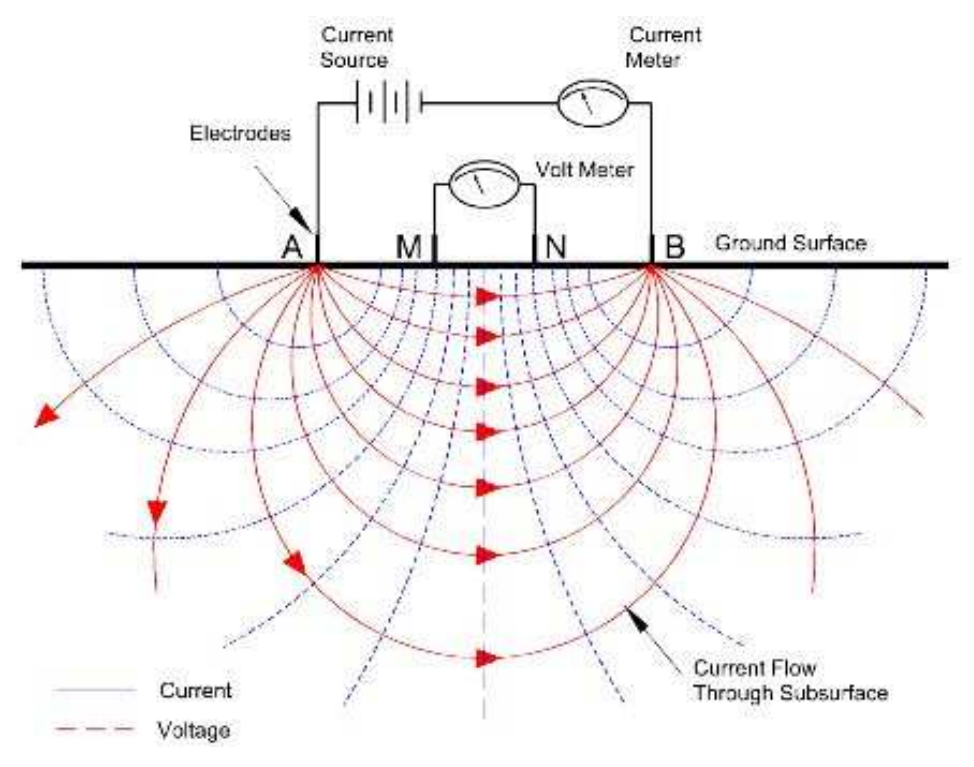
- 1. Water \uparrow , $\rho \downarrow$
- 2. Salinity \uparrow , $\rho \downarrow$
- 3. Temperature \uparrow , $\rho \downarrow$
- 4. Porosity \uparrow , $\rho \downarrow$ (water filled)
- 5. Clays \uparrow , $\rho \downarrow$
- 6. Metallic minerals \uparrow , $\rho \downarrow$

٣-١ الخلفية النظرية للمقاومية النوعية الكهربائية:

إن أساس المقاومية النوعية الكهربائية هو إمرار تيار كهربائي خلال سطح الأرض عبر زوج من الأقطاب (A, B) وإن التغييرات في طبيعة المواد تحت السطحية في التوصيل تعمل على انحراف خطوط تساوي الجهد (equipotential lines) العمودية على خطوط تدفق التيار المار خلال الأرض ،و هذا بدوره يؤثر في توزيع الجهد الكهربائي الذي يقاس بواسطة زوج من الأقطاب (M, M) كما في الشكل (M, M).

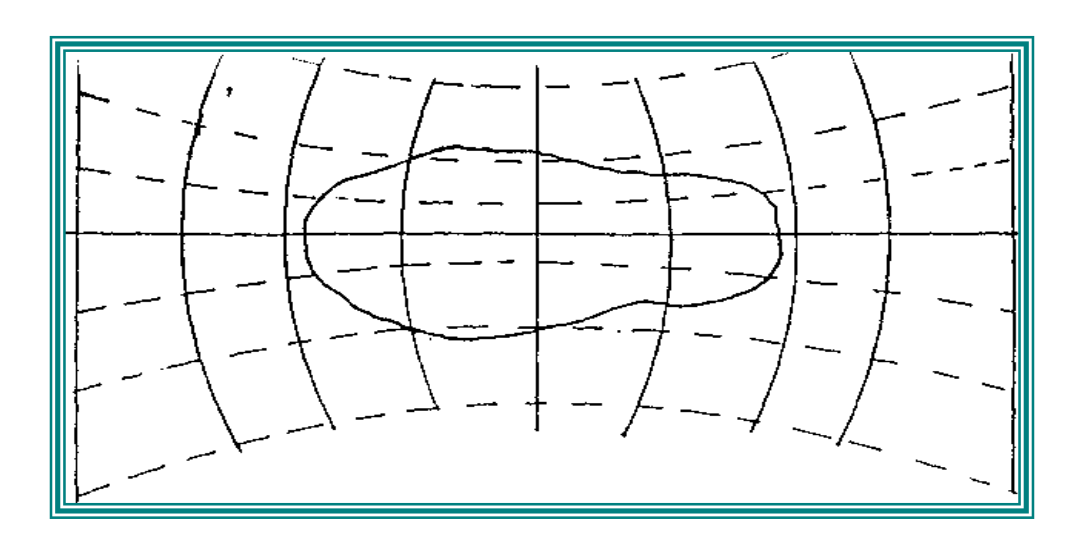


شكل (١٦)- توزيع خطوط تساوي الجهد وخطوط تدفق التيار عند مستوى سطح الأرض

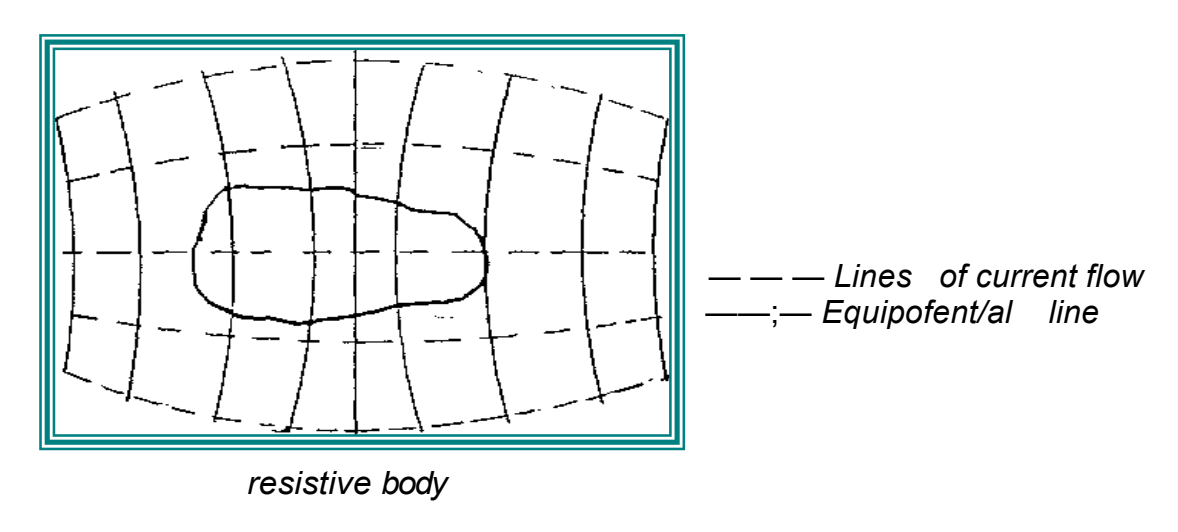


شكل (٢ب)- توزيع خطوط تساوي الجهد وخطوط تدفق التيار تحت سطح الأرض

عند وجود جسم ذي مفاومية نوعية عالية أعلى من الصخور المحيطة فإن ذلك يودي الى تباعد خطوط التيار وتجمع خطوط الجهد نحو الجسم مما يؤدي الى زيادة فرق الجهد وبالتالي في قيمة المقاومية النوعية الظاهرية المقاسة ، وبالعكس من ذلك في حالة وجود جسم موصل ، كما في الشكل (٣) (Sharma, 1976; Kunetz, 1966) .



conductive body

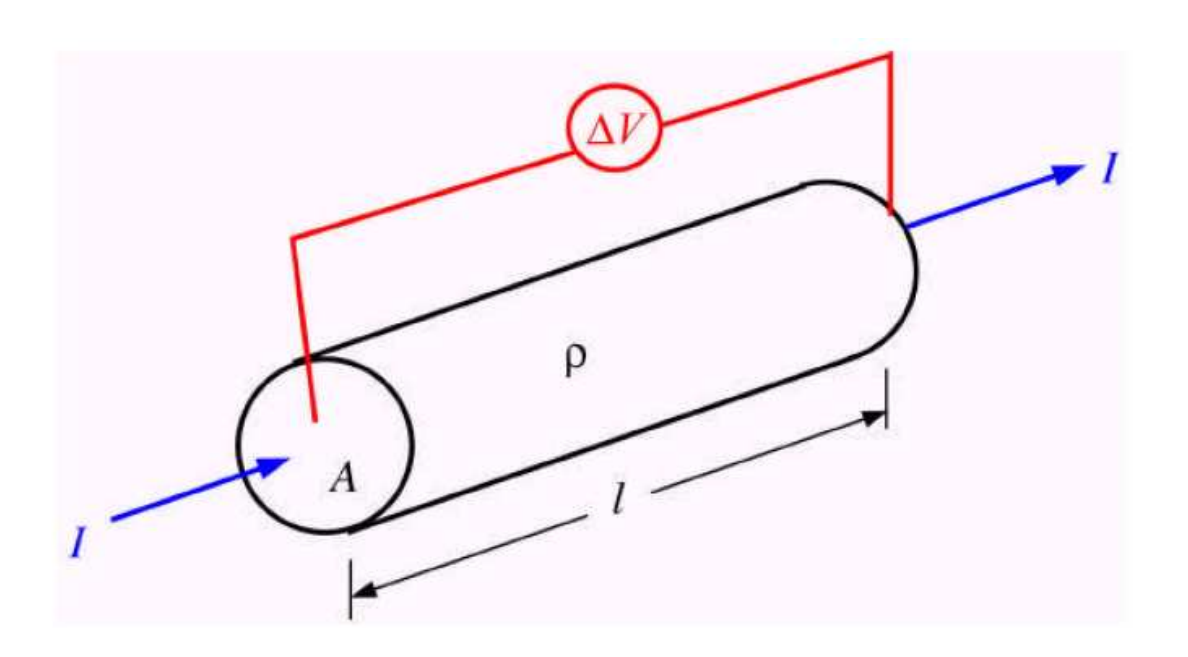


شكل (٣) تأثير الإجسام الموصلة وذات المقاومية العالية على خطوط تدفق التيار وخطوط تسكل (٣) تأثير الإجسام الموصلة وذات المقاومية الكهربي عند سطح الأرض (Kunetz, 1966)

١-٣-١ نظرية تدفق التيار:

لفهم سريان التيار الكهربائي في الأرض فإنه يجب الأخذ بعين الاعتبار كونها متجانسة (Homogeneous) ذات خصائص متساوية الاتجاهات (Isotropic) ولها مقاوميات نوعية منتظمة أي أنها تتكون من طبقات ذات نوعية مختلفة(Keller and Frischknecht1970) كما أن الأساس هو قياس الانحدار الجهدي (Potential gradient) من على السطح المرافق لسريان التيار الكهربي (Van Nostrand and Cook1966).

(I) ومقاومتها (R) والتي ينساب خلالها التيار (I) ومقاومتها فرن الخذنا طبقة متجانسة طولها (L) ومقاومتها والتي ينساب خلالها التيار (Dhm's law فإن فرق الجهد ΔV عبر نهايتي المقاومة يعبر عنه بوساطة قانون أوم ΔV عبر نهايتي المقاومة يعبر عنه بوساطة قانون أوم (Griffith and King 1981, Sharma 1976)



شكل (٤) تعريف المقاومية

 $\Delta V = IR \tag{1}$

وتعرف المقاومية النوعية (P) لأية مادة أنها مقاومية مقطع عرضي اسطواني ذي وحدة طول (L) ووحدة مساحة (A) شكل (3).

فإذا تدفق التيار بين نهايتي الاسطوانة فإن مقاومته النوعية يعبر عنها بالعلاقة الآتية:

$$\rho = R \frac{A}{L} \tag{2}$$

ويعبر عن المقاومة (R) من العلاقة أدناه (٣) كما يلي:

$$R = \frac{\rho l}{A} \tag{3}$$

و عليه فإن التيار الكلي المار خلال المقطع العرضي هو:

$$I = \frac{\Delta V}{R} = \Delta V \frac{A}{L} \frac{1}{\rho}$$
 (4)

و كثافة التيار (Current density) نحصل عليها من العلاقة:

$$J = \frac{I}{A} = \frac{\Delta V}{\rho L} \tag{5}$$

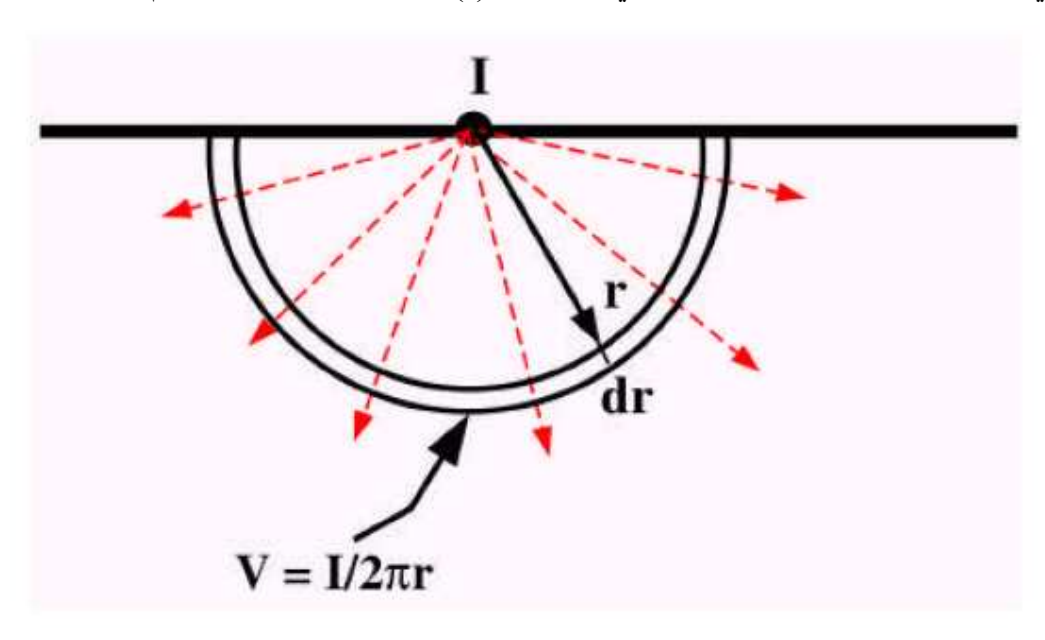
وإذا كانت خطوط تدفق التيار غير متوازية فإن النسبة وإذا كانت خطوط تدفق التيار غير متوازية فإن النسبة الأعظم ويعبر عن قانون أوم في هذه الحالة كما يأتي King 1981; Keller and Frischknecht, 1970

$$J = -\frac{1}{\rho} \frac{dV}{dr} \tag{6}$$

الإشارة السالبة تدل على أن الجهد يزداد في الاتجاه المعاكس لسريان التيار ، كما أن كثافة التيار في الاتجاه (r)

$$J_{r} = -\frac{1}{\rho} \frac{dV}{dr} \qquad(7)$$

في هذه الحالة يستعمل انحدار الجهد في الاتجاه (r) بدلاً من الانحدار الأعظم .



شكل (٥) يوضح شكل المصدر النقطي

إن اشتقاق الجهد في وسط متجانس بسبب مصدر نقطي (Point source) شكل (٥) يمكن التعبير بالعلاقة الآتية :

$$V = \frac{S}{r} \tag{8}$$

حيث أن (S) ثابت يمثل شدة المصدر وهو يعتمد على المقاومية النوعية للوسط وعلى التيار وموقع المصدر ، بالإضافة إلى طبيعة الوسط.

وبالتعويض بالمعادلة (Λ) في المعادلة (V) فإن كثافة التيار خلال وحدة مساحة دائرية نصف قطر ها (r) محيطة بالمصدر هي :

$$J = -\frac{1}{\rho} \frac{dV}{dr} = \frac{S}{\rho r^2} \tag{9}$$

وبما إن كثافة التيار متساوية في أجزاء السطح الكروي جميعها للمادة المتجانسة فأن التيار الكلى سيكون:

$$I = 4\pi r^2 \frac{S}{\rho r^2} = 4\pi \frac{S}{\rho}$$
 (10)

الذلك فإن قيمة (S) هي :

$$S = \frac{I\rho}{4\pi} \tag{11}$$

في حالة كون الوسط شبه محدود (Semi-infinite) يفصل الوسط عن الهواء بواسطة مستوى ، ويقع السطح الفاصل بينهما (مشابه لمسوحات المقاومية النوعية) فيكون تدفق التيار خلال نصف الكرة هو:

$$S = \frac{I\rho}{2\pi} \tag{12}$$

شدة المصدر في المعادلة (١٢) هي ضعف شدة المصدر في المعادلة (١١) ، فإذا تم قياس انحدار الجهد في نقطة على مسافة (r) من المصدر على سطح الأرض ، وبمعرفة شدة التيار فيمكن حساب المقاومية النوعية (P).

من المعادلتين (۸)و (۱۲) نحصل على أن :

$$V = \frac{I\rho}{2\pi r} \tag{13}$$

إن المعادلة (١٣) هي المعادلة الأساسية التي تستخدم في حسابات توزيع الجهد في وسط متجانس ذي خصائص متساوية في الاتجاهات جميعها ,Sharma,1976; Parasnis) متجانس ذي خصائص متساوية في الاتجاهات جميعها ,1972;Bhattacharya and Patra, 1968) بالعلاقة الآتية:

$$\frac{\mathrm{dV}}{\mathrm{dr}} = \frac{-\mathrm{I}\rho}{2\pi\mathrm{r}^2} \tag{14}$$

يمثل
$$\left(\frac{dv}{dr}\right)$$
 الانحدار السطحي للجهد الذي هو المجال الكهربائي في المركز وتكون

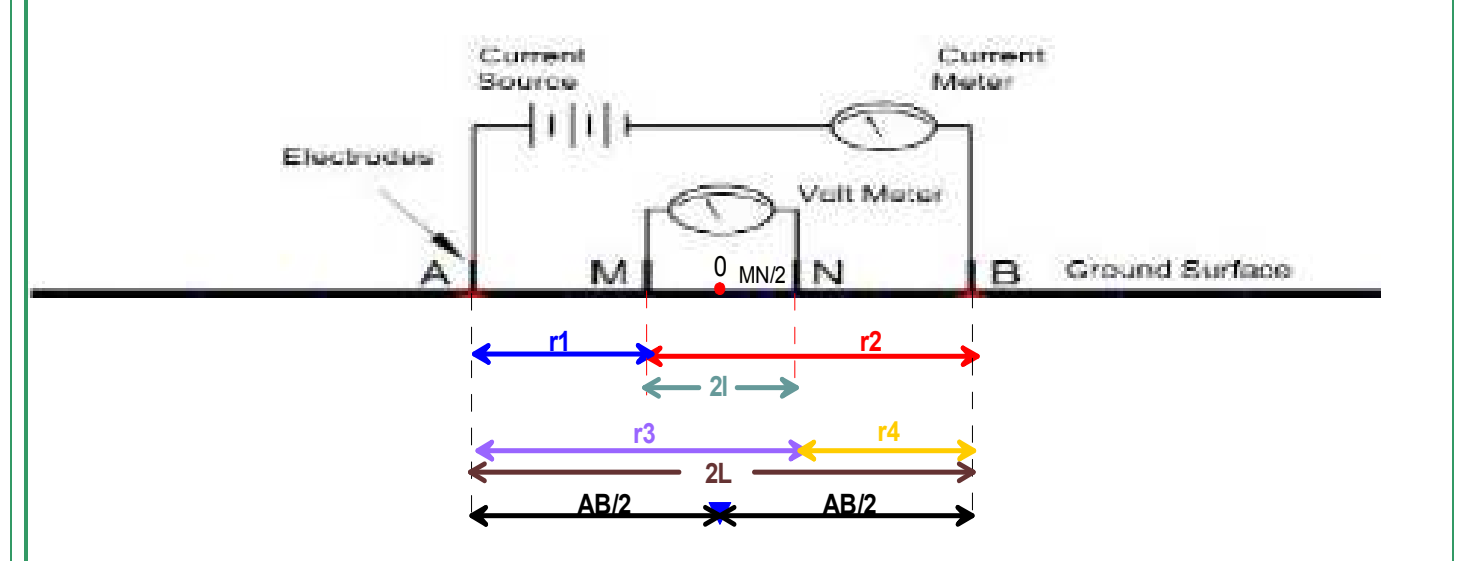
المقاومة النوعية هي:

$$\rho = \frac{-2\pi r^2}{I} \frac{dV}{dr} \tag{15}$$

في حالة المسح الكهربائي يمرر تيار في الأرض بواسطة قطب فيكون الجهد الكهربائي في نقطة (P) على مسافة (r) من القطب هو :

$$V = \frac{I\rho}{2\pi r} \tag{16}$$

ويستعمل في معظم الترتيبات في المسح الكهربائي قطبان لقياس فرق الجهد (M,N) مثبتة في الأرض على خط مستقيم مع قطبي المصدر (A,B) ، كما هو موضح في الشكل $(^{\circ})$ وهو توضيح لطريقة النشر المستخدمة في الجس الكهربي العمودي لرباعي الأقطاب المتناظر (ترتيب شلمبرجر).



شكل (٥) رباعي الأقطاب المتناظر (ترتيب شلمبرجر).

إن الجهد في النقطة (M) والناتج عن القطبين (A,B) هو:

$$V_{M} = \frac{I\rho}{2\pi} \left(\frac{1}{r_{1}} - \frac{1}{r_{2}} \right)$$
 (17)

والجهد في النقطة (N) والذي ينتج من لقطبين(A,B) هو:

$$V_{N} = \frac{I\rho}{2\pi} \left(\frac{1}{r_{3}} - \frac{1}{r_{4}} \right) \tag{18}$$

لذلك فإن فرق الجهد بين النقطتين (M,N) هو:

$$V_M - V_N = \Delta V = \frac{I\rho}{2\pi} \left(\frac{1}{r_1} - \frac{1}{r_2} - \frac{1}{r_3} + \frac{1}{r_4} \right)$$
(19)

و عليه فإن :

$$\rho = 2\pi \frac{\Delta V}{I} \left(\frac{1}{\frac{1}{r_1} - \frac{1}{r_2} - \frac{1}{r_3} + \frac{1}{r_4}} \right)$$
(20)

$$\rho = 2\pi K \frac{\Delta V}{I} \tag{21}$$

إذ أن (K) هو العامل الهندسي (Geometric factor) لترتيب الأقطاب.

إن قيمة ($\frac{\rho}{1}$) في الوسط المتجانس لا تعتمد على مواقع الأقطاب و لا على المسافة الفاصلة بينهما إذ تبقى النسبة ($\frac{\Delta V}{I}$) ثابتة على الرغم من تغير كمية التيار ومواقع الأقطاب نفس النشر Keller and Frischthnecht,1970;Sharma,1976) وفي حالة عدم التجانس تعرف المقاومية النوعية أنها المقاومية النوعية أنها المقاومية النوعية الظاهرية ، والتي تساوي النسبة بين فرق الجهد والتيار المار خلال الوسط غير المتجانس مضروبة بعامل يمثل دالة للمسافات المتتالية بين الأقطاب الأربعة واتجاه النشر ، حيث تتغير النسبة ($\frac{\Delta V}{I}$) مع تغير مواقع الأقطاب ومسافاتها وبدور ها تعين التغيرات الجانبية في المقاومية النوعية لطبقات الأرض (Sharma,1976 and Telford et.al.,1976) .

إن قيمة المقاومية النوعية الظاهرية في الوسط غير المتجانس (Heterogeneous) قد تكون أقل أو أكبر من قيمة المقاومية النوعية الحقيقية ولكن في حالات نادرة تكون القيمتان متساويتان لترتيب معين لأقطاب التيار Keller and Frischthnecht,1970;Battacharya) and Patra,1968)

٢-٣-١ استنتاج قيمة العامل الهندسي (K) لترتيب شلمبرجر (رباعي الأقطاب المتناظر):

بالعودة إلى الشكل (٥) والمعادلة العامة (٢٠) لحساب العامل الهندسي (K) لأي ترتيب

إذاً بما أن:

$$\rho = 2\pi \frac{\Delta V}{I} \left(\frac{1}{\frac{1}{r_1} - \frac{1}{r_2} - \frac{1}{r_3} + \frac{1}{r_4}} \right)$$

بالعودة الى الشكل (٥) والتعويض عن قيم عن قيم (r_1,r_2r_3,r_4) بدلالة كل من (L,l) نحصل على العلاقة الآتية:

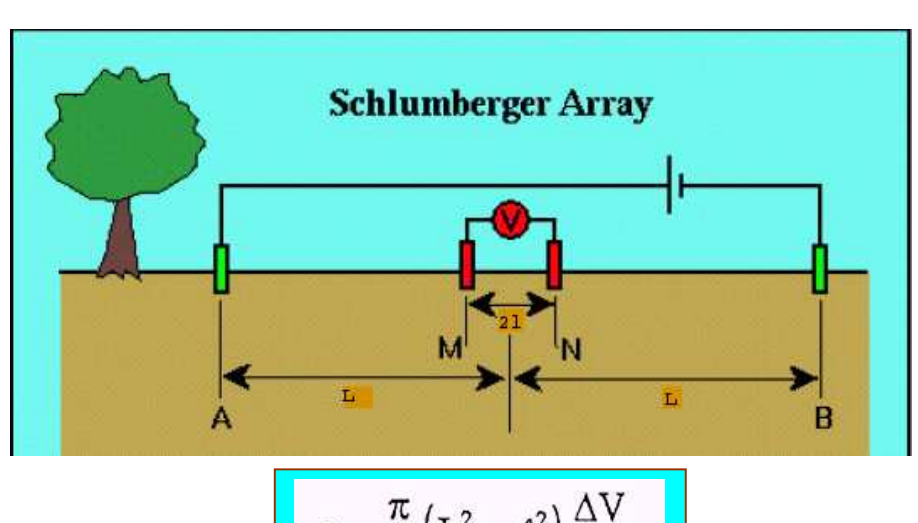
$$\rho = 2\pi \frac{\Delta V}{I} \left(\frac{1}{\frac{1}{L-\ell} - \frac{1}{L+\ell} - \frac{1}{L+\ell} + \frac{1}{L-\ell}} \right) \dots (22)$$

$$\rho = \frac{\pi}{2\ell} \left(L^2 - \ell^2 \right) \frac{\Delta V}{I} \tag{23}$$

۱-۱ الجس الكهربائي العمودي (ترتيب شلمبرجر) Vertical Electrical (ترتيب شلمبرجر) (Schlumberger configuration) Sounding

يهدف الجس الكهربائي العمودي إلى تتبع تغيرات المقاومية الكهربائية مع العمق تحت نقطة ما من سطح الأرض وربط هذه التغيرات مع المعلومات الجيولوجية المتوفرة لكي نتمكن من تفسير البنية التحت سطحية بتفصيل أكثر.

وعندما نستخدم طريقة شلمبرجر (Schlumberger) شكل (٦) في الجس الكهربي العمودي ، يتم إبقاء مساري الكمون (فرق الجهد) ثابتة حول مركز التشكيل (AB) ، بينما يتم نقل مساري التيار بشكل تباعدي ومتدرج وبحيث نحافظ على تناظر هما .



$$\rho = \frac{\pi}{2\ell} \left(L^2 - \ell^2 \right) \frac{\Delta V}{I}$$

شكل (٦) يوضح طريقة التناظر في ترتيب شلمبرجر

إن روتين العمل الحقلي في طريقة شلمبرجر هو أكثر سهولة من طريقة وينر لأننا نقوم بتحريك قطبي التيار (A,B) فقط وإضافة الى ذلك ، فإن تأثير مقاومية عدم التجانس الضحلة المحلية الموجودة في الجوار (نتيجة وجود التربة الزراعية أو التجوية الخ) يكون ثابتاً من أجل جميع القياسات لأن مساري (أقطاب) الكمون اوفرق الجهد (القياس) تبقى ثابتة، ومن أشهر المخططات النموذجية لتباعد مساري التيار هو أن نبدأ بتباعد لمساري الكمون(فرق الجهد)

مقداره (٠.٥ متر) وابقاء هذا التباعد ثابتاً ثم نقوم بوضع مساري (قطبي)التيار بحيث يكون تباعديهما بالمتر:

L=(AB/2)= 2.5,4,6,8,10,15,20,30,40

وقد لوحظ من التجارب الحقلية كثيرا ما يصبح فرق الكمون (الجهد) بين قطبي القياس (M,N) صغيراً عندما يزداد طول (AB/2) فنقوم في هذه الحالة بزيادة تباعد مساري فرق الجهد (الكمون) مثلا إلى ١٠ متر وتتابع الجس مع تباعد مساري التيار كما يلي :

L=(AB/2)=30,40,50,75,100,150,200

ثم نقوم بزيادة تباعد فرق الجهد (الكمون) إلى ٥٠ متر مثلاً وتتابع الجس مع تباعد مساري التيار كما يلي:

L=(AB/2)=150,200,300,400,500,.....

وتعطى المقاومية الظاهرية (Apparent resistivity) من العلاقة :

$$\rho_{a} = \frac{\pi}{2\ell} \left(L^{2} - \ell^{2} \right) \frac{\Delta V}{I}$$

والتي يمكن ان تكتب بالصورة الأتية

$$\rho_a = \frac{\left(\frac{AB}{2}\right)^2 - \left(\frac{MN}{2}\right)^2}{MN} \pi \left(\frac{V}{I}\right)$$

ونراعي في طريقة النشر إن تتحقق العلاقة الآتية بين أبعاد النشر لكل من أقطاب التيار وأقطاب القياس (اقطاب فرق الجهد):

 $AB \ge 5 * MN$

ويتعين العمق الفعال والذي نحصل عليه من العلاقة الأتية:

Effective depth midrange(center of the effective depth) ZE is about:

$$Z_E/2L = 0.190....(24)$$

(Edwards, 1977) where "2L" is distance AB

(And the effective depth zone $(0.5~Z_E~to~1.6~Z_E)$ مند عمق التأثیر لنطاق یمتد من extends from $0.5~Z_E~to~1.6~Z_E)$

(AB/2) مع قي EZE، SZE، ZE مع قي والجدول الأتي يوضح

(AB/2)	ZE	SZE	EZE
1.5	0.57	0.285	0.912
2.5	0.95	0.475	1.52
4	1.52	0.76	2.432
6	2.28	1.14	3.648
8	3.04	1.52	4.864
10	3.8	1.9	6.08
15	5.7	2.85	9.12
20	7.6	3.8	12.16
30	11.4	5.7	18.24
30	11.4	5.7	18.24
40	15.2	7.6	24.32
40	15.2	7.6	24.32
50	19	9.5	30.4
75	28.5	14.25	45.6
100	38	19	60.8
150	57	28.5	91.2
150	57	28.5	91.2
200	76	38	121.6
200	76	38	121.6
300	114	57	182.4
400	152	76	243.2
500	190	95	304
600	228	114	364.8
700	266	133	425.6
800	304	152	486.4
900	342	171	547.2
1000	380	190	608

حيث أن: ZE هي قيمة مركز عمق التاثير

SZE، هي بداية نطاق عمق التاثير

، EZE هي نهاية نطاق عمق التاثير

مع مراعاة إن جزء من التيار الكهربائي الذي نرسله في الأرض والذي يمر من عمق أكبر من عمق محدد ما سوف يزداد مع ازدياد تباعد المساري وعلى سبيل المثال إذا كان تباعد المساري يساوي العمق (Z) فلن يمر أكثر من 9.7% من التيار الكلي تحت هذا العمقZ ولكنه سوف يزداد إالى 9.0% إذا كان تباعد المساري يساوي ضعف العمق ،ويصل الى 7.7% إذا كان تباعد المساري يساوي أربعة أضعاف العمق . ولو رغبنا أن يمر 9.0% من التيار تحت عمق معين بحيث يحجز 9.0% فوق ذلك العمق ، يتوجب أن يبلغ تباعد المساري 9.0% ضعف العمق المطلوب.

إن قيمة المقاومية النوعية الظاهرية المسجلة بهذه الوضعية تتعلق بشيئين هما:

- ١) الوضعية البنيوية والتركيبية للطبقات الواقعة تحت المنطقة المدروسة.
- الوضعية الهندسية لمساري إدخال التيار للأرض وتسجيله وبالطبع فإن الوضعية الهندسية تبين أن العمق الذي يصل إليه التيار يتعلق بشكل مباشر بالبعد بين المساري (A,B).

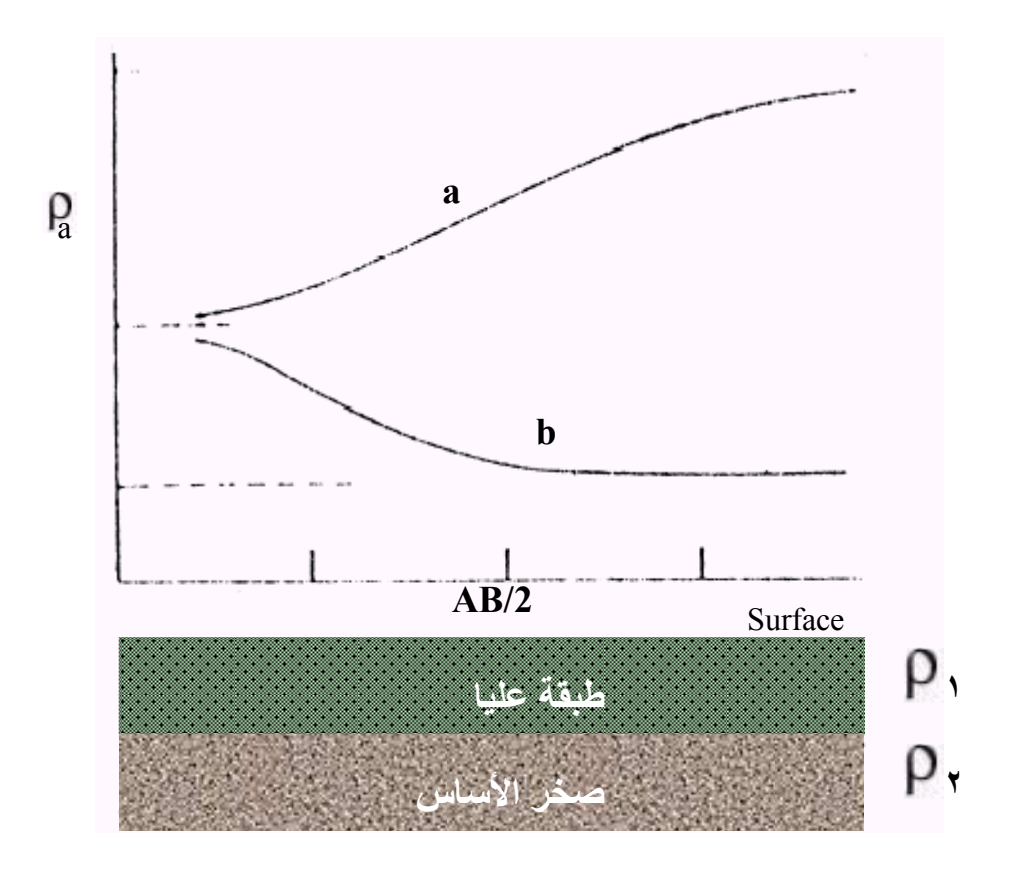
أن الأثر الأكبر على قيمة المقاومية الظاهرية تحدثه الصخور الواقعة في حجم الوسط الذي يدخل اليه التيار ويتوزع فيه

١-٤-١ تفسير النتائج:

تكون الخطوة الأولى في تفسير نتائج الجس الكهربي العمودي بتمثيل نتائج القياسات الحقلية على ورق رسم لو غارتمية بحيث نوقع على المحور السيني نصف تباعد مساري التيار (AB/2) و على المحور الصادي قيم المقاوميات الظاهرية المحسوبة.

ويمكن أن نكتسب بعض الفهم لطبيعة منحنيات الجس الكهربائي من دراسة بعض الحالات البسيطة.

لندرس حالة طبقة واحدة كما في الشكل (٧) وهي ذات سماكة معينة تغطي صخر الأساس الذي يمتد نجو الأسفل بشكل لا متناه، لنفترض أولاً أن الطبقة العلوية ذات ناقلية كهربائية أفضل من صخر الأساس، يمكن ان تظهر هذه الحالة عندما تغطي التربة الزراعية والرواسب الحديثة ذات الناقلية الجيدة طبقة سفلية ذات ناقلية ضعيفة.



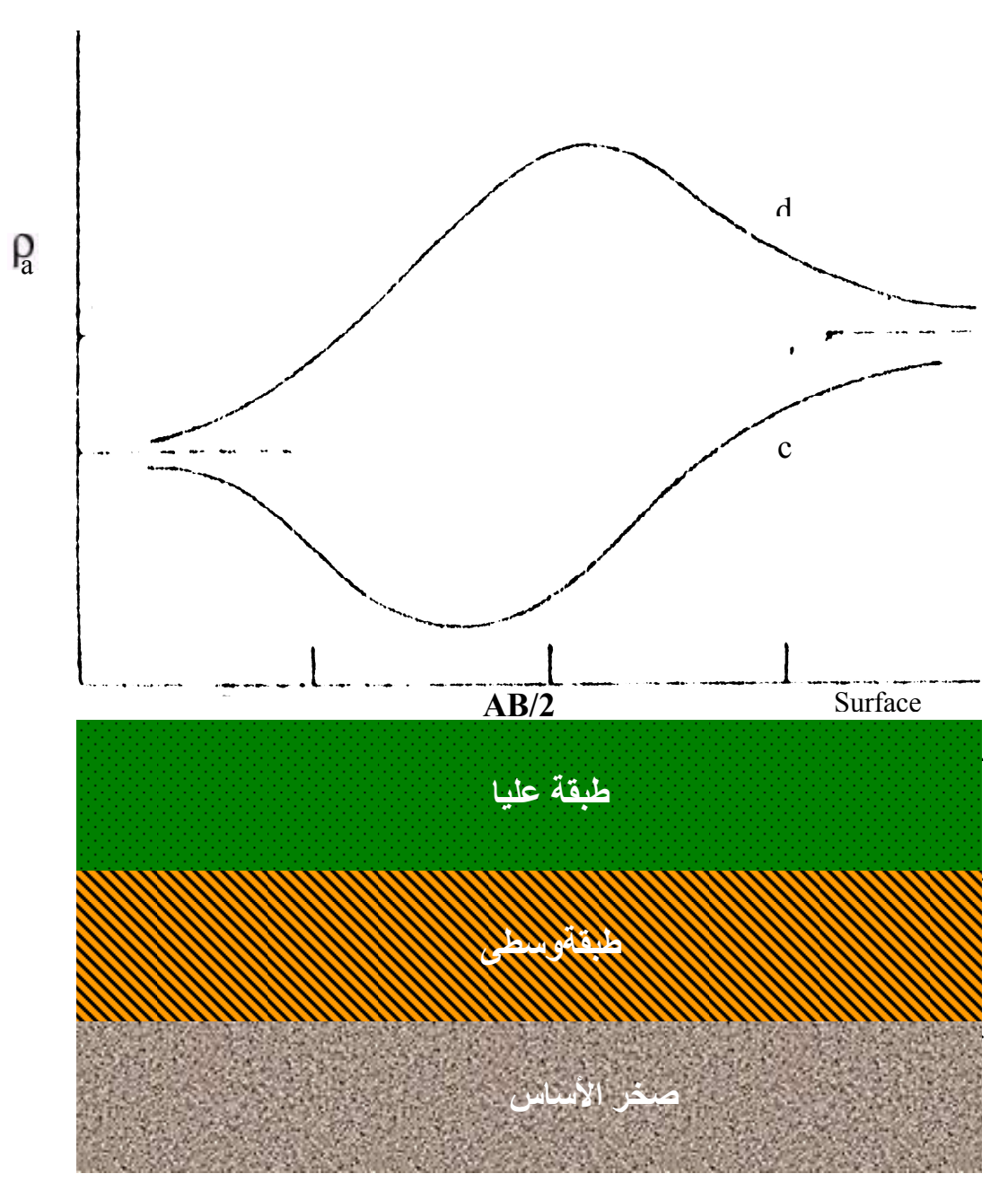
شكل (٧) منحنى جس كهربي مثالي لطبقة واحدة ذات سماكة معينة تغطي صخر الأساس

فعندما يكون تباعد مساري التيار صغيراً جداً فإن المقاومية الظاهرية لا تختلف كثيراً عن مقاومية الطبقة العليا لأن التيار سيكون محصوراً بشكل كبير قرب السطح ،وعندما يزداد تباعد المساري ،سيمر تيار أكبر في صخر الأساس ،فتزداد المقاومية الظاهرية.

وعندما يكون تباعد مساري التيار كبيراً ، يمر التيار كله عملياً من خلال صخر الأساس ،ولهذا يقترب المنحنى من مقاومية صخر الأساس ،يكون لمنحنى المقاومية الكامل مظهر انسيابي (منحنى a) بحيث لايوجد فيه تغير حاد يظهر عمق صخر الأساس بشكل مباشر.

ومن ناحية أخرى ،اذا كانت الطبقة العليا ذات ناقلية أقل من صخر الأساس ،كما يمكن أن يحدث مثلاً عندما يكون صخر الأساس محتويا على تمعدنات السلفيد مثل البيريت والكالكوبيريت اومعدن الماجنتيت (احد اكاسيد الحديد)...الخ، فإن المقاومية الظاهرية ستتناقص مع زيادة تباعد المساري ونحصل عندئذ على منحنى من نمط أخر منحنى b شكل(٧)

والآن اذا اقحمنا طبقة ثالثة بين الطبقة العلوية وصخر الأساس تنتج منحنيات للمقاومية الظاهرية ترتبط أشكالها بمقاوميات الطبقات الثلاث



شكل (٨) منحنى جس كهربي مثالي فوق ارض ذات تطبق إفقى

ففي الشكل (٨) منحنى (c) افترضنا أن الطبقة المتوسطة هي ذات ناقليه كهربية أعلى من ناقليه كل من الطبقة العليا وصخر الأساس. كما افترضنا أن صخر الأساس هو ذو مقاوميه أعلى من مقاوميه كل من الطبقة المتوسطة والطبقة العليا ، عندما يكون تباعد المساري صغيرا ،تكون المقاومية الظاهرية قريبة من مقاوميه الطبقة العليا ولكن عندما يزداد تباعد المساري ، فإن جزءاً من هاماً التيار سيدخل الطبقة المتوسطة ، مما يؤدي إلى هبوط المقاومية الظاهرية إلى نهاية صغرى من أجل تباعدات مساري معينة . ومع زيادة تباعد المساري ، سيدخل التيار أكثر فأكثر اللى صخر الأساس ذو ألناقليه الضعيفة مما يؤدي إلى بدء ارتفاع المقاومية الظاهرية من جديد ،

وعندما يبلغ تباعد مساري التيار حداً كبيراً ،تقترب عندها المقاومية الظاهرية من مقاوميه صخر الأساس .

إذا كانت الطبقة المتوسطة ذات مقاوميه أعلى من مقاوميه كل من الطبقة العليا وصخر الأساس، عندئذ يمكن أن يأخذ منحنى المقاومية الظاهرية المنحنى (d) من الشكل (Λ) .

يبين التحليل النظري التفصيلي أن تباعد ألمساري الذي نبلغ عنده نقطة الانعطاف في المقاومة الظاهرية في مثل هذه الحالات ، لا يحمل ولسؤ الحظ أي علاقة بسيطة أو واضحة مع عمق الطبقة المتوسطة. كما أن قيمة النهاية العظمى أو الصغرى للمقاومية الظاهرية لا تعطي لوحدها أي إشارة إلى مقاوميه الطبقة المتوسطة.

وتجدر الإشارة إلى أن مسألة تفسير منحنيات الجس الكهربي هي من أعمق مسائل الجيوفيزياء التطبيقية ،ويجب أن يحاذر القارئ المبتدى دائماً أية قواعد بسيطة تشير بشكل سطحي إلى هذا الموضوع.

وكل ما يستطيع أحدنا تخمينه من دراسة سطحية للمنحنيات ، إذا لم يكن لديه الخبرة الكافية ، هو أن يستدل على وجود ناقل جيد أو ردي على عمق معين ما.

إن علاقة المقاومية الظاهرية بالبعد بين ألمساري $A_{,}B_{,}$ بالنسبة للمقاطع الجيوكهربائية المختلفة معقدة جداً والحساب النظري لهذه العلاقة يعتمد على حساب توزيع الحقل الكهربائي النقطي في أوساط ذات خواص كهربائية مختلفة . وحتى الآن فإن هذه الحسابات عملت لمقاطع جيوكهربية بسيطة وخاصة حالة الأوساط المتوازية ، وبالطبع فأن شكل منحنيات السبر الناتجة يتعلق بعدد هذه الأوساط والعلاقة بين مقاومياتها الظاهرية . و هكذا نميز منحنيات ثنائية أي في حالة المنحنيات الثنائية تكون لدينا المتحولات هي :

- ١. مقاومية الوسط الأول (٩٠)
 - (h_1) سماكة الوسط الأول (h_1)
- (P_{τ}) مقاومیة الوسط الثانی باعتبار سماکته لانهائیة (P_{τ})

و حالة المنحنيات الثلاثية تكون المتحولات هي:

وبشكل عام فإن منحنيات الجس الكهربائي هي تابع لعدة متحولات $(h_2, h_1, \rho_r, \rho_r, \rho_r, \rho_s)$ اي أن :

٢-٤-١ علاقة منحنى السبر بتغير أبعاد AB

من الواضح أنه عندما تكون المسافة بين AB صغيرة فإن الحجم الداخلي ضمن منطقة تأثير الحقل الكهربائي يكون صغيرا ويكون بشكل أساسي ضمن الطبقة العليا لهذا فإن قيمة المقاومية الظاهرية تكون قريبة من مقاومته الطبقة العليا أو مساوية لها.

AB ومع از دياد بعد AB فإن التيار يبدأ بالانتشار في الطبقة الثانية أيضاً وأكثر كلما از داد ومع از دياد بعد المقاومية الظاهرية تبدأ بالزيادة في حالة كون $\rho_{\tau}>\rho_{1}$ أو بالنقصان في حالة كون $\rho_{\tau}<\rho_{1}$.

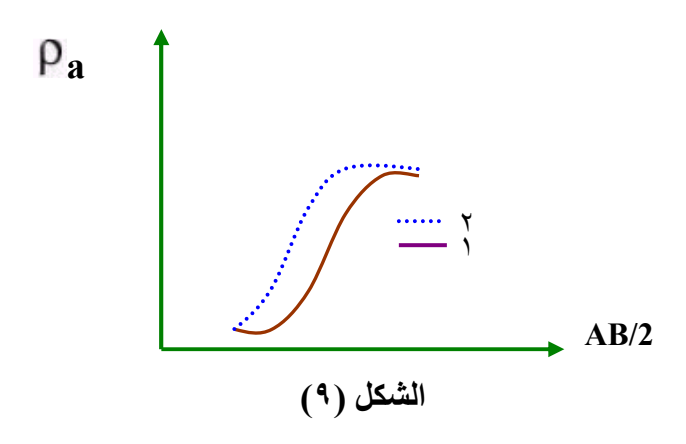
وكلما كان AB أكبر بكثير من h_1 سماكة الطبقة العليا كلما زاد تأثير الطبقة الثانية حيث أن الحجم الذي يدخله التيار في الطبقة الأولى لن يشغل جزءاً كبيراً من منطقة تأثير التيار وبالتالي فإن قيمة $\rho_{\rm k}$ ستتناهي إلى قيمة $\rho_{\rm k}$.

ومن هنا فإن شكل المنحنيات الثنائية يجب أن يكون واحد من أثنين فإما مرتفع إلى الأعلى حيث تكون $ho_{ au} >
ho_{ au} >
ho_{ au}$.

ومثل هذه المناقشة تسمح لنا بأن نحصل على فكرة توضيحية لأشكال المنحنيات الثلاثية التي يمكن أن تكون ، فإذا كانت سماكة الطبقة الثانية نهائية وتساوي $h_1+h_2 << AB$ يبدأ في شغل مكان في الوسط الثالث . وحسب نوعية المقاومة فيه يمكن أن يكون شكل المنحنى إما مرتفعا في حال $\rho_r > \rho_r > \rho_r$ وسينتهي بالطبع الى قيمة $\rho_r > \rho_r > \rho_r$ وهكذا يمكن ان تكون شكال المنحنيات الثلاثية أربعة:

$$\rho_{1} > \rho_{2} < \rho_{3}$$
 $\rho_{1} < \rho_{3} < \rho_{4}$
 $\rho_{1} < \rho_{3} > \rho_{4}$
 $\rho_{2} > \rho_{3} > \rho_{4}$

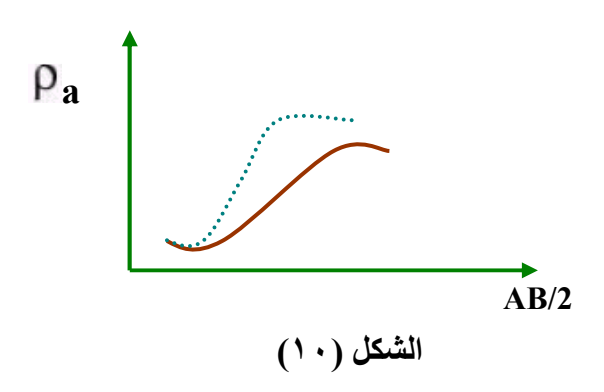
لنلاحظ الآن تغيرات أشكال المنحنيات تبعا لتغير المتحولات في حالة المنحنيات الثنائية. في الشكل (٩) نلاحظ بأن المنحني ١٠٢



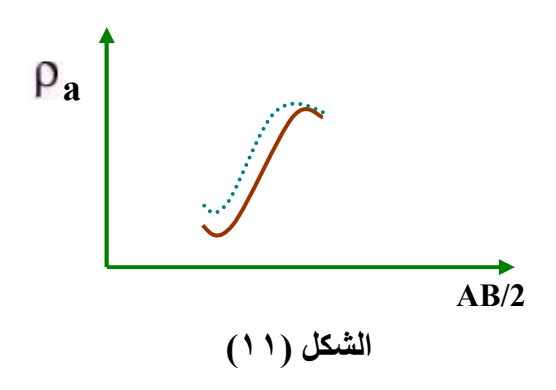
إن هذين المنحيين هما لجس كهربي فوق وسطين متجانسين من ناحية ويختلفان فقط من ناحية كون سماكة الطبقة الأولى في الثاني أكبر منها في الأول ،عندما تكون السماكة أكبر فإن ارتفاع المنحنى ٢ يبدأ عندما تزداد قيم AB وهذا طبيعي .

ونظراً لأن المقاوميات متساوية فإننا نلاحظ أن القيم على محور الحداثيات ho_a تكون ثابتة.

من الشكل (١٠) نلاحظ بأن سماكة الطبقة الأولى واحدة إلا ان المتحول هوقيمة 2 التي هي اكبر في المنحنى ٢

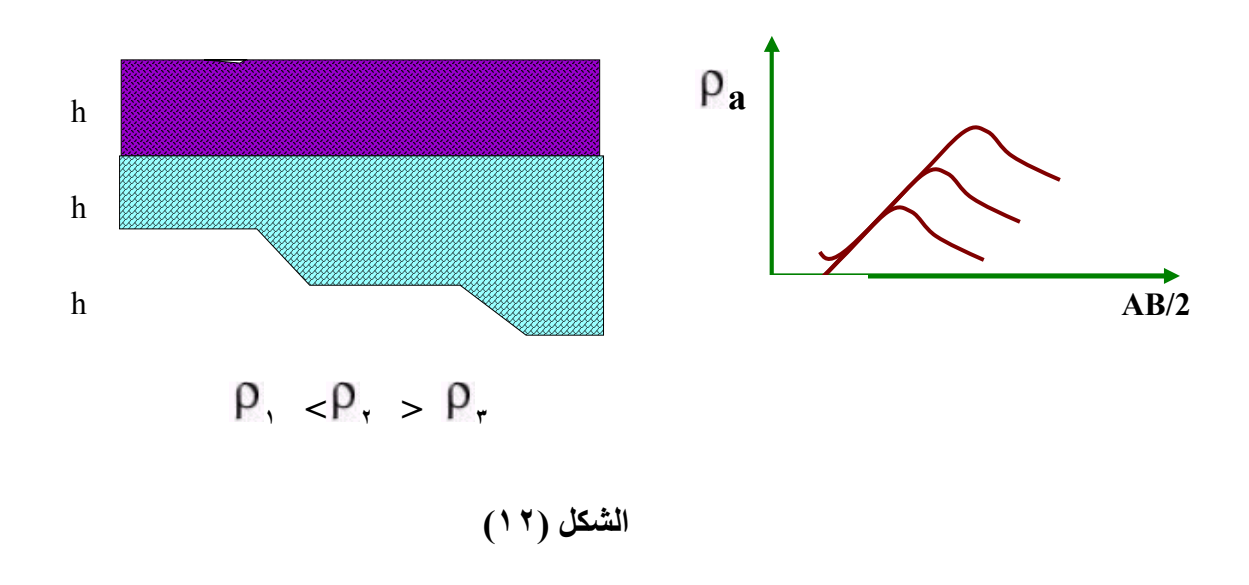


ومن الشكل (١١) نلاحظ بأن المقاومة الظاهرية في المنحنى ٢ أكبر منها في المنحنى ١ على الرغم من أن قيم ρ_2 ثابتة وتغيرات ارتفاع المنحنيين تبدأ معا و هذا واضح بسبب ثبات قيم h_1



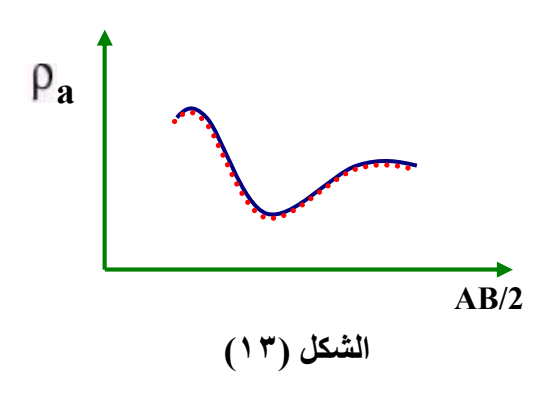
وبنفس طريقة المناقشة يمكن أن نحصل على فكرة مبسطة عن تأثير تغير المتحولات في الأوساط المتعددة الطبقات.

لناخذ مثالاً أخيرا عن المنحنى الثلاثي عندما يكون P_1 , P_2 , P_3 ، وحين تتغير P_4 فقط شكل (١٢) من الواضح ان المنحنى يصل إلى نهايته العظمى بسبب الطبقة الثانية ذات المقاومية المرتفعة ، وتزداد هذه النهاية وضوحاً كلما ازدادت سماكة الطبقة الثانية ، أما انخفاض قيم P_4 بعد نهايتها العظمى فيرجع الى تأثير الطبقة الثانية . أما إنخفاض قيم P_4 بعد نهايتها العظمى فيرجع إلى تأثير الطبقة الثالثة تبعا لكبر P_4 ، ونظرا لأن قيم P_4 P_5 ونظرا الأن قيم P_5 ونظر المحاور النهائية للقيم تبقى ثابتة .



٣-٤-١مبدأ التوافق:

عندما نناقش نتائج منحنيات الجس الكهربائي نصطدم فوراً بحالة غريبة ، ذلك لأننا نحصل في بعض الأحيان على منحنيات متشابهة على الرغم من أنها مأخوذة فوق مقاطع جيوكهربائية مختلفة بل قد تنطبق على بعضها في بعض الأحيان شكل (١٣).

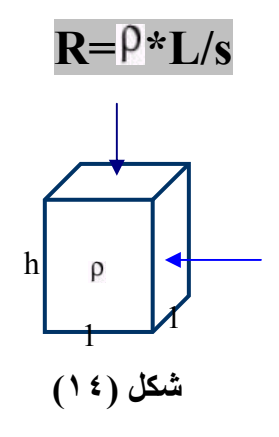


وندعو هذه الأشكال بالأشكال المتوافقة ، استناداً إلى مبدأ هام في الطرق الكهربائية هو مبدأ التوافق الذي يقول:

{ بأن منحنيات الجس الكهربائي التي نحصل عليها فوق مقاطع مختلفة لا يختلف الواحد منها عن الآخر إذا حافظت بعض النسب بين متحولاتها على قيمتها } .

ويمكن فهم هذا المبدأ إذا لاحظنا بأن التيار في حالة الانتقال من طبقة إلى أخرى يحاول السير في أحد اتجاهين وهذا الاتجاه هو اتجاه المقاومة الدنيا لا العليا.

إذا أخذنا متوازي المستطيلات طوله وعرضه مساو للوحدة (١) وارتفاعه h ومقاومته النوعية هي ρ شكل (١٤)،فإن التيار سيصطدم بمقاوميه هي



و هكذا فإنه في الحالة الأولى تؤثر على التيار المقاومة الطولية $R=1/\sigma$ وفي الحالة الثانية المقاومة العرضية، من هنا نلاحظ أن قيمة المقاومة الطولية أو العرضية إذا بقيت ثابتة فإن توزيع التيار سيكون واحداً بغض النظر عن القيم المكونة له .

$$T = const. = P$$
, * $h_1 = P$, * $h_2 =(25)$

$$1/\sigma = \text{const.} = \rho_1/h_1 = \rho_2/h_2$$
 (26)

أو بتعبير آخر أن مقلوب الناقلية ثابتة مثلاً $\sigma = \rho_1/h_1$ ، وهذا المبدأ صحيح في حالة كون الطبقة الثانية محدودة السماكة.

*ما هي النتائج التي تترتب على معرفتنا لوجود مقاومة عرضية وأخرى طولية وبالتالي على معرفة قانون التوافق؟

إن النتيجة الأساسية لهذا القانون هي تعدد الحلول بالنسبة للدراسات الكهربائية ولكي نصل الى حل وحيد أثناء دراسة المنحنيات التجريبية لابد من الرجوع المعطيات الجيولوجية المتوفرة من ناحية ،والى المعطيات الكهربائية المأخوذة على أطوال قصيرة للخط AB وعلى طبقات مختلفة وذلك للوصول إلى بعض القيم المطلوبة كقيمة المقاوميات في الطبقات المختلفة.

ومن ناحية أخرى فإن توفر مجموع هذه المعلومات عن المقاطع الجيوكهربائية تسمح برسم منحنيات نظرية للمقطع المدروس وتسمح بالمقارنة مع المعطيات التجريبية وبالتالي الوصول إلى القيم المطلوبة.

أما الدراسة العادية فتعتمد على مقارنة المنحنيات التجريبية بمنحنيات نظرية موجودة ضمن مجموعات مختلفة ،حيث توجد منحنيات منشورة لطبقتين وثلاث وأربع طبقات.

٤-٤- التفسير الكيفى:

يسمح تحليل المنحنيات الجيوكهربية إلى إظهار العديد من الملامح التي ترتبط شكل المنحنيات بالمقطع الجيوكهربي ويشكل هذا التحليل أساس التفسير الكيفي ويلجأ إلى هذا التفسير عند غياب أية معلومات عن سماكات ومقاوميات المقطع الجيوكهربي وتتميز المعلومات الماخوذة من التفسير الكمي بالتقريب نظراً لغياب الحسابات الدقيقة في الحصول عليها، وتساعد هذه النتائج في توضيح الصورة العامة للمقطع الجيوكهربي ، ومن هذا المنطلق يمكن أن نعتبر التفسير الكيفي مرحلة أولية على طريق التفسير الكمي .

تستعمل أثناء التفسير الكيفي المميزات التالية

- نمط المنحنى VES .
- انحراف المنحنى الحقلي عن النظري.
 - سماكة ومقاومية الطبقة العليا.
- إحداثيات النقاط الحدية، قيم المقاومية الظاهرية من اجل أطوال ثابتة لخطوط التغذية
 - زاوية ميل الفروع اليمني للمنحنيات ،T، o،

وتوضع عادة خرائط تلك البارامترات ومقاطع المقاومية الظاهرية ومنحنيات بعض المميزات على طول بروفيلات ذات اتجاهات مختلفة.

فعلى سبيل المثال توضع خارطة تساوي المقاومية النوعية الظاهرية من أجل أطوال خطوط تغذية ثابتة AB في كامل المنطقة الممسوحة وتسمى هذه الخارطة خارطة الايزوأوم تعبيراً عن أن منحنيات تسويتها تصل بين النقاط ذات المقاومية الظاهرية الواحدة ويتم اختبار AB تبعاً لنوعية الوسط الجيولوجي المدروس ولعمق الدراسة المطلوبة وبحال ظهور مؤشرات واضحة تشير إلى AB لعمق مستو معين فإن خارطة الايزوأوم تكون عبارة عن خارطة تركيبية تقريبية لهذا المستوى ،كما تعكس الشواذ المغلقة تضاريس العديد من التشكيلات الجيولوجية كذلك من الممكن أن تعكس تدرجات المقاومية وإزاحتها وانقطاعاتها التغيرات الحادة الجانبية في الوسط الجيولوجي وبعض الظواهر التكتونية.

٥-٤-١ التفسير الكمى:

يتطلب إجراء التفسير الكمي لمنحنيات السبر الجيوكهربي معرفة المقاومية الكهربائية النوعية لطبقات المقطع فإذا كان ينطبق مبدأ التوافق على هذا المقطع فإنه يجب معرفة P النوعية لطبقات المقطع فإذا كان ينطبق مبدأ P عند تفسير المنحنيات الرباعية ، وP ، P عند تفسير المنحنيات الثنائية فيمكن الثنائية فيمكن تفيسرها عند تفسير المنحنيات الخماسية وهكذا. أما المنحنيات الثنائية فيمكن الثنائية فيمكن تفيسرها مباشرة استنادا إلى المنحنيات النظرية الثنائية . ويتم تحديد تلك المقاوميات انطلاقا من معطيات الأبار أومن قياسات معايرة تجري عن آبار معروفة المقطع أو على منكشفات الطبقات المدروسة أو من إجراء قياسات مخبرية على عينات صخرية تمثل المقطع المدروس

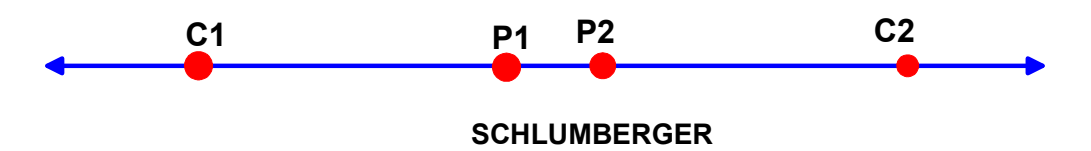
بعد ذلك نستخدم المنحنيات النظرية (Standard master carve) لطبقتين (٣٠منحنى) ولثلاثة طبقات (أكثر من ٥٠ منحنى)في تفسير نتائج الدراسات الجيوكهربية الحقلية ، ويتم التفسير الكمي بتطابق المنحنيات التجريبية الحقلية مع المنحنيات النظرية حيث ترسم كافة المنحنيات النظرية مع المنحنيات النظرية مع المنحنيات النظرية عيها بمقيايس لو غارتمية التجريبية الحقلية مع المنحنيات النظرية حيث ترسم كافة المنحنيات بنو عيها بمقيايس لو غارتمية ذات فرجة تعادل ٢٥٠ سم . وفي المقطع المؤلف من طبقتين نستطيع الحصول على الكمية $\rho_1 = \rho_2 / \rho_1$ من تطابق المنحنيين النظري والحقلي ،ونرى عندها أن الخط الأفقي $\rho_1 = \rho_2$ على المنحنيات النظرية يقطع محور الفواصل للمنحنى الحقلي ويعين قيمته بحيث (ρ_1 على المستقيم الشاقولي فسوف نعين منه المسافة ρ_1) وأما المستقيم الشاقولي فسوف نعين منه المسافة ρ_1

و هكذا فإن كل مجموعات المقاطع التي تتالف من طبقتين نعين الكميات التالية h_1 ، h_1 ، h_2 ، h_3 ، h_4 ، h_5 . h_6 . h_7 .

اما تفسير المنحنيات الممثلة لعدة طبقات فإنها أكثر تعقيدا ولكن أساسها هو مقارنة ومطابقة المنحنيات الحقلية مع النظرية أيضاً.

في الحالات البسيطة التي تضم طبقتين أو ثلاث طبقات فقط ،يمكن غالباً استخلاص صورة مرضية إلى حدما لتطبق بواسطة المنحنيات النموذجية النظرية المنشورة في مراجع عديدة.

ولفهم أسس عملية التحليل في طريقة شلمبرجر دعنا نرى الشكل (١٥) وهو شكل مبسط لحركة الأقطاب حيث أن C1,C2 تمثل أقطاب التيار بينما P1,P2 تمثل أقطاب الجهد (القياس) وهنا تتحرك أقطاب الجهد بين أقطاب التيار المتحركة إلى مواقع مختلفة ويصاحب ذلك تغير في قيمة الثابت الهندسي (K) في المعادلة (٢١) بالنسبة لتغير الأقطاب وبما أن جزء من التيار النافذ الى مستويات أعمق يزداد مع المسافة بين الأقطاب ،فإن الجس الكهربائي سوف يقوم مبدئياً بتجهيز معلومات حول تغير قابلية التوصيل الكهربائية (Electric Conductivity) مع العمق .



الشكل (٥١) ترتيب شلمبرجر

(Inverse problem of ER : ER الحالة العكسية في قياسات المقاومية الأرضية Meaturements)

عملية قياس انتشار التوصيل الكهربائي (٥) داخل الأرض عندما يكون الجهد السطحي الناتج من قطب التيار ، تعطي قيما (في الحيز المتجانس الخصائص (Isotropic Media) عن طريق أخذ صيغة التكامل للمعادلة:

$$\operatorname{div}(\sigma \nabla V) = 0 \qquad \dots (\Upsilon \vee)$$

ولقد بين كل من سليشتر (64) (Slishter 64) و لانكر (Langer 64) بانه إذا كان التوصيل (σ) دالة للعمق فقط فإن المعادلة أعلاه تمتلك حلا نموذجيا و عليه فإن المعادلة أعلاه تمتلك حلا نموذجيا و عليه فإن التوزيع التحت سطحي للتوصيل (σ) يمكن حسابه من معرفة الجهد السطحي الناتج من نقطة قطبية فردية ومن دون أية معلومات إضافية فيزيائية او جيولوجية ،ومن ناحية أخرى فبالنسبة للحالة العامة عندما لا تعتبر (σ) كدالة للعمق (σ) فقط فقد اثبت ستيفانس (Stevenson) أن المعادلة (σ) لا تمتلك حلا نموذجيا وإنما المسائلة يمكن إيجاد حلا لها بإضافة بعدا آخراً ، لذلك على سبيل المثال ، إذا قيس الجهد السطحي في كل مكان لجميع مواقع النقطة القطبية لمنحنى معين على السطح فإن توزيع (σ) يمكن أن يتحدد مبدئيا بطريقة واضحة

. لكنه من المهم أن تتباين (Contrast) المشكلة العكسية الحالية بالنسبة لاحتمالات حلولها النموذجية مع تأثير المغنطة العكسي ومشاكل الجاذبية التي في الأساس لا يوجد حل لها .

وعلى كل حال من الجدير بالإشارة هنا أن تعيين قيمة (σ) يحل المشكلة الكهربائية لكن ليس بالضرورة المشاكل الجيولوجية منها والسبب هو أن أنواع الصخور المعطاة وكذلك التكوينات الجيولوجية لا تشترك بقيم المقاومية الكهربائية المحددة عدا في الحالات الواسعة والعامة. الأرض الطبقية (Lavered Earth)

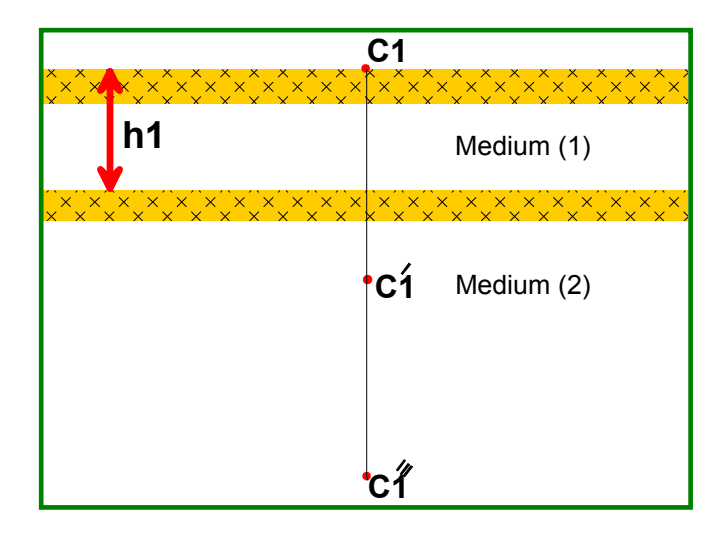
تعتبر نظرية ستيفانس ذات أهمية كبيرة من الناحية النظرية، أما في الواقع العملي فيجب الالتجاء كقاعدة عامة إلى تقنيات الخطأ والصواب (Trial and Error Technique) التي يحسب منها الجهد السطحي الناتج من مصدر التيار لقيمة مفروضة وذلك للقيام بتوزيع التوصيل الكهربائي ومن ثم تقارن مع القياسات.

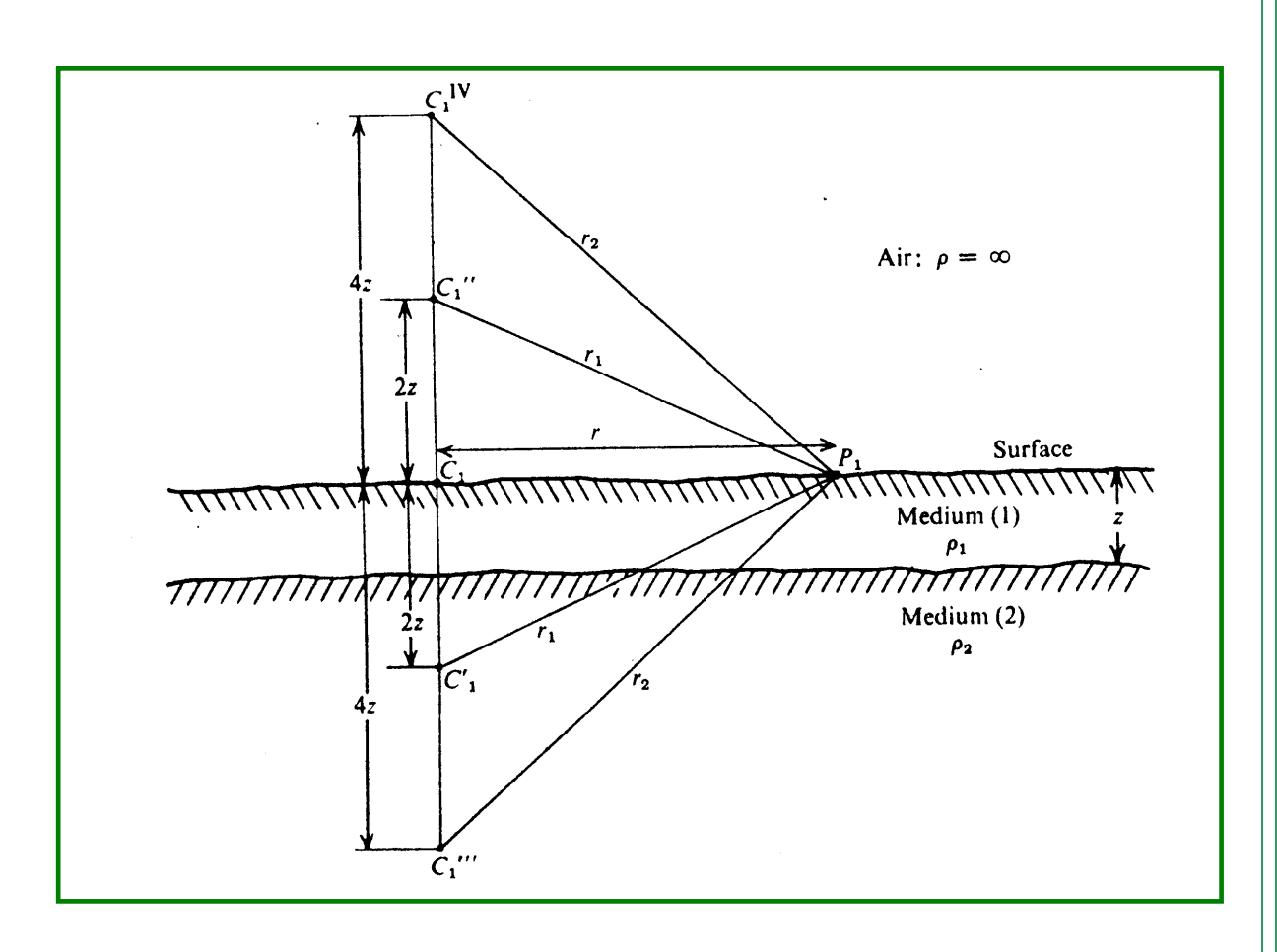
إن احد أنواع التوصيل الذي من شانه أن يعطي وصفا مناسبا لعدة حالات جيولوجية هو ذلك يتمثل بأرض تتألف من عدة طبقات أفقية.

وهذا النموذج مهم على الأخص في استكشافات المياه الجوفية بواسطة المقاومية النوعية الأرضية.

فني ابسط الحالات يتوفر لدينا طبقة أفقية ذات سمك (h_1) ومقاوميه نوعية (p_1) تعلو حيزاً وفني ابسط الحالات يتوفر لدينا طبقة أفقية ذات سمك (p_1) الذي يمر من خلاله آخر متجانس ذو مقاومة نوعية (p_1) (شكل (p_2)) الذي يمر من خلاله التيار (p_3) إلى هذه الأرض ، قد حسب لأول مرة هاميل (p_3) (Hammel (p_4)) وذلك باستخدام وذلك باستخدام طريقة الصور الكهربائية (Electric Images) حيث يحسب الجهد بواسطة جمع كل من:

- () جهد القطب الكهربي (C1) في الوسط شبه متناهي (Semi-Infinite Medium) ذات المقاومة (p).
- 7) إجهادات مصادر التيار الوهمية $^{\prime}$ $^{$





شكل (١٦) نتائج الصور الكهربائية لطبقتين أفقيتين

يتعرض الجهد لتناقص والاضمحلال نتيجة انتقاله بين أوساط مختلفة نتيجة لتباين معاملات الانعكاس بالنسبة لهذه الأوساط وعليه يكون الجهد بالنسب للصورة اسفل السطح شكل (١٦) كما يلي:

$$V' = \frac{I\rho_1}{2\pi} \left(\frac{1}{r} + \frac{k}{r_1} \right). \tag{YA}$$

ويكون تأثير الصورة الثانية عند 2z أعلى السطح:

$$V'' = \frac{I\rho_1}{2\pi} \left(\frac{k \times k_a}{r_1} \right), \qquad (\Upsilon^{\mathfrak{q}})$$

حيث أن قيمة k بين -1+1+1 تعني معامل الإنعكاسية في الفراغ =1 (في حالة الطبقات الفاصلة تكون أقل من الواحد.

ويكون التأثير على السطح الفاصل هو ناتج جمع المعادلتين(٢٨) ، (٢٩) كما يلي :

$$V' + V'' = \frac{I\rho_1}{2\pi} \left(\frac{1}{r} + \frac{2k}{r_1} \right). \tag{$\Upsilon \cdot$}$$

بينما يكون تأثير الصورة الثالثة عند 2٤ أسفل السطح والذي سيتناقص بفعل تكون الصورة الرابعة بمقدار 2٤ أعلى السطح هو:

$$V^{\prime\prime\prime} + V^{\text{IV}} = \frac{I\rho_1}{2\pi} \left(\frac{k \times k}{r_2} + \frac{k \times k \times k_a}{r_2} \right) = \frac{I\rho_1}{2\pi} \left(\frac{2k^2}{r_2} \right). \tag{71}$$

ويكون مجموع فروق الجهد الناتجة عند النقطة P_1 هو ناتج جمع المعادلتين ((0,0))، ((0,0)) على هيئة متسلسلة غير متناهية بالصورة الآتية:

$$V = \frac{I\rho_1}{2\pi} \left\{ \frac{1}{r} + \frac{2k}{r_1} + \frac{2k^2}{r_2} + \dots + \frac{2k^m}{r_m} + \dots \right\},$$

وبما أن :

$$r_1 = \sqrt{\{r^2 + (2z)^2\}}, r_2 = \sqrt{\{r^2 + (4z)^2\}}, \dots r_m = \sqrt{\{r^2 + (2mz)^2\}}.$$

و عليه يكون الجهد بالنسبة للنقطة السطحية P_1 كما في المعادلة (7) أدناه:

$$V = \frac{I\rho_1}{2\pi} \left[\frac{1}{r} + 2 \sum_{m=1}^{\infty} \frac{k^m}{\sqrt{\{r^2 + (2mz)^2\}}} \right] = \frac{I\rho_1}{2\pi r} \left[1 + 2 \sum_{m=1}^{\infty} \frac{k^m}{\sqrt{\{1 + (2mz/r)^2\}}} \right].$$

$$k = \frac{\rho_2 - \rho_1}{\rho_2 + \rho_1}$$
. وأن $C1P1 = r$

هذا ويمكن التعبير عن هذه المعادلة بصيغة مختصرة اكثر:

$$V(r) = \frac{I\rho}{2\pi} \frac{1}{r} \left[1 + 2r \int_0^\infty K(\lambda, k, h) J_0(\lambda r) d\lambda \right] \tag{70}$$

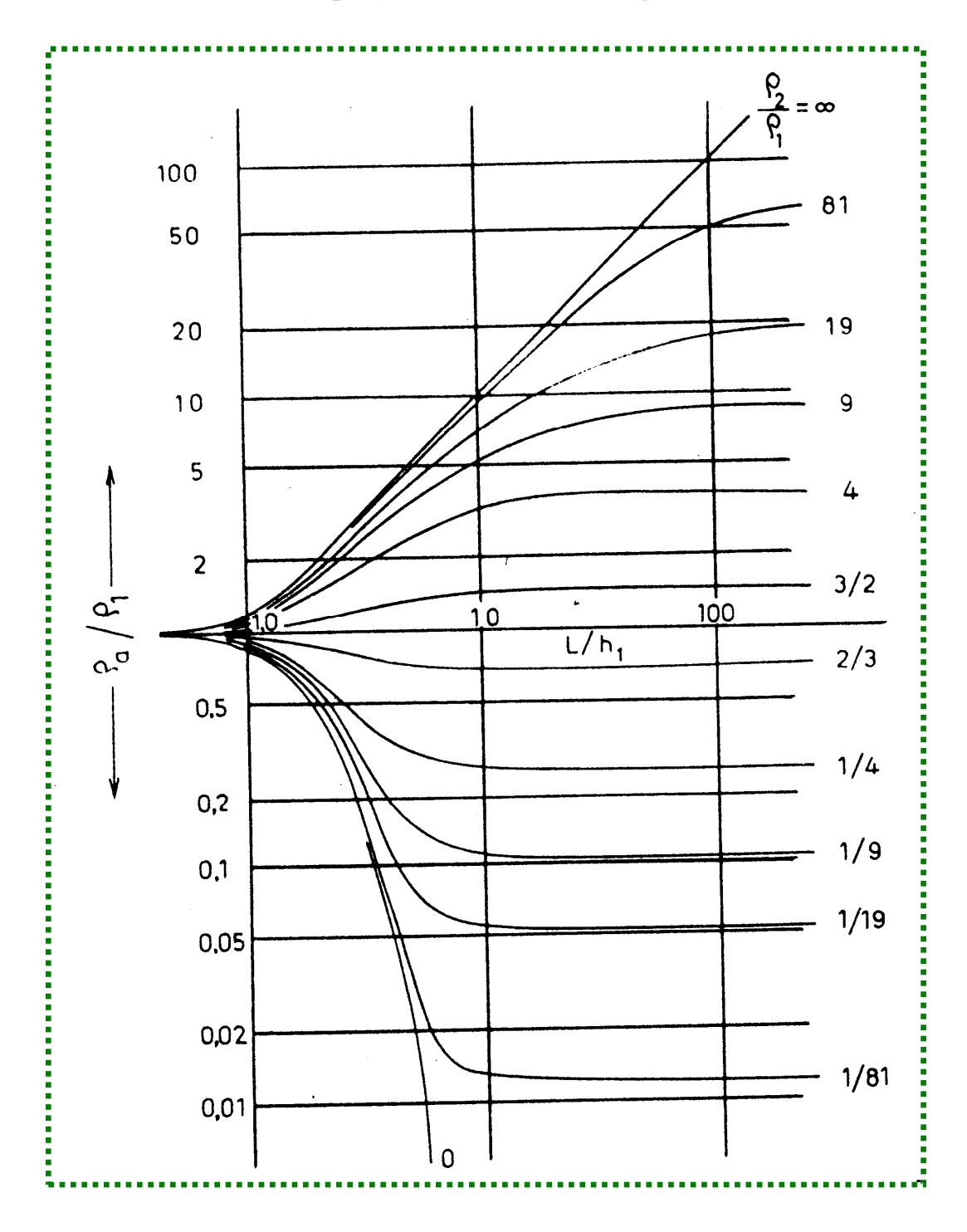
حیث :

$$K(\lambda) = k \exp(-2\lambda h)/[1 - k \exp(-2\lambda h)] \qquad \dots^{(r_1)}$$

وأن ١٥٥

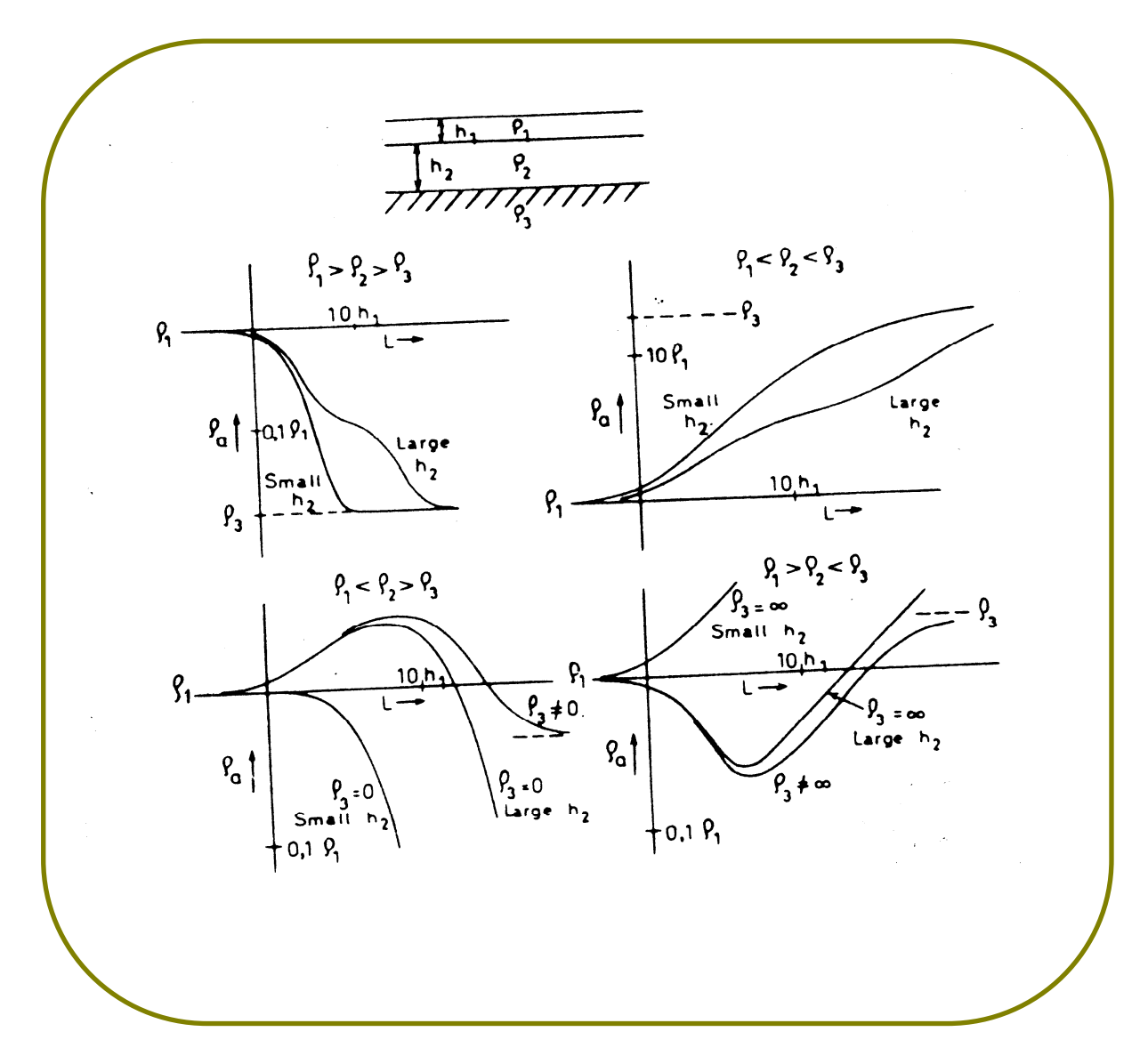
هي دالة بيسل (Bessel) من المرتبة صفر وكما وضحت من قبل سيتفانيسكو (Stefanescu) وشلمبرجر (Schlmmberger 68). وبالنظر إلى الشكل (۱۷) والذي يمثل منحني لو غاريتمي مزدوج مرسوم بين النسبة $(\mathbf{P_a/P_1})$ وكدالة للمقدار $(\mathbf{Ah_1})$ بالنسبة للقيم من الصفر (طبقات تحت سطحية موصلة تماما) إلى ما لانهاية (طبقات تحت

سطحية عازلة تماما) ويمكن الملاحظة أن(p1)تقترب من(p3)عندما تكون المسافة بين أقطاب التيار صغيرة بالنسبة مقارنة مع سمك الطبقة العليا وتساوي p3 عندما تكون المسافة كبيرة.



شكل (١٧)يبين المنحنيات القياسية النموذجية للمقاومة النوعية الظاهرة حسب طريقة شلمبرجر بالنسبة لطبقتين أرضيتين

إن الانتقال من (p_7) إلى (p_7) هو انتقال تدريجي ولا توجد أية قاعدة عامة بسيطة حول الخصائص المحددة للمنحنى (مثال ذلك الانحدار) وبإضافة طبقة ثالثة (h_2,p_2) محصورة بين الخصائص المحددة للمنحنى (h_1,p_1) والطبقة السفلى (p_3) ، فإن المشكلة تصبح أكثر تعقيدا . إن منحنى المقاومية النوعية الظاهرية قد يأخذ أربعة إشكال رئيسية معروفة بما يلي (p_3) أو (p_3) هاميل النازل (Descending Hummel) و (p_3) الصاعد أو (p_3) أو (p_3) ،الإزاحة غير المتجانسة (Descending Anisotropic) ومن ثم (p_3) وتعتمد هذه الأشكال على القيم النسبية للمقاومات (p_3) شكل (p_3) شكل (p_3)



شكل (۱۸) يوضح أنواع المنحنيات Q أو (DH) نوع K,A أو (DH) ونوع (H) في طريقة الجس الكهربائية الراسية (VES)

وعلى أية حال فأن المقاومية الظاهرية (p_a) تقترب من (p_1) بالنسبة للقيم الصغيرة للمسافة (AB/2) وتقترب من (p_3) بالنسبة لقيم المسافة الكبيرة، أما بالنسبة لقيم المسافة المتوسطة (AB/2) فإنها تتأثر بالمقاومية النوعية للطبقة الوسطى . كما أن المنحنيات القياسية النموذجية كتلك المبينة في الشكل (p_3) لا يمكن أن تهيأ أو ترسم اعتيادياً بالنسبة لحالة الطبقات الثلاثية على شكل منحنى فردي . إن الأمثلة المبينة في الشكل (p_3) بالرغم من ذلك سوف لا تعطى فكرة عن نوع المنحنيات المتوقعة.

إن صيغة استعمال هذه المنحنيات كما هو موضح في الشكل (١٧) تعتبر بسيطة جداً على شرط أن تكون المعلومات مقبولة ومشيرة إلى عدد الطبقات التي أنشأت من أجلها المنحنيات الرئيسية.

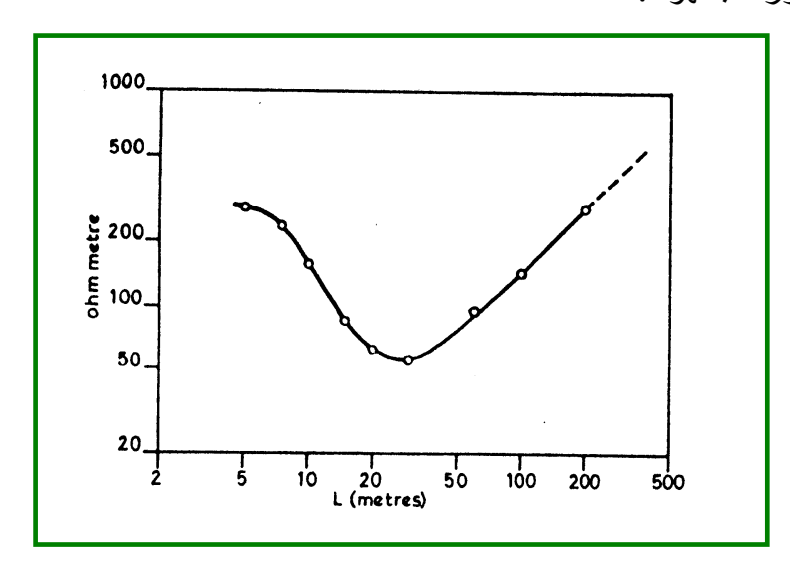
ثم ترسم المقاومية النوعية الظاهرية (p_a) المقاسة مقابل المسافة (AB/2) على ورق لو غاريتمي مزدوج شفاف وبنفس خواص ورق المنحنيات القياسية وبالحفاظ على المحاور المقصودة متوازية ، يزحف الورق الشفاف على أجزاء مختلفة من المنحنيات القياسية على التوالي إلى أن يتحقق تطابق واضح مع بعض المنحنيات (حتى إذا كان من الضروري تحريك احدهما) أن قيمة (AB/2) المحاذية للنقطة (p_a) على محور (p_a) لمنحنى التشابه القياسي تعطي قيمة للسمك تعادل (p_a) وقيمة للمقاومة النوعية الظاهرية (p_a) تحاذي النقطة (p_a).

يبن الشكل(19a) منحنى نموذجي حقلي لثلاثة طبقات حيث استحصلت النتائج لتمثيل بحيرة كبيرة ذات عمق منتظم يعادل (°) متر ،ثم أجريت الاستنتاجات بواسطة المقارنة مع المنحنيات القياسية للطبقات الثلاثة التي تعطي قيمة للسمك تعادل $(h_1=4m)$ ومقاومة $(p_1=340)$ أوم .متر أوم $(p_2=38)$ ذات المقاومة $(p_2=38)$ أوم .متر أما $(p_2=38)$ ذات المقاومة $(p_2=38)$

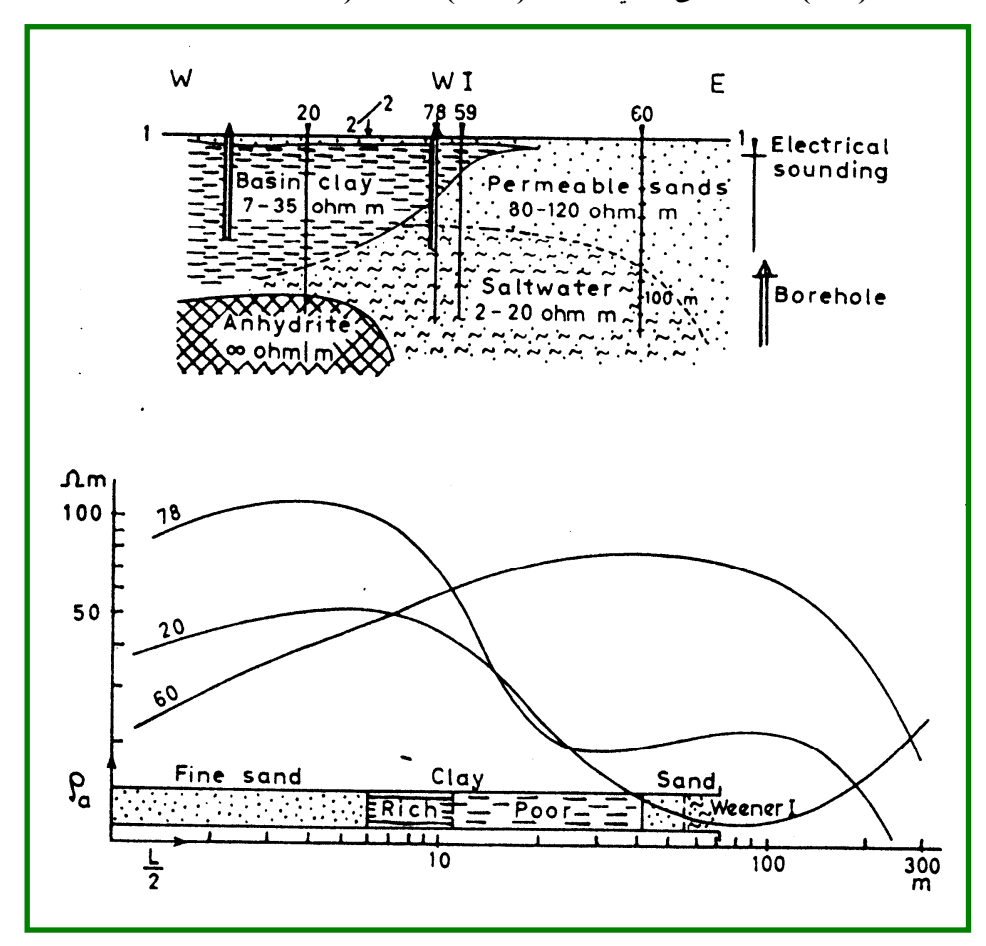
لقد وجد بان معدل المقاومية النوعية لنماذج من ماء البحيرة يعادل ٢٩٥ اوم متر عند قياسها في المختبر ،وقد برهنت عمليات الحفر المتعاقبة إن الطبقة الثانية تحتوي على (٢١.٣) متر سمك من ترسبات القعر الطينية الموجودة فوق قاعدة من صخور الجرانيت ،ويوجد تحت هذه الطبقة ،طبقة أخرى متبلورة رديئة التوصيل.

الشكل (19b) يبين مثال آخر لطريقة الجس العمودي الراسي مع ظهور المقطع الجيولوجي كذلك ،لقد كان الهدف من إجراء هذا التنقيب هو لتحديد موقع الرمال ذات النفاذة (permeable) كذلك ،لقد كان الهدف من إجراء هذا التنقيب هو لتحديد موقع الرمال ذات النفاذة (Sands) الحاوية على الماء العذب إن تفسير منحنيات الجس الكهربي ،التي من شانها أن تقود

إلى عكس الصورة الجيولوجية المبينة في الشكل ، لا تعتبر سهلة ، ولو انها بالتأكيد تمثل مقارنات نوعية يمكن فرزها بسهولة.



شكل (19a) يبين منحنى حقلى لطريقة (VES) مأخوذة (من شركة بوليدن- السويد



شكل (VES) منحنيات (VES) واستنتاجاتها

دالة مجموعة العناصر المتشابهة للمقاومية النوعية:

(The Kernel Function of Resistivity)

أن توزيع الجهد على سطح ارض متكونة أربعة طبقات أو أكثر غالباً ما تستدعي الحاجة إليه ويمكن تحديد ذلك بواسطة استخدام طريقة الصورة الكهربائية المطابقة ،لكن الحسابات العددية باستعمال الطرق التقليدية تعتبر غير دقيقة لقد طور العالم فلات (Flathe 72) طريقة مثلى ودقيقة لتعيين منحنى المقاومية النوعية الظاهرية بصورة سريعة لأي مجموعة من السماكات والمقاومات في ارض طبقية تمتاز بوجود طبقات تحت سطحية معزولة أو شديدة التوصيل ،وذات أعماق طبقية متناسبة مع بعضها ،ولكن على حساب الحدود المتداخلة ،وعدد الإضافات المتطورة للمنحنيات القياسية ،وكذلك على حساب التسهيلات المبرمجة والتطورات الاخرى وعليه فغن هذه الطريقة تعتبر ولحد كبير ذات أهمية تاريخية.

إذا كانت قيمة المقدار (σ) هي $(\sigma = 1/p)$ في المعادلة (ΥV) كمية ثابتة ، فاننا نحصل على معادلات لابلاس يكون فيها $\nabla^2 V = 0$ التي تنطيق على كل طبقة من الطبقات الأرضية.

يمكن إيجاد توزيع الجهد على السطح بواسطة نفس المعادلة كما في المعادلة ($^{\circ}$) حيث يتم ذلك باعتبار $_{\rm k}(\lambda)$ كدالة لجميع السماكات والمقاومات ،إن المقدار $_{\rm k}(\lambda)$ يعرف بدالة مجموعة العناصر ألمشابهه (Kernel Fanction of Resistivity) وان صيغتها الرياضية بالنسبة إلى طبقتين أرضيتين قد تم ذكره سابقاً أما بالنسبة إلى حالة الطبقات الثلاثة فان الدالة $_{\rm k}(\lambda)$ فيها تساوى :

$$K(\lambda) = [k_1 \exp(-2\lambda h_1) + k_2 \exp\{-2\lambda (h_1 + h_2)\}]/[1 - k_1 \exp(-2\lambda h_1) - k_2 \exp\{-2\lambda (h_1 + h_2)\} + k_1 k_2 \exp(-2\lambda h_2)].$$
(*\Lambda)

وبالنسبة لأرض طبقية مختارة فإن الدالة $k(\lambda)$ تحسب بواسطة نظام رياضي من المعادلات الآنية الخطية ناتجة من الظروف الحدية Boundary condition للمسألة التي نحن بصددها فبالنسبة لترتيب شلمبرجر بما أنه لدينا :-

$$\rho_a = \frac{\pi L^2}{2l} \frac{\Delta V}{I} = \frac{\pi L^2}{I} \frac{dV}{dr} \qquad$$

$$V(r) = \frac{I\rho}{2\pi} \frac{1}{r} \left[1 + 2r \int_0^\infty K(\lambda, k, h) J_0(\lambda r) d\lambda \right] \qquad \dots$$

فإننا نحصل على القيمة التالية للمقاومة:

$$\rho_a = \rho_1 (1 + 2r^2 \int_0^\infty K(\lambda) J_1(\lambda r) \lambda d\lambda) \qquad \dots (79)$$

$$J_0'(x) = -J_1(x)$$
 علماً بان المقدار : علماً

حيث أن J_1 تمثل دالـة بيسل (Bessel Function) ذات الرتبـة الأولـى الآن وحسب تحويلات هانكل (Hankel's Transformation) في نظرية دالـة اذا ما توفر لدينا دالـة f(r) بحيث أن:

$$f(r) = \int_0^\infty K(\lambda) J_n(\lambda r) \lambda d\lambda \qquad \dots (i \cdot)$$

ثم

$$K(\lambda) = \int_0^\infty f(r) J_n(\lambda r) r dr \qquad \dots (4)$$

وبتطبق التحويلات الى المعادلة (٤٠) نحصل على ما يلي

$$K(\lambda) = \int_0^\infty (1/2)\rho_1^{-1} (\rho_a - \rho_1)r^{-1} J_1(\lambda r) dr \qquad(17)$$

ان اول من قام بدراسة هذه المعادلات هو كنك (King 63) حيث بين ان الدالة يمكن حسابها وبغير غموض بواسطة قياس منحني قياس المقاومة الظاهرية (p_a) (حسب تعبير شلمبرجر) باستعمال التكامل العددي والمفاهيم الضمنية التي تحتوي على كل المعلومات حول الأرض الطبقية و تلعب هذه الطريقة دورا محورياً في النظريات الحديثة حول تفسير نتائج المقاومة النوعية المبينة في التحليلات الواردة في المعادلات في البند أدناه.

الاشتقاق المباشر لإبعاد الأرض الطبقية:(Direct –Derivation of The layered Earth parameters)

يعتبر التوصيل الكهربائي للأرض الطبقية كدالة للعمق فقط ،وذلك حسب نظرية سليختر - لأنكر (Slichter-Inger) وعليه فإن معرفة الجهد السطحي الناتج من النقطة القطبية يفترض إن تكون كافية لقياس سماكات ومقاومات الطبقات المختلفة . وهناك طريقتان للتفسير يعمل يهما حالياً تعتمدان على هذه الفكرة.

الطريقة الأولى:

يمكن إرجاعها الى نظرية هاميل (67 Hummel (67)) ولو ان هذه النظرية قد نقحت مرارا وحسنت من قبل عاملين في حقل الإختصاص لنأخذ حالة الثلاث الطبقات (p_1,p_2,p_3) . للشكل $(1 \land 1)$ مع $(h_2 > h_1)$ حيث يبدو واضحا بأنه طالما المسافة بين قطب التيار لاتزيد عن قيمة معينة ،فإن منحنى المقاومية الظاهرية سوف لايختلف كثيرا عن حالة الطبقتين وبنفس النسبة معينة ،فإن منحنى المقاومية الثلاث طبقات التي نحن بصددها . أما بالنسبة للمسافات القطبية الكبيرة ، فأن الطبقة الثالثة ، أي الصبقة التحتية المتناهية (p_3) سوف توثر على القياسات . وعليه فقد أوضح هاميل بانه بالنسبة للمسافات المتباعدة فان منحنى المقاومية الظاهرية الناتج يكون هو نفسه تقريباً كما في حالة الطبقتين وبنفس الطبقات التحتية عدا وجود طبقة عليا ذات سمك ($\overline{h} = h_1 + h_2$) وتمثل المقاومية النوعية بالمقدار :

$$\overline{h/\rho} = h_1/\rho + h_2/\rho_2 \qquad \dots$$

هذا وسوف نلاحظ ان المقدار $\overline{\rho}$ قد اشتق بواسطة استعمال قانون كيرشوف بالنسبة للمقاومات المتوازية (Kirchhoff's Law) .

لذلك فبواسطة مطابقة الجزء الأول لمنحنى المقاومية مع منحنى مناسب آخر كما في الشكل (p_a) ، نحصل على المقاومة النوعية (p_2) وكذلك $(p_1)(h_1)$ تقاس من نضيرتها (p_3) بالنسبة لمسافات بين الأقطاب صغيرة جداً ، وبنفس الطريقة ،يمكن مطابقة الجزء المتكون مع

المسافات الكبيرة للاقطاب ، لنحصل على النسبة $\overline{\rho}$ و وكذلك \overline{h} بمساعدة الشكل (١٧) . و عليه يمكن تقييم كل من (p₂) و (p₃) بصورة منفصلة . كما يمكن تبسيط الطريقة اعلاه باستعمال شكلا بيانياً (1+(h₂/h₁)) على طول المحور (x) والمقدار $\overline{\rho}$ يرسم على محور (y) ، زكلاهما بمقياس لو غارتمي ، ولهذا السبب قد عرف بطريقة المنحنى الاضافي (او طريقة النقطة الاضافية) ومن الممكن شمول هذه الطريقة لاي عدد من الطبقات ذات سماكات النقطة الاضافية) ومن الممكن شمول هذه الطريقة تكون نافذة الصلاحية فقط عندما تكون (h₁,h₂,h₃) الا انه يمكن جعلها نافذة الاستعمال في حالات مختلفة بواسطة رسم اشكالاً خاصة إضافية .

الطريقة الثانية:

و هى الطريق المباشرة للإستنتاجات ويطلق عليها طريق بيكرس (pekeris 76) وقد اعتمدت على تحليلات سليختر ،وسوف نشير فقط الى لطريقة التطبيقية اما المباينة النظرية فيمكن ايجادها في مقالة الباحث بيكيرز الاصلية.

حيث من السهل قياس الجهد السطحي V(r) لنقطة احادية قطبية بواسطة ازاحة قطب التيار الأخر الى مسافة كبيرة ثم نحسب الدالة

$$k(\lambda) = \lambda \int_0^\infty V(r) J_0(\lambda r) r \, dr \qquad \qquad \dots$$

وبواسطة التكامل العددي أو الميكانيكي ورسم القيمة $|f_1(\lambda)|$ مقابل $|f_1(\lambda)|$

$$f_1(\lambda) = \frac{k(\lambda) + 1}{k(\lambda) - 1} \qquad \dots (40)$$

وعندما (λ) تكون ذات قيم كبيرة فان النقاط سوف تقع على خط مستقيم بانحدار يعادل (λ) و نقطة تعادل $\ln(1/k_1)$ مع المحور (λ) حيث:

$$k_1 = (\rho_2 - \rho_1)/(\rho_2 + \rho_1)$$
(⁽¹⁷⁾

إما إذا وقعت جميع النقاط على خط مستقيم فان $h_2=\infty$ (حالة الطبقتين) ومن ناحية أخرى ومن ناحية أخرى فعند تعيين قيمة كل من k_1,h_1 نستطيع الاستمرار . إذن لحساب دالة مشابهه تماما هي $f_2(\lambda)$

لوغاريتمها نحصل بالتالى على قيمة h_2 وكذلك على :

$$k_2 = (\rho_3 - \rho_2)/(\rho_3 + \rho_2)$$
(4)

وقد تستمر العملية لحساب دالة ثالثة f_3 إذا لم تقع جميع النقاط على خط مستقيم ، أي عندما وهكذا.

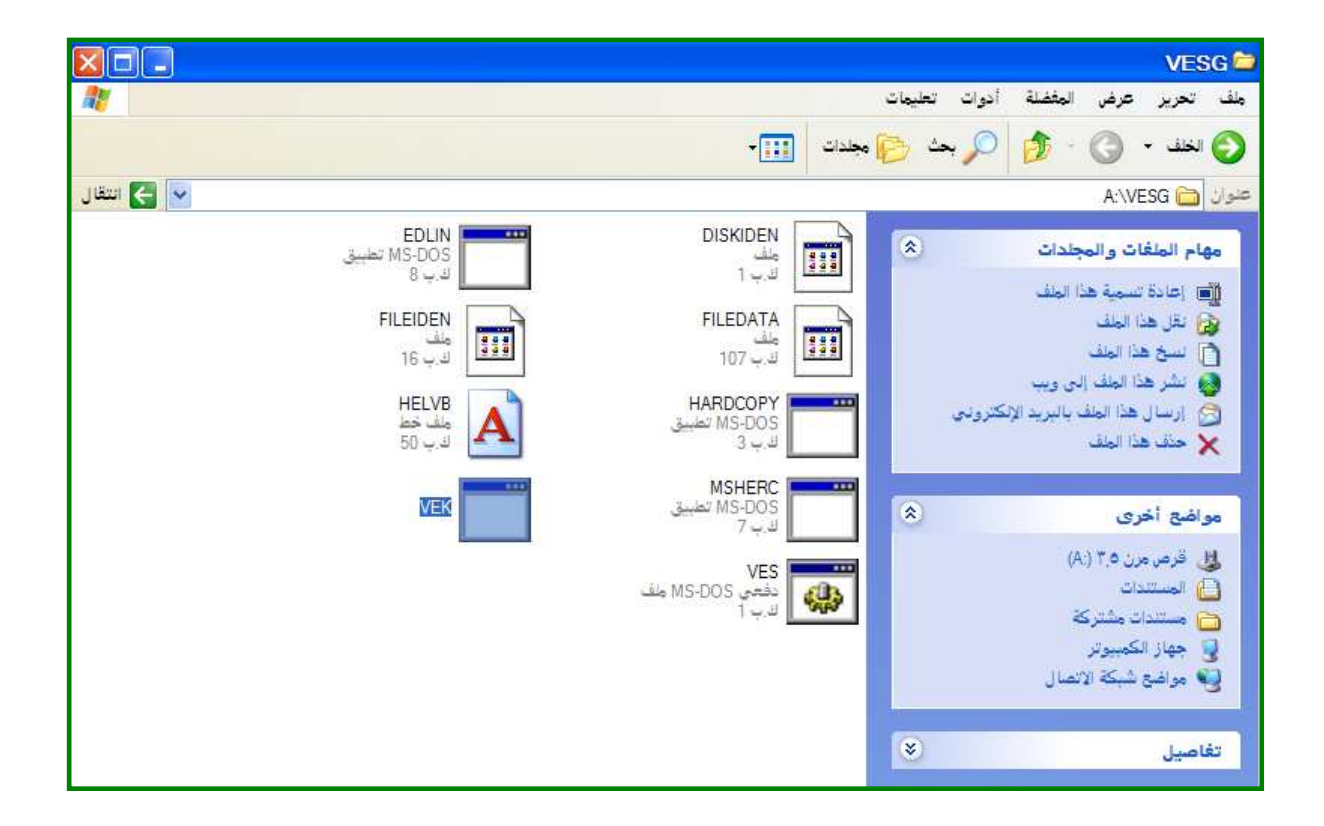
وهذه الطريقة لا تحتاج إلى ضوابط بالنسبة للقيم النسبية لكل من (h_1,h_2,h_3) وعليه فهي إذن طريقة عامة تماما . ولسؤ الحظ أنها تحتاج إلى حسابات كبيرة ،و على كل حال لقد طور الباحث كيوفويد (Keofoed) مؤخراً طريقة تطبيقية سريعة (5) حيث بدأ برسم (5) بدلالة منحنى كيوفويد ((5)) المقاس وباستعمال عدد قليل من المنحنيات القياسية بعدئذ تعرف وتطور الدالة كما يلي عن المعادلة (5):

$$G_n(\lambda) = K(\lambda)/\{1 + K(\lambda)\}$$
(£\lambda)

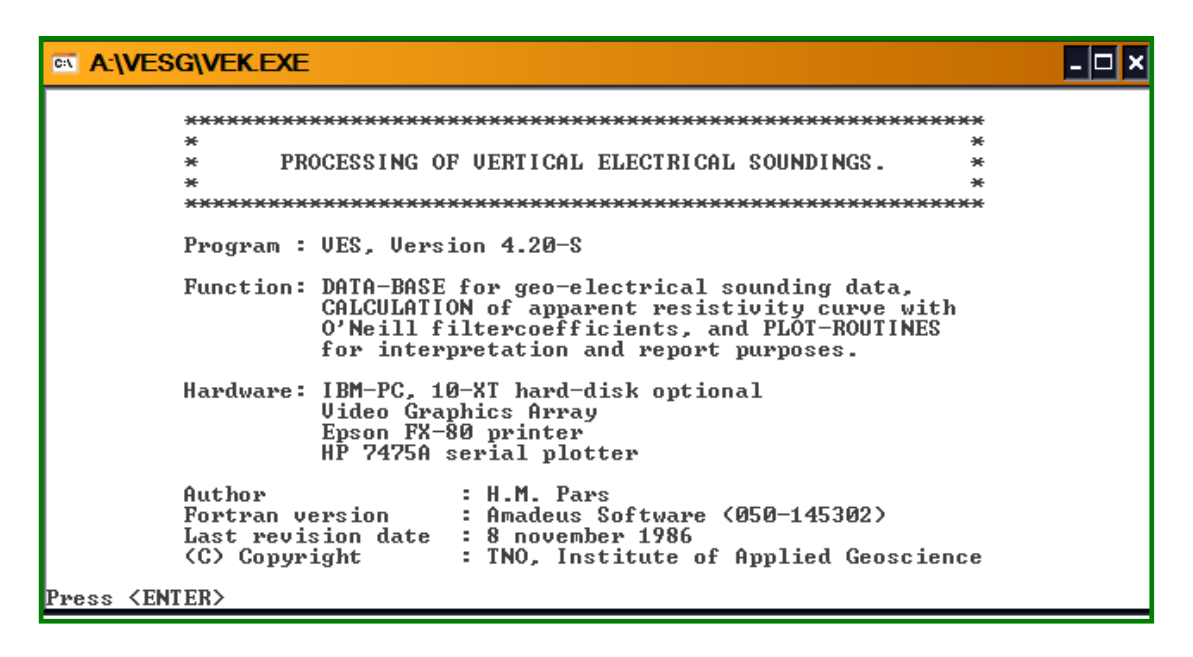
أدخلت المعادلات السابقة وخاصة مع تطور البرمجيات في برامج تطبيقية سريع حيث تمتلك هيئة المساحة الجيولوجية والثروات المعدنية احد هذه البرامج الخاصة بطريقة الجس العمودي لترتيب شلمبرجر وهو VES computer program version) وفيما يلي سنقوم بشرح مبسط 4.20s (developed by TNO, delft)) لخطوات استخدام هذا البرنامج وكيفية التعامل مع المعلومات الحقلية وخاصة في عملية التنقيب عن المياه الجوفية في بلادنا.

۷ES computer program استخدام مبسط لخطوات استخدام

a) في حالة تشغيل البرنامج من القرص المرن (A) نقوم بعملية نسخ البرنامج إلى القرص المرن (A) ومن ثم فتح المجلد المحتوي على ملفات البرنامج والتي تظهر بالشكل أدناه (٢٠) ولفتح البرنامج ننقر نقر مزدوج على الملف VEK حيث تفتح القائمة الرئيسية من البرنامج كما تظهر من الشكل (٢١) وهذه القائمة تظهر مواصفات البرنامج ويظهر في نهايتها الأمر <Press<ENTER).

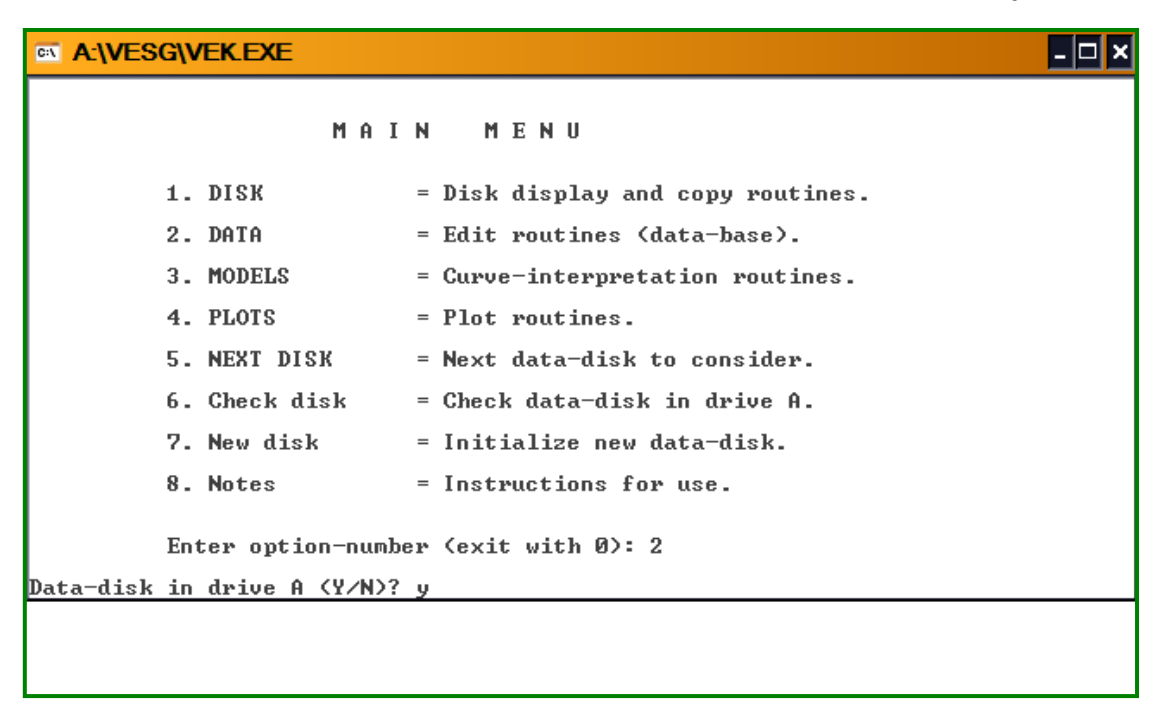


شكل (٢٠) الملفات المكونة لبرنامج (VES)



الشكل (٢١) قنمة توضح خصائص البرنامج

b) عند الضغط على الأمر Press<ENTER) في لوحة المفاتيح تفتح لدينا القائمة الرئيسية الآتية أدناه

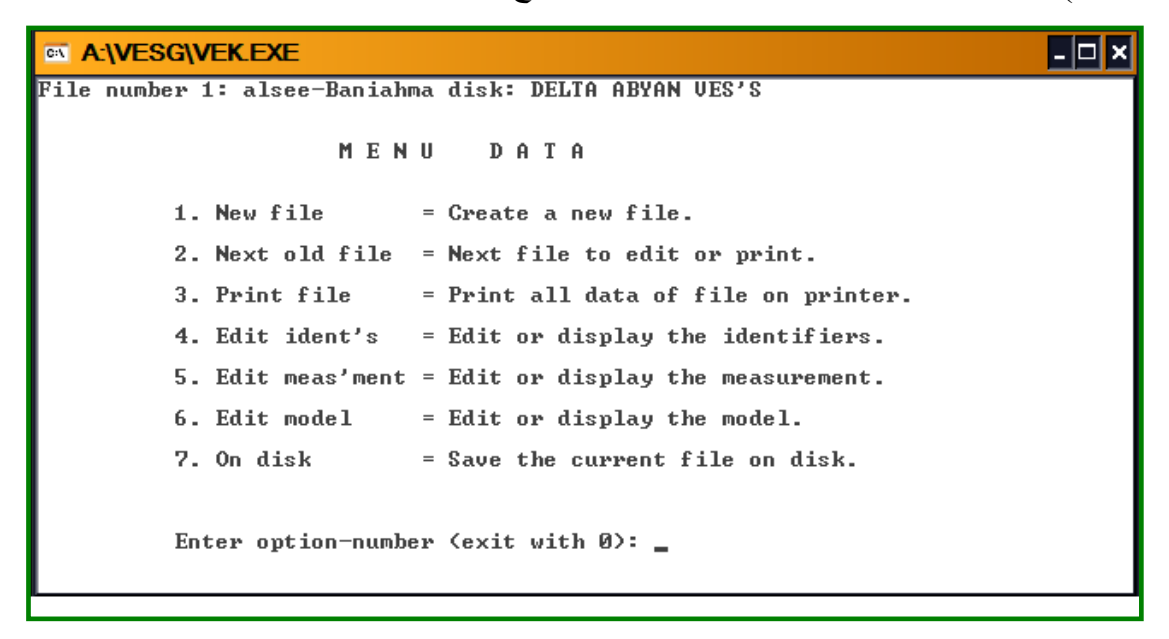


c ولإضافة بيانات حقاية جديدة يتم ذلك من الدخول على الخيار الثاني من القائمة الرئيسية أعلاه وذلك بكتابة رقم الخيار ٢ ثم الضغط على enter من لوحة المفاتيح يظهر لنا سؤال أسفل القائمة الرئيسية وهو <u>y ?

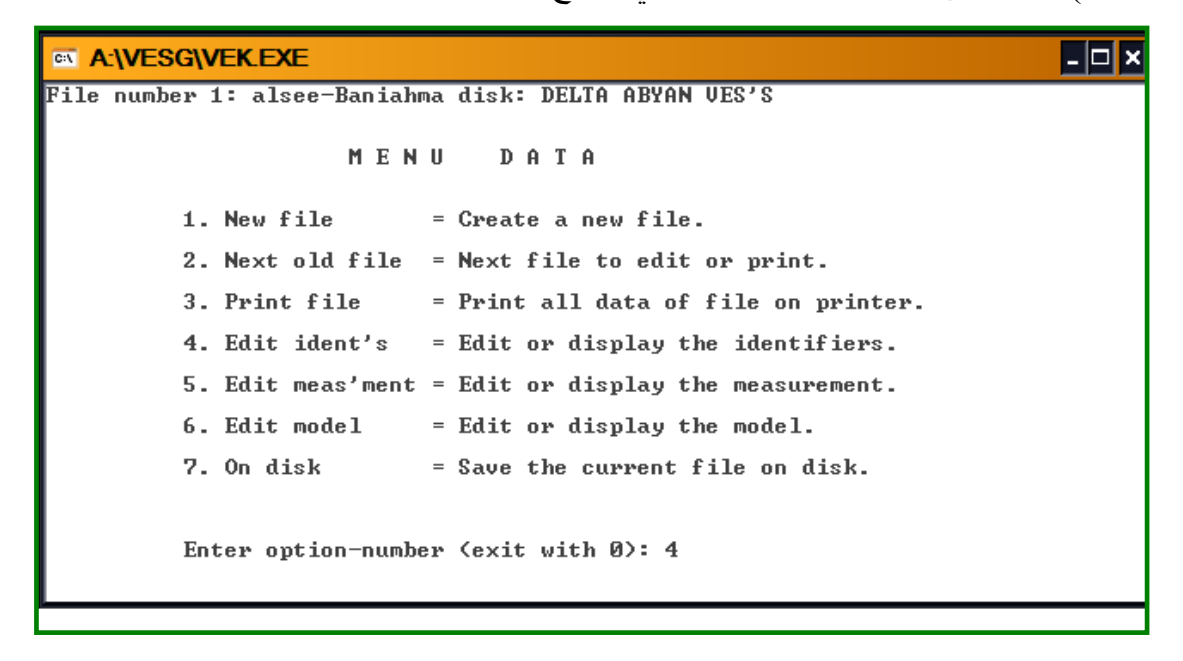
حيث نقوم باختيار y ثم الضغط على enter وفي هذه الحالة تظهر لنا قائمة تحمل الدسك الرئيسي و عدد الملفات التي يحتويها كما في الشكل ادناه .</u>

et A:\VESG\VEK.EXE	_ 🗆 🗴
*********************************	******
*	*
* Name of this disk: DELTA ABYAN VES'S	*
*	*
* Number of files : 150	*
*	*
**************************************	·×××××
ZENTED	
Press <enter> _</enter>	

d وبالضغط على الأمر enter من لوحة المفاتيح تظهر لنا قائمة البيانات enter) وبالضغط على



e) فنعود إلى قائمة Menu data التي تتضح أدناه



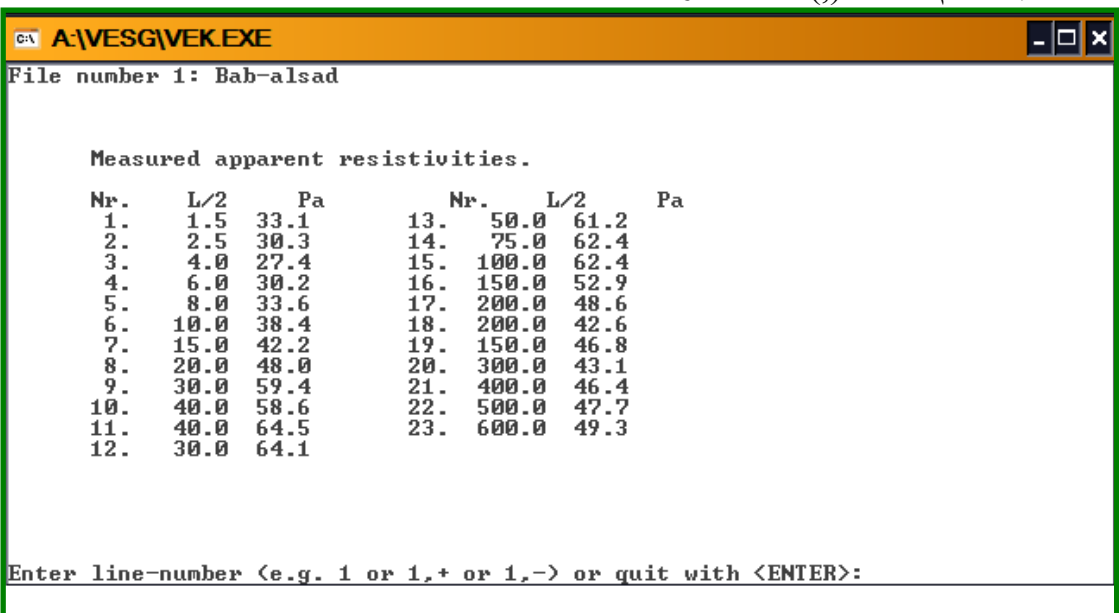
وهنا لإضافة بيانات الموقع التي تم جمعها في الحقل نختار الخيار رقم \circ من القائمة أعلاه وهو 5. Edit meas'ment = Edit or display the measurement.

وهنا يتم

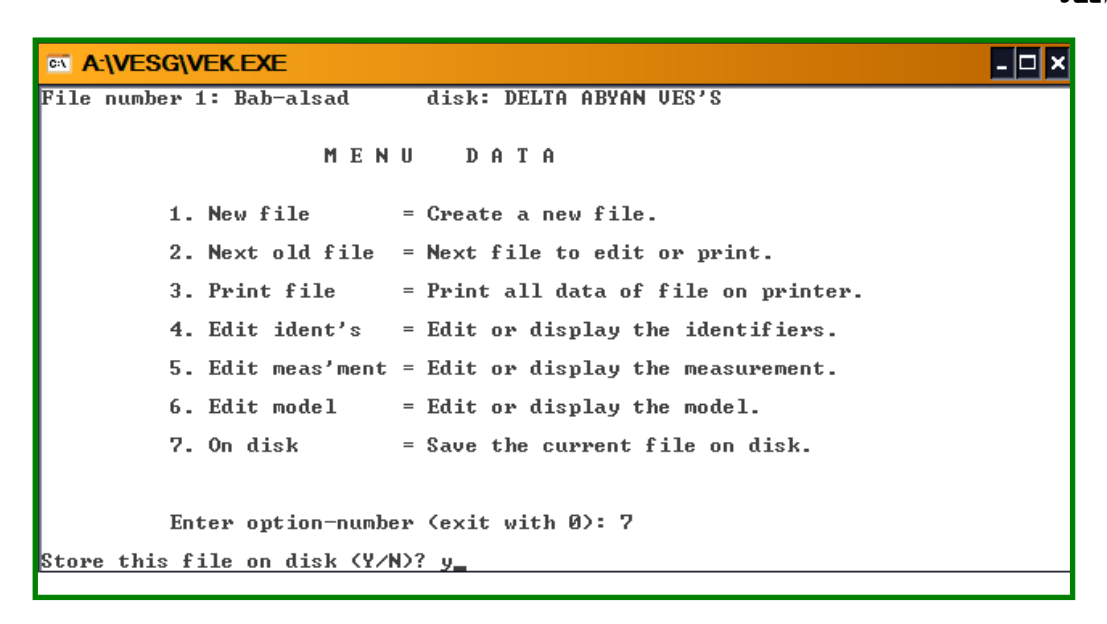
مسح أي بيانات سابقة بواسطة الخيار المحدد لرقم البيان مع كتابة فاصلة وإشارة السالب مثلاً - 1 ثم enter مع الاستمرار حتى يتم إلغاء أي بيانات سابقة موجودة ومن ثم ادخال البيانات الجديدة وفي حالة البرنامج الأصلى المنصب على كمبيوتر خاص يتم اختيار الأمر الأول وهو

1. New file = Create a new file.

ومن ثم إضافة البيانات الحقلية وذلك بكتابة قيمة (AB/2) مع قيم (p_a) المناظرة بحيث نفصل بينهما بإستخدام الفاصلة (p_a) كما يظهر ذلك من القائمة أدناه



وبع الانتهاء من كتابة كامل البيانات الحقلية نخرج منها بالضغط على enter حيث تظهر القائمة أدناه



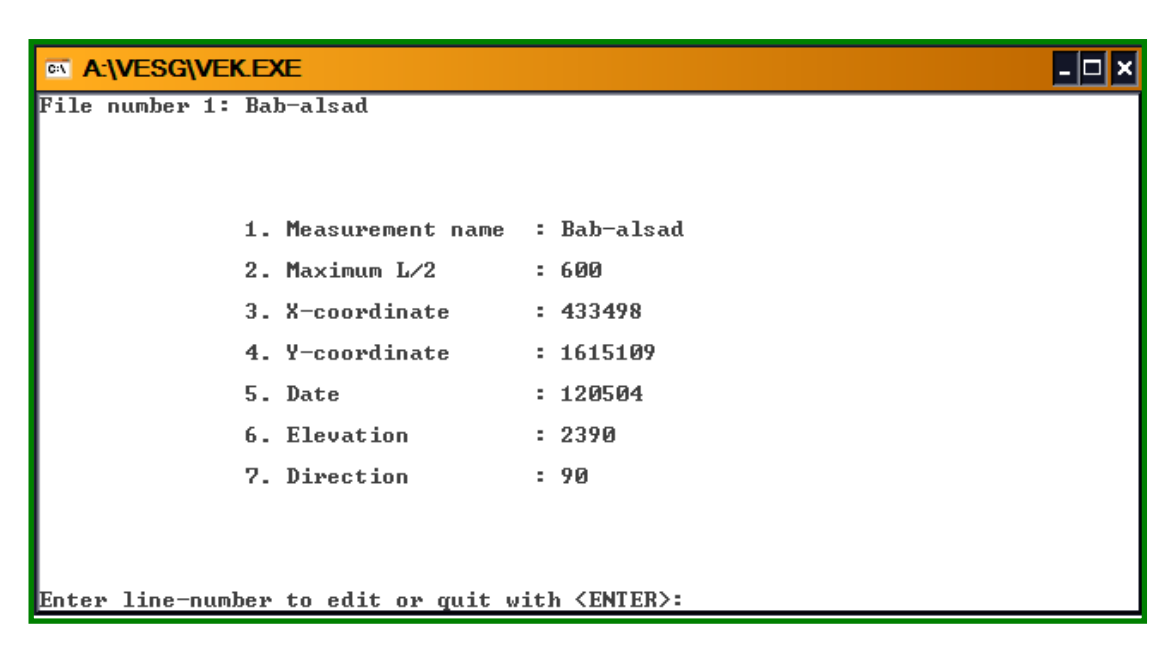
حيث نقوم بكتابة الرقم ٧ للقيام بحفظ البيانات المدخلة سابقا ويكرر هذا الأمر متى ما أردنا حفظ أي تغير ات مدخلة من الأمر:

7. On disk = Save the current file on disk. حيث يظهر لنا السؤال

Store this file on disk (Y/N)?

وحتى تتم عملية الحفظ نكتب الحرف y ثم enter كما يظهر من القائمة السابقة .

f لإضافة البيانات التعريفية للبيانات الحقلية الخاصة بالموقع يتم ذلك من كتابة الرقم ٤ لإضافة البيانات التعريفية للبيانات الحقلية الخاصة بالموقع يتم ذلك من كتابة الرقم ٤ لاختيار الخيار الرابع وهو كالمنان على المنان على المنان القائمة الآتية والتي يتم الدخول إليها عن طريق كتابة رقم كل بيان متبوعا بعد في المنان وحفظ المدخلات كما سبق اعلاه حيث تظهر القائمة Menu data

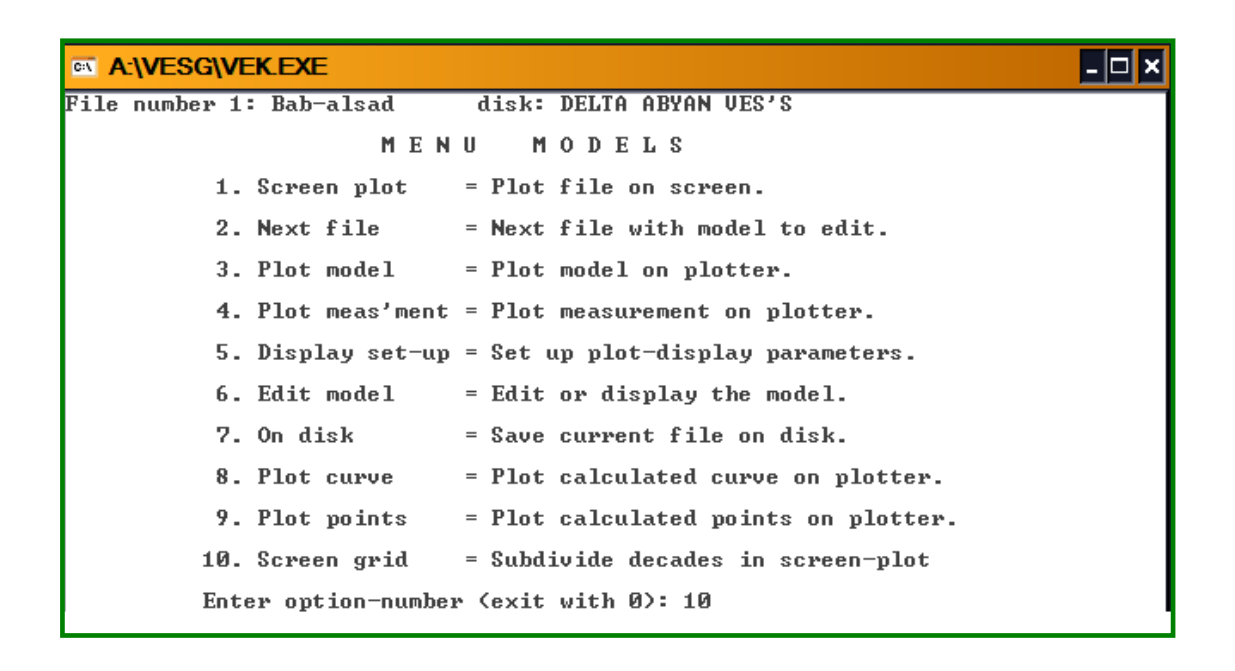


يتم الخروج من القائمة السابقة Menu data بكتابة الرقم • ثم enter حيث نعود الى القائمة الرئيسية Main Menu والتي نختار منها الخيار رقم ٣ وهو:

3. MODELS = Curve-interpretation routines. والذي عن طريقة يتم عرض شكل الكيرف الممثل للبيانات الحقلية عن طريق ظهور القائمة Menu Models وكتابة الرقم ١٠ لتمثيل شبكة القياسات على الرسم من الخيار:

10. Screen grid = Subdivide decades in screen-plot

```
A:\VESG\VEK.EXE
disk in memory: DELTA ABYAN VES'S
                     MAIN
                             MENU
         1. DISK
                           = Disk display and copy routines.
         2. DATA
                           = Edit routines (data-base).
         3. MODELS
                           = Curve-interpretation routines.
         4. PLOTS
                           = Plot routines.
         5. NEXT DISK
                          = Next data-disk to consider.
         6. Check disk
                         = Check data-disk in drive A.
         7. New disk
                           = Initialize new data-disk.
         8. Notes
                           = Instructions for use.
         Enter option-number (exit with 0):
```

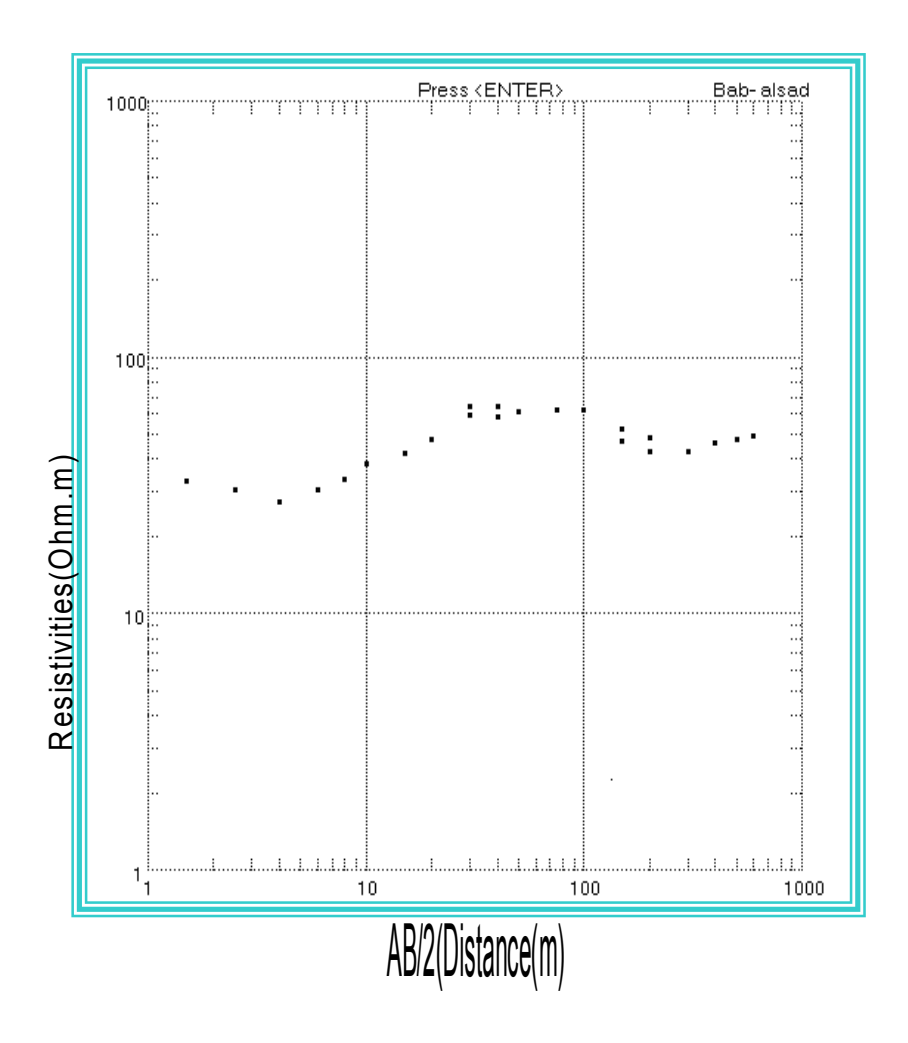


ثم نختار الخيار الأول من القائمة أعلاه و هو:

1. Screen plot = Plot file on screen.

لعرض الكيرف الحقلي كما يظهر أدناه و هو كيرف لم يتم تصحيح ال Shift فيه ولتصحيح ال Shift فيه

5. Display set-up = Set up plot-display parameters.



حيث يتم حساب قيمة ال Shift₂ من المعادلة الأتية :

Shift₂= [(Log46.6-log48.6)+(Log46.8-Log52.9)]*50 =-5.6

Shift₀=[(Log64.5-log58.6)+(Log64.1-Log59.4)]*50 = 3.74

Shift₁= Shift₂+ Shift₀

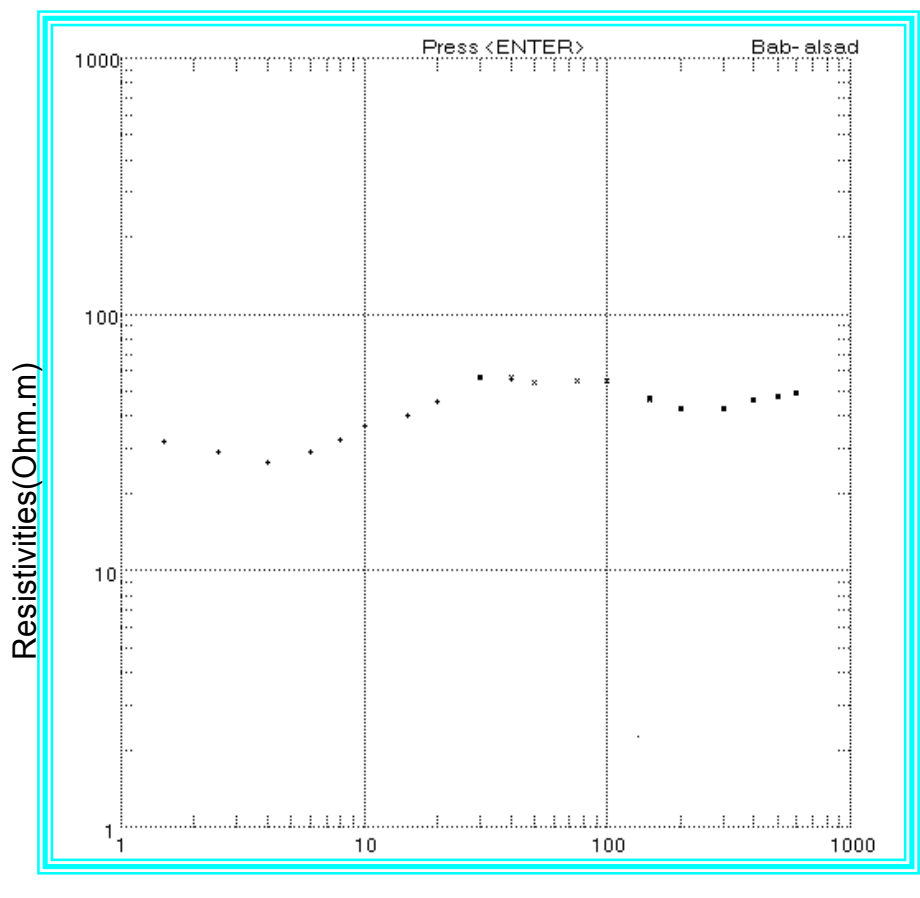
 $Shift_1=-1.86$ ثم بالدخول في الخيار الخامس والمشار في أعلاه تظهر لنا قائمة تصحيح ال Shift كما يلي وذلك بإدخال القيم التي حصلنا عليها من البيانات أعلاه :

```
_ 🗆 ×
A:\VESG\VEK.EXE
File number 1: Bab-alsad
          1. Xmin
          2. Xmax
                              1000.0
          3. Ymin
                                 1.0
          4. Ymax
                              1000.0
          5. Model number
          6. Shift 1: begin
               % of decade
         9. Shift 2: begin
                               17
        10.
        11.
               % of decade
                              -5.6
         Enter option-number (exit with 0): _
```

والعودة إلى القائمة Menu Models والخيار الأول وهو:

1. Screen plot = Plot file on screen.

يظهر لنا شكل الكيرف مصححاً كما يلي:

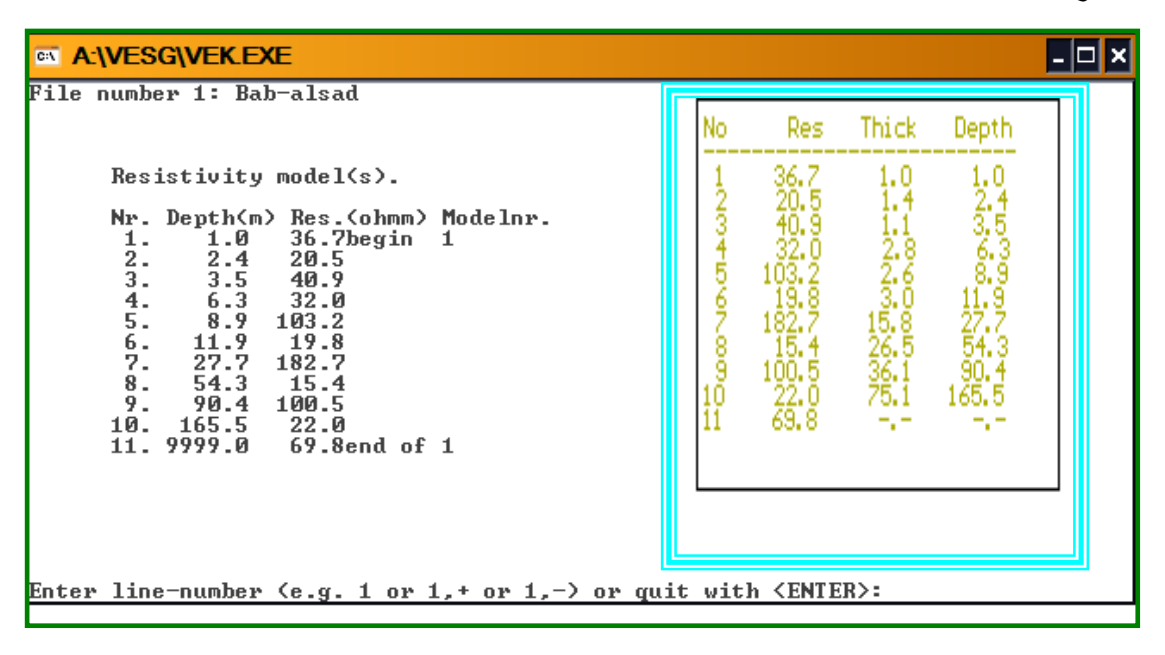


AB/2(Distance(m)

وأخيرا يتم اختيار الخيار السادس وهو:

6. Edit model = Edit or display the model.

للدخول في وضع الموديل الممثل للأعماق الحقيقية والمقاومات المصاحبة في موقع الدراسة والذي يتناسب مع جيولوجية المنطقة والذي قبل إن نتوصل إليه يتم وضع موديلات افتراضية يتم اختيار أفضلها ليمثل الموديل الحقيقي وهذا الموديل تم تعديل بعض الأعماق للتوافق مع نتائج الحفر.



و هذا الموديل أخذ كمثال تطبيقي للتنقيب عن المياه الجوفية في منطقة منقذة – مديرية عنس – محافظة ذمار

(تم حفر البئر الى عمق مقداره = ١٠٩ متر).

الطريقة المستخدمة: -المقاومة النوعية الكهربائية Electrical Resisitivity

خط النشر: - 1200 متر.

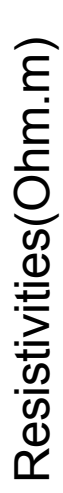
433498E/1615109 -: الإحداثيات

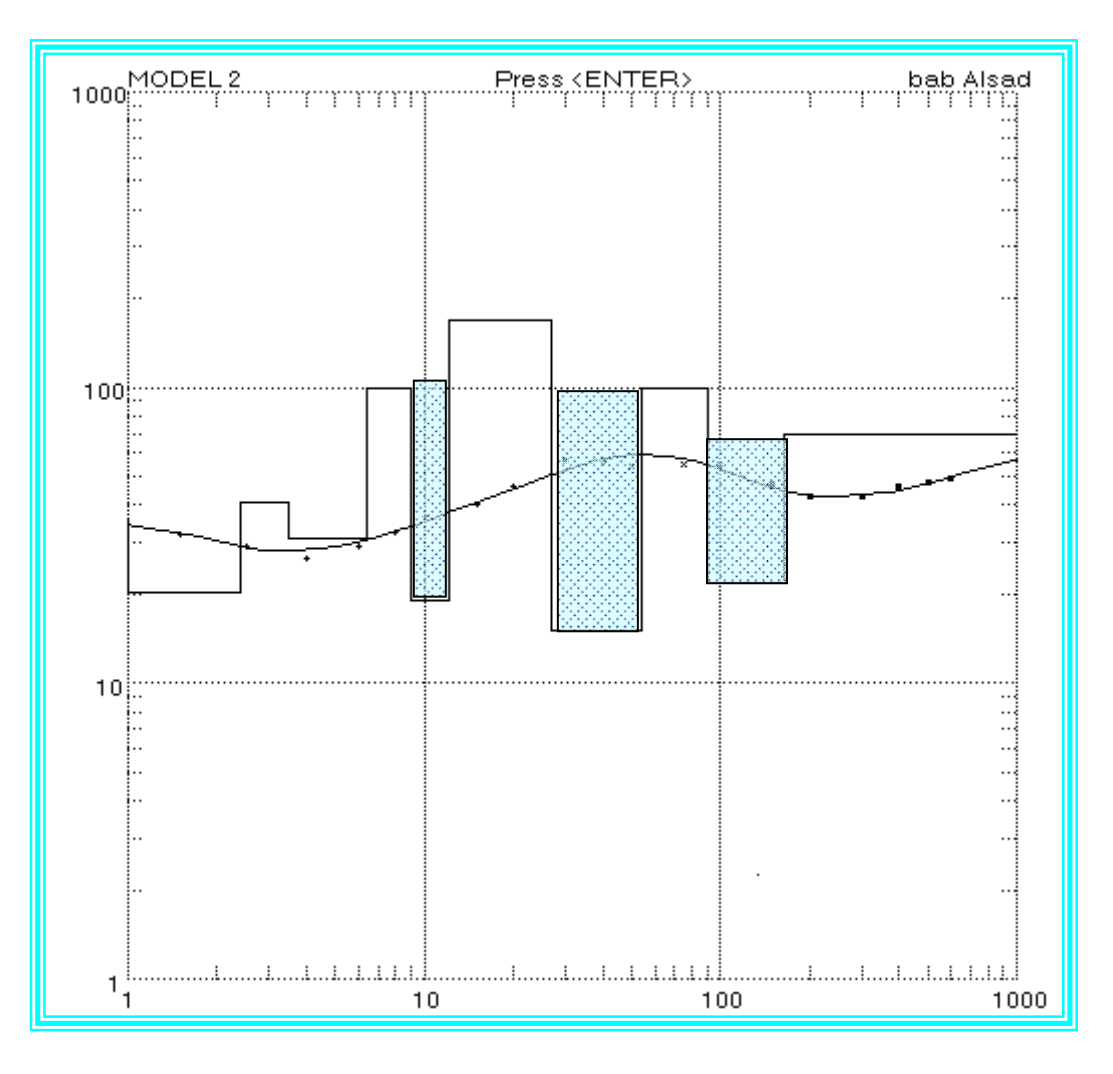
الارتفاع :- 2390 متر

والعودة إلى القائمة Menu Models والخيار الأول وهو:

1. Screen plot = Plot file on screen.

يظهر الموديل الحقيقي للمقاومة للتتابع الراسي للصخور في الموقع وتحديد النطاقات الحاملة للمياه كما يتضح من الشكل ادناه.





AB/2(Distance(m)

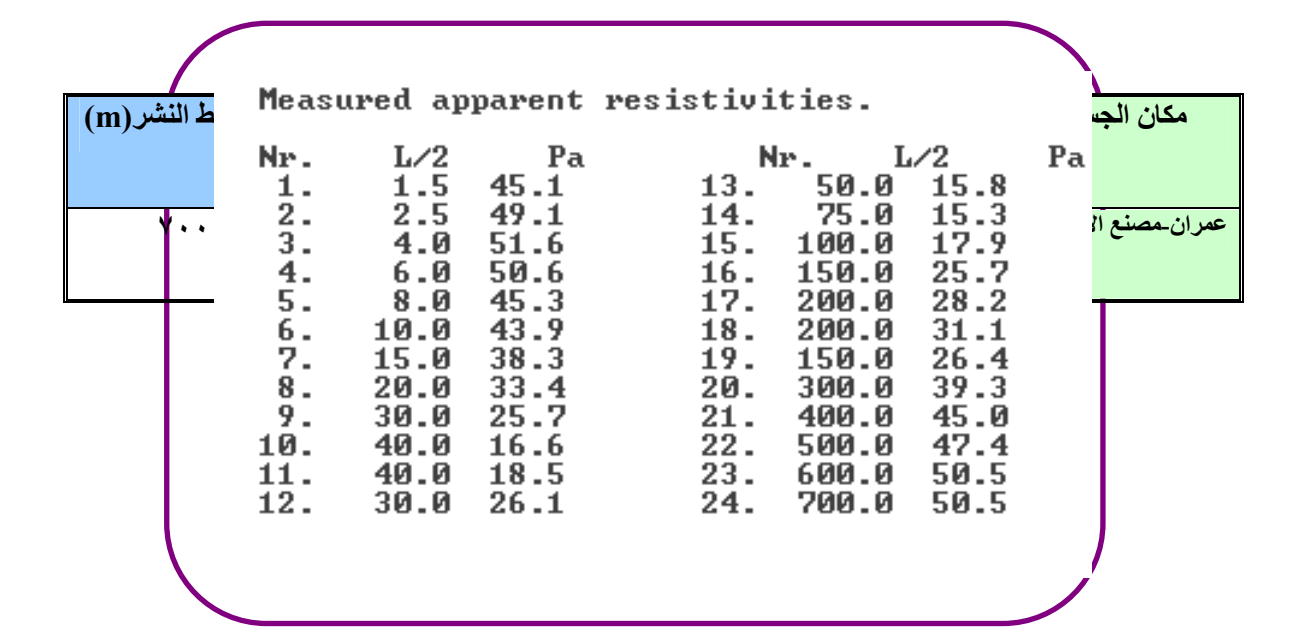
النطاق الحامل للمياه في الصخور النارية

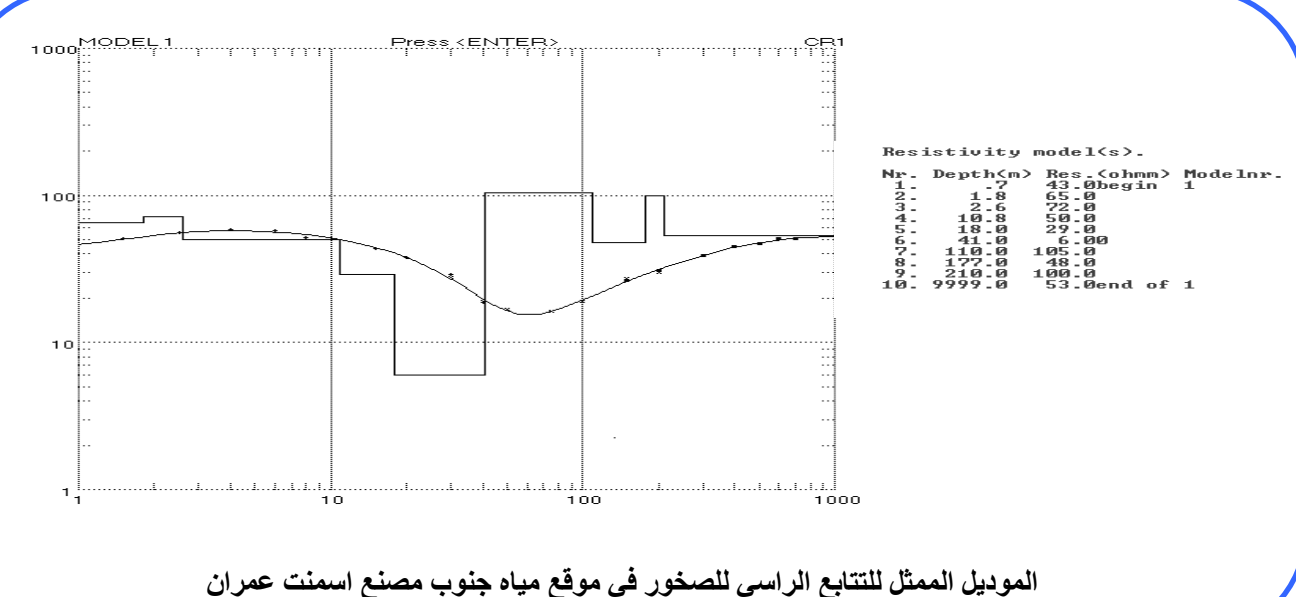
الموديل الحقيقي للمقاومة للتتابع الراسي للصخور في الموقع

٥- ابعض الأمثلة التطبيقية للتنقيب عن المياه في مناطق من اليمن على وحدات صخرية مختلفة (لمواقع أكدت نتائجها بعملية الحفر).

١) دراسة موقع مياه جنوب مصنع اسمنت عمران

البيانات الحقلية: -





لموديل الممثل للتنابع الراسي للصحور في موقع مياه جنوب مصنع اسمنت عمران

النتيجة

الخاصية الهيدرولوجية	التكوين الصخري	المقاومة	العمق (بالمتر)
----------------------	----------------	----------	----------------

		النوعية الحقيقية (m.Ω)	إلى	من
جافة ما عدا الجزء السفلي منها فهو شديد الرطوبة ويمكن أن يحتوي على تركيز بسيط للمياه السطحية في نهايته	نطاق من الرواسب الرباعية الحديثة حيث أن الجزء العلوي منه ولعمق ١ متر يمثل تربة زراعية بينما الجزء الثاني يمتد حتى العمق ١ ١ متر يظهر تواجد الحصى فيه أما بقية هذا النطاق فيتميز برطوبته العالية وزيادة تركيز الرواسب الغرينية ابتداء من العمق ١٨ متر وحتى نهايته.	VY_7	٤١	السطح
جافة	نطاق من الصخور الجيرية الصلبة	1.0	11.	٤١
حامل للمياه الجوفية	نطاق من الصخور الجيرية المتشققة	٤٨	177	11.
جافة	نطاق من الصخور الجيرية الصلبة	١	۲۱.	177
حامل للمياه الجوفية	نطاق من الصخور الجيرية المتشققة يمتد الى نهاية عمق الدراسة والذي لايقل عن ٢٦٠ متر	٥٣		۲۱.

٢) موقع جربة طهم - منطقة شيعان- مديرية سنحان

خط النشر : AB/2=700m

431156E/1679001N -: الإحداثيات

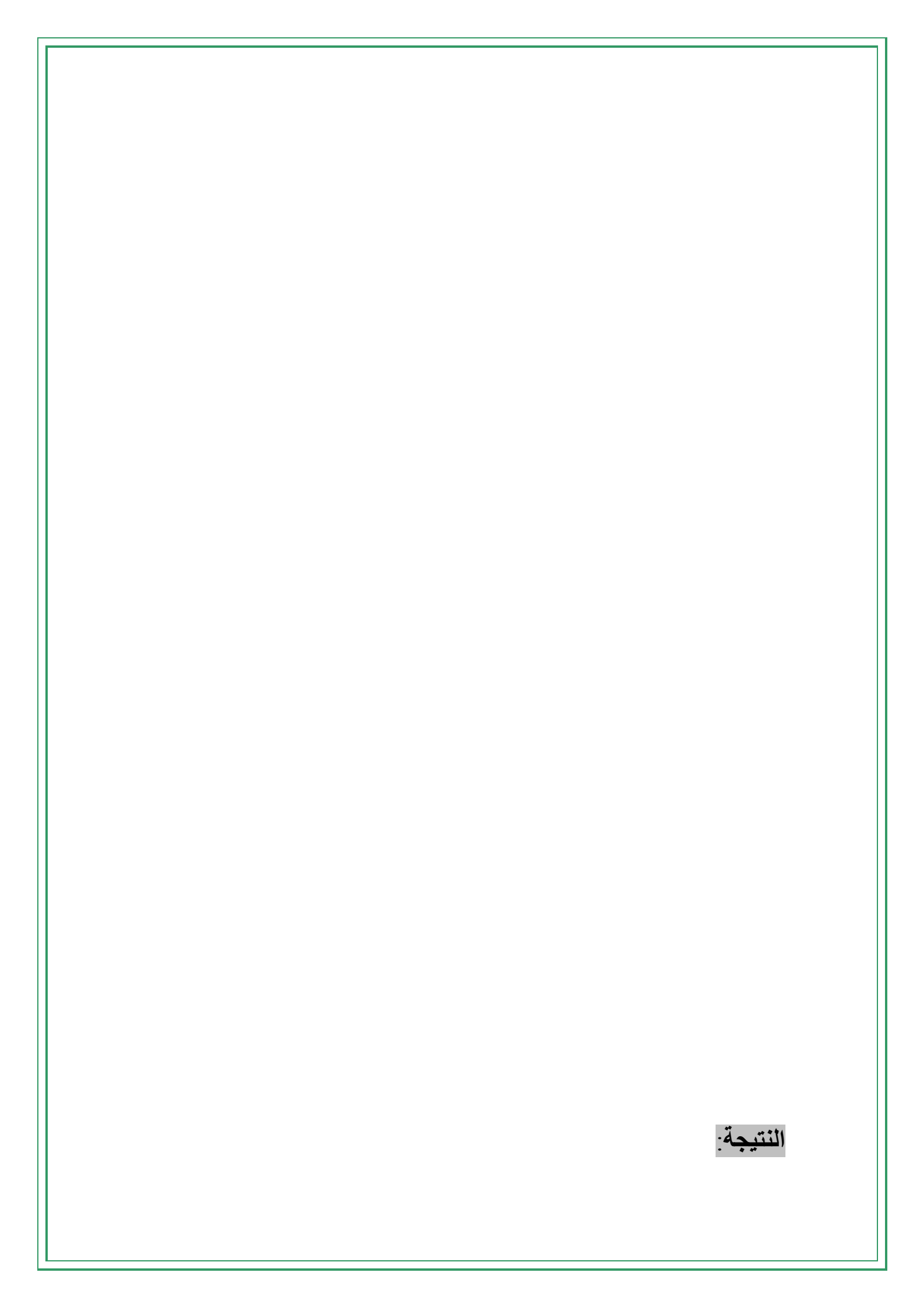
الإرتفاع عن مستوى سطح البحر: - 2474 متر

```
File number 16: Shaian(3)
     Measured apparent resistivities.
                               Nr.
50.0
     Nr.
            L/2
                    Pa
                                     L/2
                                              Рa
            1.5
                 38.7
                            13.
                                        36.1
      1.
            2.5
                 45.3
                                  75.0
                                        44.7
                            14.
      3.
            4.0
                 47.5
                            15.
                                 100.0
                                        39.4
                            16.
                42.7
                                 150.0
      4.
            6.0
      5.
            8.0
                37.0
                            17.
                                 200.0
           10.0
                34.2
                                 200.0
                            18.
                                        41.3
      7.
                 35.7
                                 150.0
                                        42.7
           15.0
                            19.
      8.
           20.0
                 39.6
                            20.
                                 300.0
                                        35.7
      9.
                            21.
           30.0
                 38.2
                                 400.0
                                        33.5
     10.
           40.0
                 35.3
                            22.
                                 500.0
                                        34.4
                36.2
                            23.
                                 600.0
     11.
           40.0
                                        36.5
           30.0 40.0
                            24.
                                 700.0 39.3
     12.
```

جدول رقم (٣) البيانات الحقلية المأخوذة في موقع الدراسة (موقع

File number 16: Shaian(3)

RESISTIVITY MODEL(S).



تتلخص نتائج الدراسة للموقع (جربة طهم) فيما يلي:

الخاصية الهيدرولوجية	التكوين الصخري الخاصية الهيدرولو		التكوين الصخري الخاصية الهر	· ·		العمق (بالمتر)	
		النوعية الحقيقية	الى	من			
		(m.Ω)					
ذو رطوبة عالية في جزئه الأسفل	وجود تربة زراعية ورواسب مختلفة وحديثة ويحتوي هذا النطاق في جزئه الأسفل على نواتج تعرية وتجوية الصخور البركانية المحيطة يغلب فيه وجود الكتل الصخرية	97-1.	£.V	السطح			
جاف	نطاق من الصخور البركانية الصلبة	140	۸.۸	£.V			
حاملة للمياه السطحية	نطاق متشقق من الصخور البركانية	17	1 A	٨٨			
جاف	نطاق من صخور بركانية صلبة	٥٦_ ٥٨	90	1.4			
حامل للمياه	نطاق متشقق ومتصدع من الصخور البركانية	11	1 7 9	90			
جافة	صخور بركانية صلبة	٦٥	نهاية عمق	1 V 9			
			الدراسة				

٣) موقع بين الأثل (قرية شيحان) - الوقشة نهم

خط النشر: - 1800 متر.

446010E/1718985N -: الإحداثيات

الأرتفاع: -2395 متر

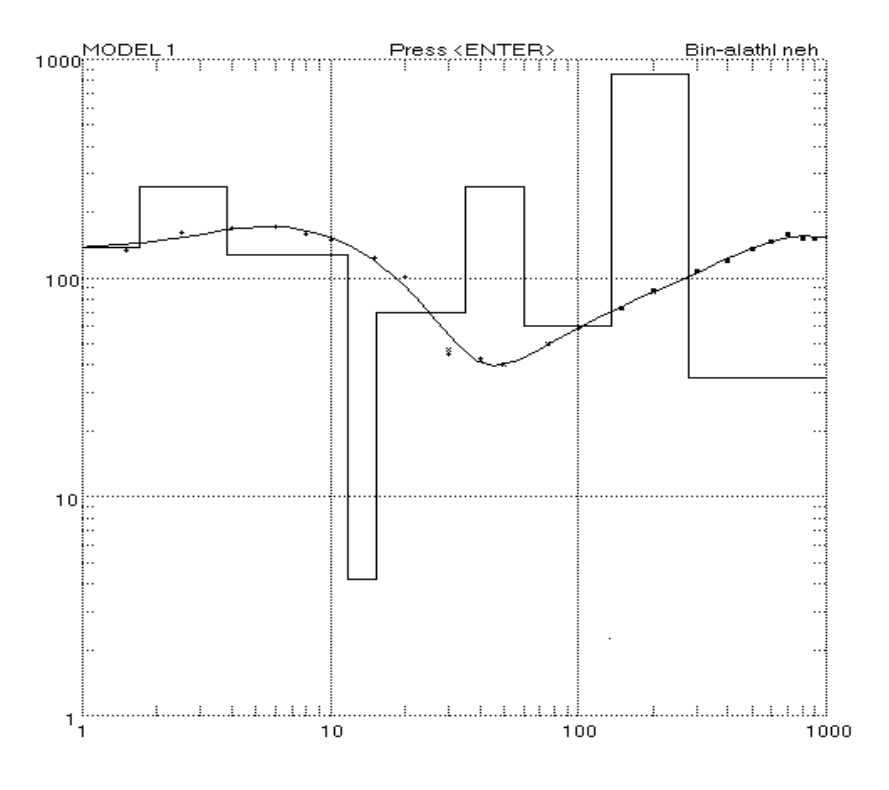
الجيولوجية التي يتبع لها موقع الدر اسة:

تقع المنطقة من الناحية الجيولوجية ضمن تكوين الصخور الرملية التابعة لمجموعة الطويلة الرملية التي تكونت في العصر الطباشيري والتي تتميز بتعرضها لقواطع الإجهاد التكتوني والتي يعود عمرها إلى العصر الثلاثي وهي قواطع بركانية تتكون من القواطع البازلتية وأحيانا من القواطع البازلت- انديزيت والتي تعمل على تكوين حواجز جيدة لحجز المياه ولكن في حالة تجمع هذه القواطع بشكل كثيف كما في موقع جربة المقصور فإنها تعمل على تجزئة الخزان الجوفي وتقليل كمية المياه المخزونة في الخزان الجوفي.

القياسات الحقلية:

Measured apparent resistivities.

Nr.	L/2 Pa	Nr. L/2	Pa
1.	1.5 137.8	14. 75.0 51.0	
2.	2.5 164.3	15. 100.0 60.9	
3.	4.0 172.5	16. 150.0 75.1	
4.	6.0 175.2	17. 200.0 88.8	
5.	8.0 163.0	18. 200.0 87.2	
6.	10.0 153.0	19. 150.0 72.7	
7.	15.0 126.0	20. 300.0 108.1	
	20.0 102.7	21. 400.0 120.8	
9.	30.0 46.0	22. 500.0 135.1	
10.	40.0 44.2	23. 600.0 147.7	
11.	40.0 43.0	24. 700.0 159.7	
12.	30.0 47.9	25. 800.0 151.0	
13.	50.0 41.3	26. 900.0 151.6	



Resistivity model(s).

Nr. Depth(H) Res.(ohHH) Hodelnr.
1. 1.7 137.0begin 1
2. 3.8 260.0
3. 11.8 128.0
4. 15.4 4.20
5. 35.0 70.0
6. 60.0 260.0
7. 135.0 60.0
8. 280.0 850.0
9. 9999.0 35.0end of 1

الموديل الحقيقي الممثل للتتابع الرأسي للصخور في موقع بين الأثل قرية شيحان-الوقشة-نهم

ثبت بعد التحليل الاتي:-

)		لمتر(m)	العمق با
الخاصية الهيدر و جيو لو جيه	التكوين الصخري وطبيعته	الى	من
جافة	تربة زراعية ورواسب مختلفة	١.٧	السطح
جافة	صخور رسوبية رملية صلبة	٣.٨	1.7
تحتوي على نسبة رطوبة عالية	صخور رسوبية رملية ذات مسامية متوسطة	11.4	٣.٨
تحتوي على مياه سطحية قد تحتوي على نسبة	صخور رسوبية رملية ذات مسامية عالية	10.5	11.4
ملوحة بسيطة	وتجتوي على نسبة من رواسب المتبخرات		
	وطين صخري		
حاملة للمياه السطحية	صخور رسوبية رملية ذات مسامية مرتفعة	40	10.5
	ومتشققة		
جافة	صخور رسوبية رملية صلبة	٦.	٣٥
حاملة للمياه في نطاقات التشقق فقط	صخور رسوبية رملية تحتوي على نطاقات	170	٦.
•	تشقق		
جافة	طبقة من الصخور الرملية شديدة الصلابة	۲۸.	100
حاملة للمياه الجوفية	طبقة من الصخور الرملية لها مسامية		۲۸.
	مرتفعة		

٤) موقع جربة أملاك بيت الأكوع قبلي يئر زاهر-أرحب الخميس

خط النشر : AB/2=1000m

420331E/1717416N -: الإحداثيات

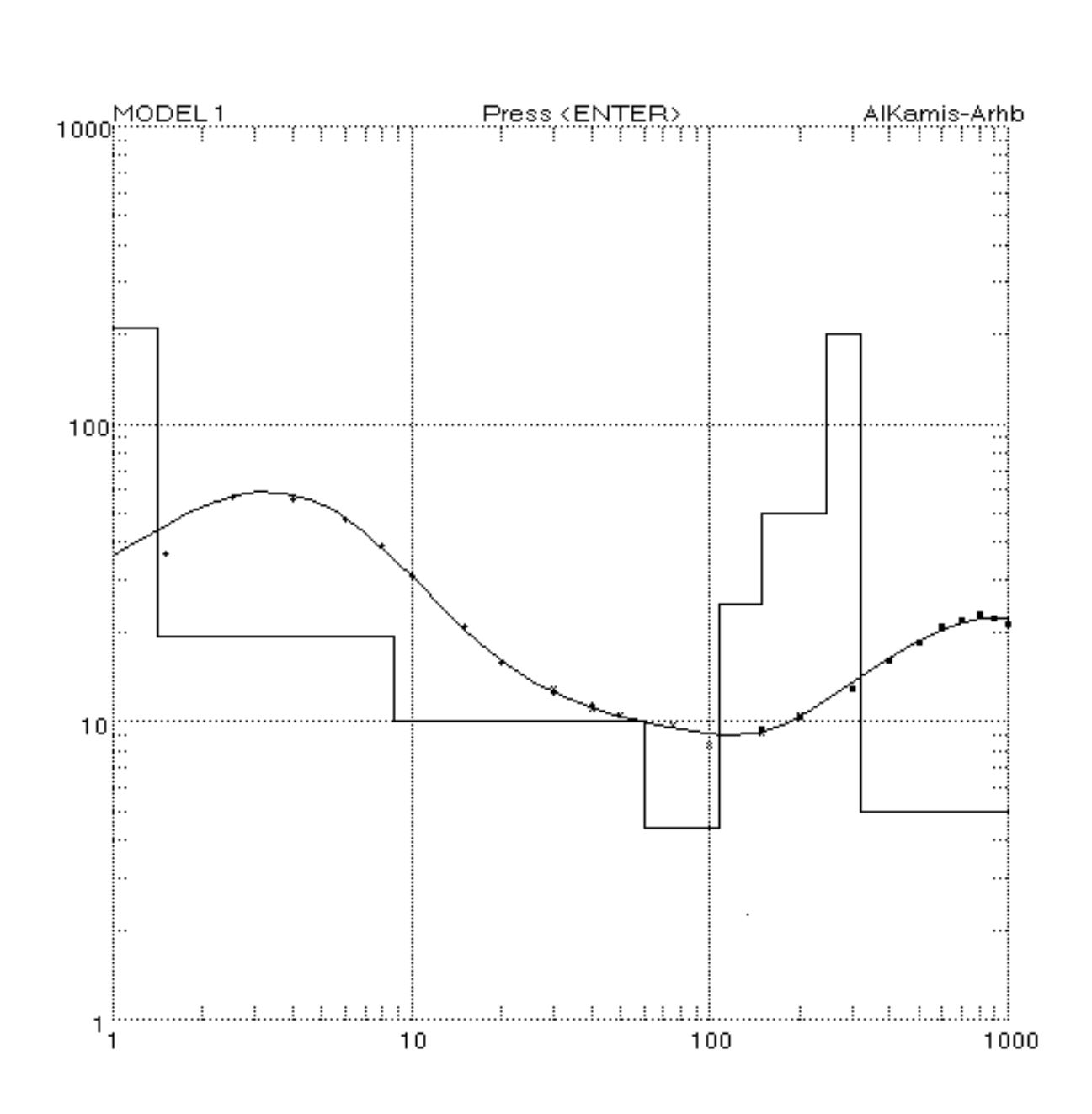
الإرتفاع عن مستوى سطح البحر: - 2180 متر

القياسات الحقلية: _

Measured apparent resistivities.

L/2	Pa		Nr.	L/2	Pa
1.5	41.6	15.	100.0	9.20	
2.5	64.4	16.	150.0	10.2	
4.0	63.3	17.	200.0	11.6	
6.0	54.3	18.	200.0	10.3	
8.0	44.1	19.	150.0	9.40	
10.0	35.2	20.	300.0	13.0	
15.0	23.8	21.	400.0	16.1	
20.0	18.0	22.	500.0	18.5	
30.0	14.2	23.	600.0	21.0	
40.0	12.9	24.	700.0	22.0	
40.0	12.3	25.	800.0	23.0	
30.0	14.2	26.	900.0	22.2	
50.0	11.7	27.	1000.0	21.4	
75.0	10.7				
	1.5 2.5 4.0 6.0 8.0 10.0 15.0 20.0 30.0 40.0 30.0 50.0	1.5 41.6 2.5 64.4 4.0 63.3 6.0 54.3 8.0 44.1 10.0 35.2 15.0 23.8 20.0 18.0 30.0 14.2 40.0 12.9 40.0 12.3 30.0 14.2 50.0 11.7	1.5 41.6 15. 2.5 64.4 16. 4.0 63.3 17. 6.0 54.3 18. 8.0 44.1 19. 10.0 35.2 20. 15.0 23.8 21. 20.0 18.0 22. 30.0 14.2 23. 40.0 12.9 24. 40.0 12.3 25. 30.0 14.2 26. 50.0 11.7 27.	1.5 41.6 15. 100.0 2.5 64.4 16. 150.0 4.0 63.3 17. 200.0 6.0 54.3 18. 200.0 8.0 44.1 19. 150.0 10.0 35.2 20. 300.0 15.0 23.8 21. 400.0 20.0 18.0 22. 500.0 30.0 14.2 23. 600.0 40.0 12.9 24. 700.0 40.0 12.3 25. 800.0 30.0 14.2 26. 900.0 50.0 11.7 27. 1000.0	1.5 41.6 15. 100.0 9.20 2.5 64.4 16. 150.0 10.2 4.0 63.3 17. 200.0 11.6 6.0 54.3 18. 200.0 10.3 8.0 44.1 19. 150.0 9.40 10.0 35.2 20. 300.0 13.0 15.0 23.8 21. 400.0 16.1 20.0 18.0 22. 500.0 18.5 30.0 14.2 23. 600.0 21.0 40.0 12.9 24. 700.0 22.0 40.0 12.3 25. 800.0 23.0 30.0 14.2 26. 900.0 22.2 50.0 11.7 27. 1000.0 21.4

البيانات الحقلية لموقع جربة أملاك بيت الأكوع قبلي بير زاهر



AlKamis-Arhb

Resistivity model(s).

```
Nr. Depth(H) Res.(ohHH) Hodelnr.
1. .6 25.0begin 1
2. 1.4 210.0
3. 8.8 19.5
4. 60.0 10.0
5. 107.5 4.40
6. 150.0 25.0
7. 245.0 50.0
8. 320.0 200.0
9. 9999.0 5.00end of 1
```

الموديل الحقيقي الممثل للصخور في موقع جربة أملاك بيت الأكوع قبلي بئر زاهر

النتيجة:

الخاصية الهيدرولوجية	التكوين الصخري	العمق (بالمتر)	
		ائی	من
جافة	يتكون هذا العمق من نطاقين العلوي عبارة عن تربة زراعية ورواسب مختلفة وحديثة يستمرحتى عمق تقريبي مقداره ٣٥ متر ويظهر بعده نطاق من الصخور الجيرية المتعرضة لعملية تعرية قوية جعلتها على شكل فتات صخري هش يستمر الى عمق مقداره ٢٠ متر	۲۰ متر	السطح
شديدة الرطوبة	نطاق من صخور المارل المتكون من الطين الجيري وهي رطبة	١٠٨	۲.
جاف	نطاق من الصخور الجيرية المتداخل مع صخور المارل الهشة	10.	١٠٨
حاملة للمياه	نطاق من الصخور الجيرية المتشققة	_7 £ 0 7 V •	1710.
جافة	نطاق من الصخور الجيرية الصلبة	٣٢.	YVY & 0
جافة	نطاق من الصخور الجيرية المتداخلة مع نسبة عالية جداً من الطفل الأسود	نهاية عمق الدراسة	** • • • • • • • • • • • • • • • • • •

تمت عملية الحفر في هذا الموقع إلى ٢٤٢ متر حيث كانت كمية المياه كافية قدرت بحوالي ٢. المتراثانية.

٥) موقع الأكروف قرية المشرق _ شرعب السلام محافظة تعز.

جيولوجية موقع الدراسة:

تقع المنطقة على منكشفات صخور القاعدة والتي تتكون من الجرانيت والنيس المتاثر بعملية تصدع قوية وواضحة ويطلق عليه Gneissic, granite with flow structure, syntectonic القياسات الحقلية: ـ

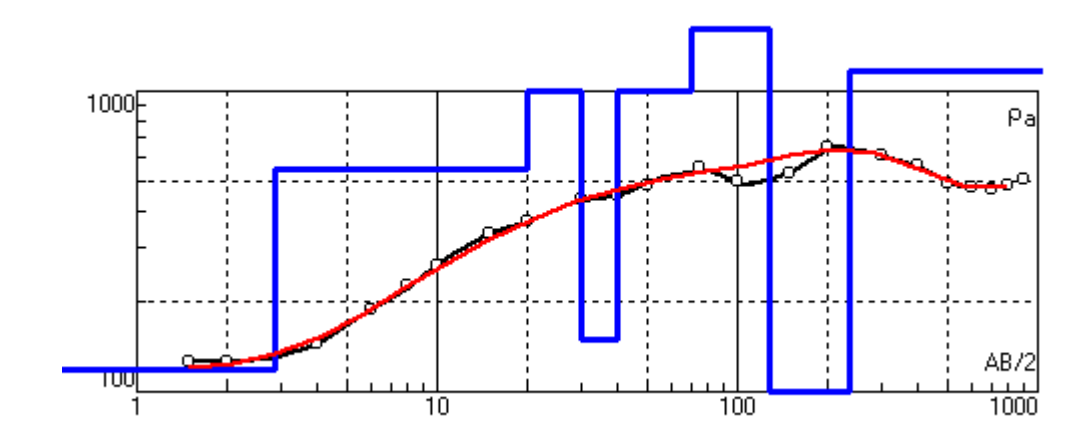
تم اخذ القياسات الحقلية بواسطة جهاز قياس المقاومية الكهربائية والذي يطلق عليه اسم IRIS تم اخذ القياسات الحقلية المأخوذة في موقع الدراسة.

(AB\2)	(MN)	р
1.5	1	111.4
2	1	110.2
4	1	126.5
6	1	164.3
8	1	197
10	1	231.7
15	1	296
20	1	323.2
30	1	387
30	20	319.9
40	1	390.6
40	20	330
50	20	357.1
75	20	410.8
100	20	365.7
150	20	389.6
150	100	528
200	20	480.3
200	100	657
300	100	616
400	100	564.2
500	100	492.3
600	100	480.5
700	100	472
800	100	483
900	100	510

عملية النمذجة والتحليل:

تم استخدام برنامج التحليل الخاص بطريقة شلمبر جرالحصول على النموذج الممثل للمقاومية الحقيقية للصخور وتم التوصل الى الموديل الحقيقي الممثل للتتابع الرأسي للصخور في موقع الدراسة كما وكانت قيم الاعماق مع المقاومية الحقيقية المصاحبة لها كما يلي:

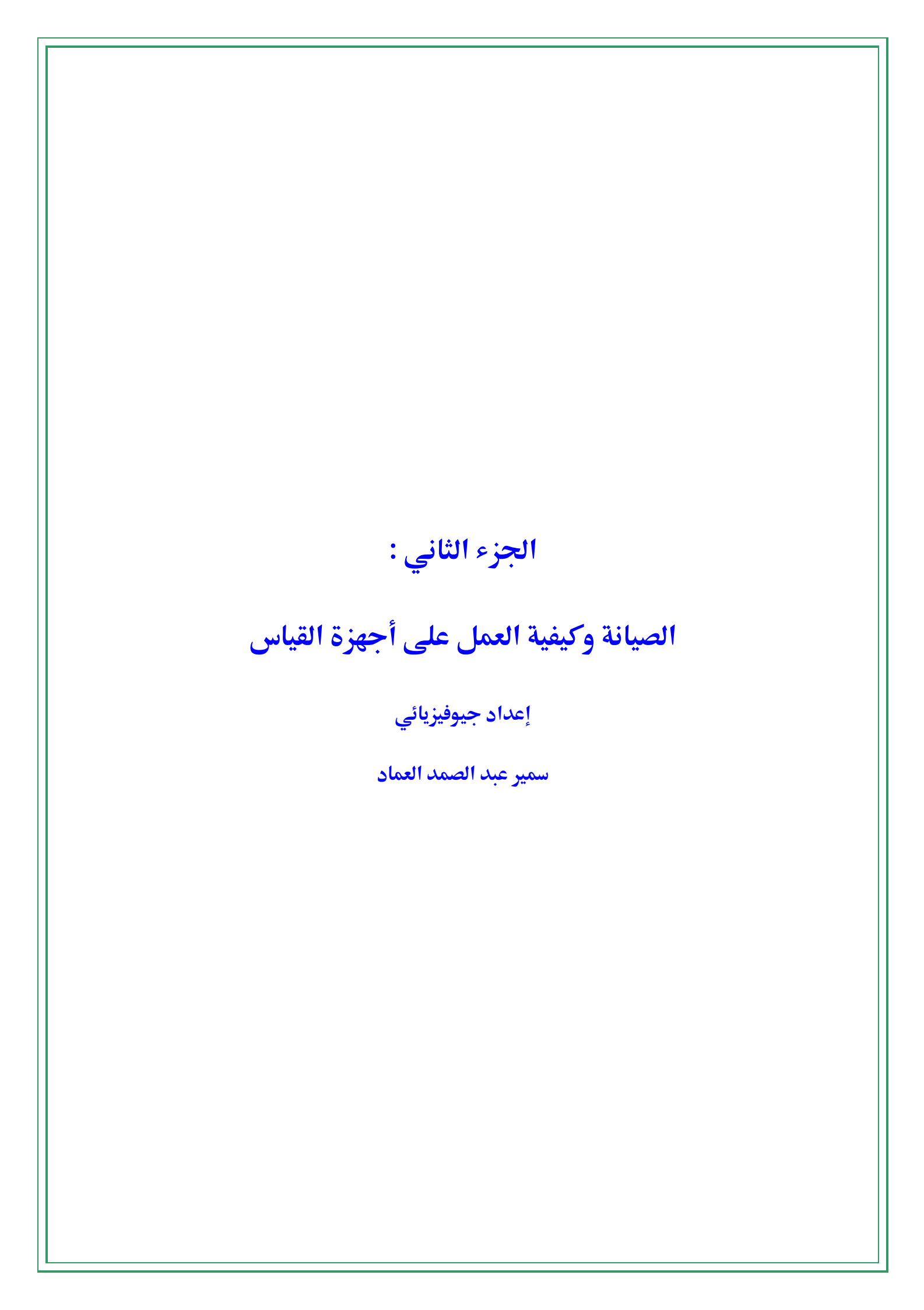
D	р
2.9	118
20	550
30	1000
40	150
70	1000
128	1600
237	100
9999	1170



الموديل الحقيقي الممثل للتتابع الرأسي للصخور في موقع الدراسة

النتيجة: تتلخص نتائج الدراسة فيما يلي:

الخاصية الهيدرولوجية	التكوين الصخري	المقاومة	العمق (بالمتر)	
		النو عية الحقيقية	إلى	من
		(m.Ω)		
جافة	تربة زراعية ورواسب مختلفة	114	٣	السطح
جافة	نطاق من صخور الأساس (القاعدة) المتعرضة لعمليتي التجوية والتعرية الشديدتان	٥٥,	۲.	٣
جافة	صخور الأساس (القاعدة) الجرانيتية الصلبة	1	۳۰	۲.
حاملة للمياه السطحية	نطاق من صخور الأساس (القاعدة) المتعرضة لعملية تصدع وتشقق عالية	10.	(0 2 .)	٣٠
جافة	صخور الأساس (القاعدة) شديدة الصلابة	-1 · · ·	١٢٨	(0 2 .)
حاملة للمياه	نطاق من صخور الأساس (القاعدة) المتعرضة لعملية تصدع وتشقق عالية	1	777	١٢٨
جافة	صخور الأساس (القاعدة) الصلبة	114.	نهاية عمق الدراسة	777



۱_۲مقدمة:

المبتكرون في مجال حقل الالكترونيات هم أشخاص يوظفون المعرفة ، والأفكار الإبداعية والمعلومات ، والمعلومات الفنية المتوفرة لديهم لتحويل الأفكار إلى تجهيزات الكترونية فنية وعملية تخدم كثير من المجالات الجيولوجية وغيرها ،لذلك يجب على كل المتخصصين في أي مجال إن يكون لديهم إلمام كامل بالمبادئ النظرية والعملية بطريقة ترفع من مستواهم وبناء أساسا عمليا وتكوين صورة واضحة عن الأجهزة وطريقة عملها ومكوناتها

٢-٢ المبادئ النظرية :-

نتناول في هذه الفقرة المفاهيم الأساسية للالكترونيات والمتعلقة بطرق الاستكشاف الكهربية كالتيار والجهد والمقاومة والاستطاعة الكهربية وسندرس بعد ذلك كيفية إيجاد الجهد على المقاومة وكذلك التيار المار بها باستخدام بعض القوانين والنظريات الأساسية كقانون اوم (ohms law) كما سننا قش طرق قياس المقاومية بأسلوب سهل ومبسط حتى نتمكن من بناء أساس علمينظري وسنكتفي بشرح وتوضيح الأجهزة الرئيسية والشائعة الاستعمال كجهاز قياس المقاومية الفرنسي (syscal R2) وقبل كل ما ذكر سنتطرق إلى موضوع غاية في الأهمية و هو الصيانة

Maintenance الصيانة

لابد لنا قبل أن ندخل في أساس الأجهزة الجيولوجية أن نتعرف على كيفية التعامل مع الجهاز وطرق الصيانة الوقائية لهذا الجهاز الذي نملكه وعن طريق الخبرة نجد أن كثير من عطل الأجهزة ترجع إلى أخطاء المستخدمين وسوء الاستعمال ، لتفادي هذه الأشياء الحساسة وجب علينا في البداية أن نعطي فكرة مختصرة عن الصيانة الوقائية للجهاز وكيفية التعامل معه إذا حدث أي خطا أو عطل .

* الصيانة الوقائية (prevent maintenance)

يمكن تعريفها بأنها مجموعة الأعمال والخطوات والتعليمات التي يجب أن يقوم بها الإنسان الذي يستخدم الجهاز لمنع حدوث أي عطل أو خلل في الجهاز وهذا العطل أو الخلل يبرز في عدة صور عديدة منها:-

وسنقوم بشرح موجز لكل عطل من هذه الأعطال :-

<u>1</u> الأعطال الكهربية:-

ونحن نتحدث عن الصيانة الوقائية للأجهزة نلاحظ بان الإهمال في العمليات الكهربية يعتبر من الأسباب المهمة التي تؤدي إلى تلف الجهاز كالربط الكهربائي الخاطئ وسحب الأسلاك دون وعيب تؤدي إلى تقطيعها.

٢_ الأعطال الآلية:_

إذا أمعنا النظر في الأعطال الميكانيكية نجد أن معظمها ناشئ من الموقع الذي يوضع علية الجهاز الأمر الذي قد يجعله معرضا للسقوط بطريقة من مكانة حتى بالطريقة الغير متعمدة وكذلك الأمر بالنسبة لوضعه في مكان ضيق غير مناسب مما يعرضه أيضا للسقوط كذلك حمل الجهاز بطريقة خاطئة يؤدي إلى أعطال كثيرة.

صعطال فرط الحرارة Over heating

إن الحرارة الزائدة في الأجهزة قد تودي إلى تلف الأجهزة سريعا وان الشركات المصنعة عمدت إلى ذكر درجة الحرارة الغير مؤثرة على الجهاز والتي يجب أن يبقى في مداها.

٤_ أعطال الإهمال في النظافة:-

عدم تنظيف الجهاز بعد الانتهاء من العمل الحقلي لا شك أنة يؤدي إلى تراكم الأتربة والأوساخ مسببا تلف مفاتيح التشغيل ،إن الشق الأخر من الصيانة الوقائية عند توقف الجهاز عن العمل بصورة مفاجئة يجب على المستخدم أن يقوم في البداية بالتأكد من صحة ودقة توصيل الدارة وتشغيل الجهاز وإذا لم يعمل الجهاز فعلية أن يستدعي الشخص المسؤول إذ قد يكون الخطاء ناشئا عن الشخص المستخدم ،وفي حالة فشل المحاولات لتشغيل الجهاز على مسئول الفريق إنهاء المهمة والعودة إلى مقر العمل واستدعاء موظفي الصيانة لعمل اللازم وعلى المستخدم أن يقوم بشرح وبشكل مفصل تلك الأسباب التي أدت إلى حالة الخلل في الجهاز لغرض التشخيص السليم منذ البداية وتعيين سبب الخطاء مراعيين أن تتضمن تلك المعلومات الأسباب

التي أدت إلى حدوث العطل كالربط الكهربائي الخاطئ أو سقوط الجهاز أو التغير غير الطبيعي في درجه الحرارة.

٢-٢ما هي الكهرباء ؟؟؟ :-

من المعلوم إن كل عنصر كيميائي ينتهي تجزيئة إلى ما يسمى بالذرة ويدور حول الذرة مجموعة من الالكترونات يختلف عددها باختلاف العنصر الكيميائي ،وهى تحمل شحنة كهربائية سالبة قدرها (10×7.7) كولون ، وقد بلغت كتلتة (10×9.7) جرام ويوجد كذلك جسيم آخر يحمل شحنة موجبة تساوى الشحنة السالبة التي يحتلها الإلكترون ،وبذلك تكون الذرة في حالة تعادل كهربائي ، وعلى ذلك نصل إلى الحقيقة التالية وهى :

لا تخلق الكهرباء خلقا إنما هي موجودة في كل مادة وتسمى وحدة الشحنات ألسالبه (إلكترون) ووحدة الشحنات الموجبة (بروتون) ويختلف عدد الالكترونات باختلاف العناصر ويتراوح عددها بين (١٠٢-) حسب العناصر المعروفة حتى ألان وهي تدور على مسارات متعددة حول النواة وتبقى الالكترونات محافظة على مداراتها - ذلك عند عدم تطبيق أية قوة خارجية - وذلك تحت تأثير القوة الجاذبة للنواة التي تساوي وتعاكس القوة النابذة الناشئة عن سرعة الالكتر ونات وتنفصل الالكترونات عن ذراتها وتنتقل لذرة أخرى تحت تأثير القوى الخارجية المطبقة فيتشكل لدينا بما يسمى بالتيار الكهربائي ،وقد وجد أن غدد الالكترونات في أكثر المواد الناقلة حوالي (١٠) إلكترونا في السنتيمتر المكعب الواحد إي أن ناقليه جسم تتناسب طرديا مع عدد الالكترونات الحرة في السم المكعب وكذلك مع حركتها التي تكون كبيرة في الأجسام المتماسكة ، وبطيئة في الأجسام الغير متماسكة ، مما يؤكد صحة هبوط ناقليه الأجسام بارتفاع درجة حرارتها وذلك من جراء تمدد المادة وبالتالي قلة تماسكها ، كما أن وجود الشوائب في المادة يقلل من ناقلتيها وبمعنى أخر يزيد من مقاومتها للتيار الكهربائي كما يبدو ذلك من الخلاط المعدنية وقد لا توجد الالكترونات الحرة القابلة للحركة أو توجد بكمية ضئيلة في يغض المواد فتسمى بالمواد الكبيرة المقاومة أو بالمواد العازلة ،اي أن كل أو معظم الكتروناتها مقيدة إما عند توضع العوازل في ساحة كهربائية شديدة بحيث تكفي شدته لقلع الالكترونات من مسار اتها،حينئذ تصبح العوازل ناقلة وتسمى هذه الحادثة ب(خرق العوازل) ولكل مادة حسب تكوينها الذري توتر كهربائي معين يكفى لخرق عاز ليتها ويجعلها ناقلة ،وبهذا يمكننا أن نقول بان جميع المواد الموجودة في الطبيعة ناقلة وتختلف ناقلتيها من مادة الأخرى ..

وكما أن الغلاف الالكتروني قد حكم على الصفات الكهربائية للمادة فانه كذلك يحكم على الصفات المغناطيسية

-: current التيار ٢-٢-١

يرمز للتيار في الداران بالرمز (I) وهو يعبر عن كمية الشحنة (Q) التي تعبر المقطع العرضي للناقل من وحدة الزمن لذلك فإن علاقة التيار يعبر عنها بالمعادلة التالية:

$$I_{1} \equiv \frac{\triangle Q}{\triangle Q} \equiv \frac{D Q}{D T}$$

A أو AMP أو AMP أو AMP تسمى وحدة التيار (أمبير AMPER) ويرمز لها اختصارا بالرمز \underline{A} كوحدة قياس التيار وهو الرمز المتداول ، الأمبير الواحد يساوي كولومب واحد (COULOMB) في الثانية

1A = 1C / S

تحمل القيادات الكهربية عادة بواسطة الالكترونات وكُلُّ إلكترون يحمل شحنة مقدار ها (E-) و هذه الشحنة تساوي

I-19

-E=1.6 X10C

لذلك فإن التيار الكهربي هو عبارة عن حركة جزيئات متناهية في الصغر تدعى الالكترونات الحرة ولا يمكن مشاهدتها في أدق المجاهر ولكن يستدل على التيار الكهربي بالثارة المختلفة التي تظهر في الأجهزة الكهربائية مثل الحرارة والمغناطيسية والأثر الكيميائي وغيرة ولهذا التيار نوعان أساسيان هما:

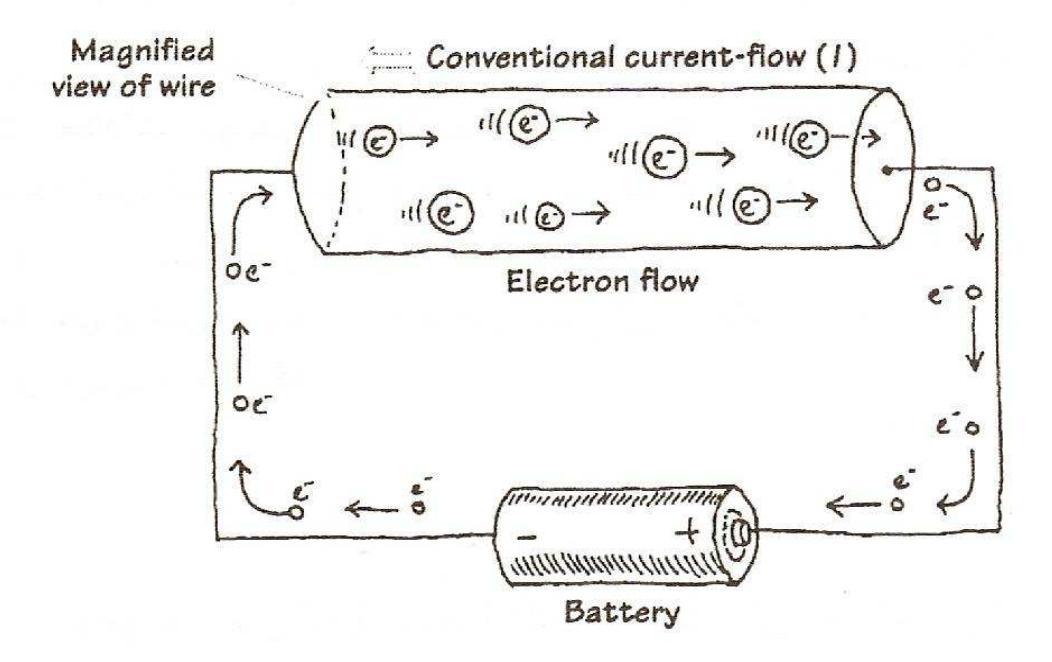
أ- تيار متناوب:

ويرمز له $\wedge \wedge$ او $\wedge \wedge$ و هو تيار متغير في القيمة والاتجاه وله تردد معين يقاس بال هرتز

أو السيكل أو ذبذبة في الثانية

ب- تیار مستمر:

ويرمز له DC أو — وهو تيار ثابت في القيمة والاتجاه يحمل بواسطة خطين خط سالب ويرمز له (N) أو (COM) ولونه اسود وخط موجب ورمزه (P) ولونه احمر ومن الجدير بالذكر أنة من السهل تحويل التيار المتناوب إلى تيار مستمر بكلفة زهيدة جدا بواسطة دائرة تقويم بينما يكون مكلف جدا تحويل تيار مستمر إلى تيار متناوب يبين الشكل دائرة بسيطة مكونة من وناقل تم تكبير جزء منه لتوضع حركة الالكترونات ضمن الناقل و على الشكل يظهر الاتجاه الاصطلاحي للتيار أو اتجاه حركة الالكترونات.



شكل يوضح حركة الالكترونات ضمن الناقل و يظهر الاتجاه الاصطلاحي للتيار أو اتجاه حركة الالكترونات.

: voltage الجهد ٢-٢-٢

نجد إن التيار لا يمر في الدارة بدون تطبيق قوة خارجية في الشكل الموضح في رقم الخاص بالتيار كنا نحصل على هذه القوه من البطارية التي نقوم بتحويل الطاقة الكيميائية إلى طاقة كهربية عن طريق فصل الشحنات السالبة (الالكترونات) عن الشحنات الموجبة (الايونات) وهذه الشحنات تولد القوة التي تجعل الالكترونات تتحرك وتؤدي عملا نافعا تسمى هذه القوة بأسماء كثيرة ومختلفة وسنشرح فيما يلى أكثر ها شيوعا:

• القوة المحركة الكهربائية (electromotive):

إن احد الأسماء الشائعة هو القوة المحركة الكهربائية و هو يدل على القوة التي تجرك الالكترونات و هذه القوة هي النتيجة الطبيعية لقانون كولون الذي بنص على إن الشحنات الكهربائية المتماثلة تتنافر و الشحنات ألموجبه تتجاذب إن البطارية نتيجة التفاعل الكيميائي تولد شحنات سالبة عند احد طرفيها وشحنات موجبة عند الطرف الأخر وإذا وصلنا دارة مغلقة على طرفي البطارية فانه يتشكل ممر للتيار بين طرفي البطارية حيث تتحرك الالكترونات الحرة عبر الدارة من الطرف السالب إلى الطرف الموجب للبطارية وذلك بتأثير القوة التي تولدها الشحنات المتعاكسة وباختصار نقول إن القوة المحركة الكهربية هي القوة التي تجبر الالكترونات على التحرك ضمن دارة مغلقة .

• فرق الجهد (potential difference) :

إن الاسم الأخر لهذه القوة هو فرق الجهد وهو يصف مميزات القوة المحركة الكهربية في دارة مفتوحة.

• الجهد:Voltage

الاسم الأخر الذي يطلق على القوة المحركة الكهربية وفرق الجهد هو الجهد إلا انه يوجد فرق بين الجهد والقوة المحركة الكهربية.

إن الجهد هو مقياس القوة المحركة الكهربية أو فرق الجهد تقاس القوة المحركة الكهربية أو فرق الجهد بوحدة الفولت ،والفولت volt هو القوة اللازمة لتحريك تيار شدته (١) أمبير عبر سلك مقاومته (١) اوم وسنشرح المقاومة بالتفصيل لاحقا ،أجزاء الفولت هي ألميلي فولت ويساوي (١٠٠٠٠) فولت المايكرو فولت يساوي (١٠٠٠٠٠) فولت tolt وهناك مضاعفات الفولت.

٣-٢-٢ المقاومة (Resistance):

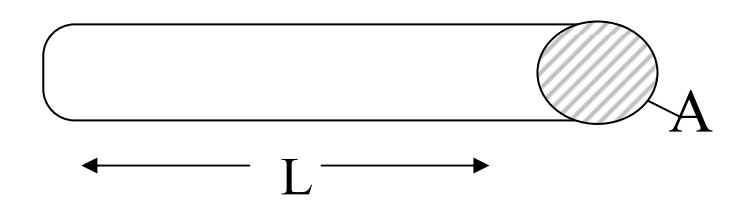
المقاومة تعريفا هي الخاصية التي تعارض حركة الالكترونات وتتمتع كل المواد المعروفة بهذه الخاصية إلى حد ما . وتظهر بعض المواد مثل الزجاج والمطاط مقدار كبير من المعارضة لحركة الالكترونات وبالتالي لأتسمح بمرور التيار الكهربي فيها ولذلك يقال إن لهذه المواد مقاومه كبيرة جدا ،المواد الأخرى مثل الفضة والنحاس تبدي مقاومة قليلة جدا لحركة الالكترونات ولذلك يقال إن لها مقاومة منخفضة جدا ، وتقدر المقاومة بوحدة الاوم (ohm) ويمكن تعريف الاوم بعدة طرق مختلفة. فقد عرفت على أنها (مقاومة عمود من الزئبق طوله(١٠٦٣) سم مساحة مقطعه (١) مم مربع ،إلا انه من الصعب تمييز مقدار هذه المقاومة. ونستطيع أن نعرف المقاومة بما هو مألوف لدينا مثلا عندما نقول:

إن سمك نحاس قطره نحو (5,0) مم وطوله نحو (9) أمتار فإننا نقصد إن له مقاومة نحو واحد اوم (9,0) المقاومة الأكثر شيوعا لتعريف الاوم عندما نقول إن الواحد اوم هو مقدار المقاومة التي تسمح بمرور تيار شدته واحد أمبير عند تطبيق قوة محركة كهربية بقيمة واحد فولت فان مقاومة الدارة هي واحد اوم .

ومما سبق يتضح لنا إن المواد الناقلة هي المواد التي تسمح بمرور التيار الكهربي بشكل جيد ولكل مادة مقاومة نوعية تقاس بالاوم لكل متر وكلما كانت اصغر كلما كانت المادة ذات ناقليه أفضل للتيار.

٤-٢-٢ المقاومية (المقاومة النوعية) Apparent receptivity :

ليست كل المواد موصل جيد للكهرباء بل إن هناك فرقا بين قدرة المعادن المختلفة على توصيل التيار لذا فنحن في احتياج كمية محددة تخبرنا بدقة عن مدى جودة المادة لتوصيل التيار الكهربي أو أن نتمكن إذا أردنا من أن نصف المادة بكبر مقاوميتها فمثلا افترض أن لدينا قطعة اسطوانية الشكل من سلك كما في الشكل أدناه:



شكل يوضح ابعاد سلك توصيل

طوله L والمساحة المقطعة هي A فإننا نقول إن مقاومية هذا الجزء تعتمد على طول السلك ومساحة مقطعة A حيث أن المقاومة تتناسب طرديا مع طول السلك و عكسيا مع مساحة مقطعة ونعبر عنها بالمعادلة

$$R = P L$$

حيث L طول السلك

A مساحة مقطع السلك

P وهو ثابت التناسب (الحرف الإغريقي "رو") وهو الخاصية للمادة التي صنع منها السلك وتسمى هذه الخاصية بالمقاومة النوعية للمادة فإذا كانت كبيرة فان المادة تكون رديئة التوصيل وإذا سعينا وراء P فإن:

$$P = R \quad \underline{A}$$

وتكون الوحدة القياسية للمقاومة النوعية (المقاومية) هي ohm - meters

المقاومة النوعية Resistivity:

إن الوحدة القياسية للمقاومة النوعية هي اوم - متر (ohm.m) إذا مر تيار قدره ((A)) من مادة ناقلة طولها ((A)) عند تطبيق فرق جهد مقداره ((A)) واحد فولت وتتأثر المقاومة

النوعية بدرجات الحرارة المتواجدة فيها حيث تزيد المقاومة النوعية بزيادة درجة الحرارة وتقل بنقصانها

٥-٢-٢مصادر الاستطاعة المستمرة ؟

تؤمن مصادر الاستطاعة الجهد والتيار لتشغيل الأجهزة والدارات الالكترونية وتصنف مصادر الاستطاعة نظريا إلى مصادر جهد مثاليه (Ideal sources) ومصادر تيار مثاليه (Ideal sources currant) ومصادر الجهد المثالية هي عبارة عن أداة (عنصر) أو جهاز يؤمن جهد ثابت بين طرفين وإذا تم وصل مقاومة حمل متغيرة بين طرفي مصدر الجهد المثالي فان جهد المصدر يبقى ثابتا حتى لو تغيرت مقاومة الحمل وهذا يعني إن التيار يتغير بتغير المقاومة أما الجهد فيبقى ثابتا

I = V/R

وعندما تصبح المقاومة (R = O) فان النيار سيصبح مساويا اللانهاية والفولتية ستساوي صفرا وفي الواقع لا يوجد مصدر جهد يعطي تيارا لانهائيا وتعتبر البطاريات مصادر جيدة للتغذية بالجهد المستمر .

إشكال التيار المستمر:__

١) التيار المستمر المباشر:

ويمكن التعرف علية من كونه يجري بصورة مستمرة وبدون زيادة *أو نقصان في الشدة* أي بدون تقطيع.

٢) التيار المستمر المتقطع:

ويمكن الحصول علية من جهاز كهربائي(DC-DC—CONVERTER) يصدر إشارة كهربائية ذات تردد واطئ أي أن التيار يعطي بصورة مستمرة ويقطع لعدة مرات في الثانية الواحدة وفي كل مرة يزيد التيار من الصفر إلى القمة وبسرعة معينة فيسري في الأرض في مدة قصيرة وبذلك يكون بأشكال مختلفة فتكون على شكل موجة مربعة —on—off—on

٣) التيار المستمر المتغير ألشده:

إن هذا النوع من التيارات تتغير شدتها بانتظام إلى القمة والقاع على شكل أقواس متتابعة أن جميع هذه الأقواس تصل إلى الصفر ويعني ذلك وجود تيار بصورة مستمرة إلا أن جريانه يكون بشدة متغيرة.

أشكال التيار المتناوب:__

وهو التيار الذي تجري فيه الالكترونات في اتجاه متناوب وبصورة متكررة مشكلة بذلك دورات منتظمة بتردد معين في الثانية الواحدة ويكون عادة على شكلين:

١ - التيار المتناوب المتناظر:

ونلاحظ في هذا النوع أن التيار يأخذ شكلا متناظرا من الدورات وتتألف كل دورة من قوسين متتا بعين احدهما فوق الصفر والأخر تحته ويوجد منة عدة أشكال.

٢ - التيار المتناوب غير المتناظر:

وفي هذا التيار تجري الالكترونات بشكل غير متناظر إذ أنها تجري في النصف الأول من الدورة ببطء وشدة قليلة أما في النصف الثاني من ألدوره فإنها تجري سريعا وبشدة عالية ويوجد منة عدة أنواع.

٦-٢-٢ الدارات الكهربائية:

تتكون الدارة الكهربائية من وحدة الإمداد بالقدرة الكهربائية وتركيبة من الأسلاك والعناصر الكهربائية الأخرى التي تسمح بمرور التيار الكهربائي والمتصلة بأجهزة القياس لتكون بذلك دارة مغلقة وتصنف الدارات الكهربائية إلى دارات تسلسلية (series circuits) ودارات تفرعية (parallel-circuits) ودارات مختلطة تسلسلية وتفرعية

الدارات التي تطبق عليها مصادر دورية لا جيبيه:-

افرض أن لديك منبع جهد دوري لا جيبي موجة مربعة مثلا وان هذا المنبع موصلا مع دارة قياس المقاومية الظاهريه كيف ستحلل عمل هذه الدائرة ،الدارة ليست دارة تيار مستمر ولذلك لا يمكنك استخدام نظرية الدارات المستمرة فيها والجهد المطبق عليها ليس جيبيا ولذلك لا تستطيع الاستفادة من طريقة الممانعة العقدية في التحليل ...

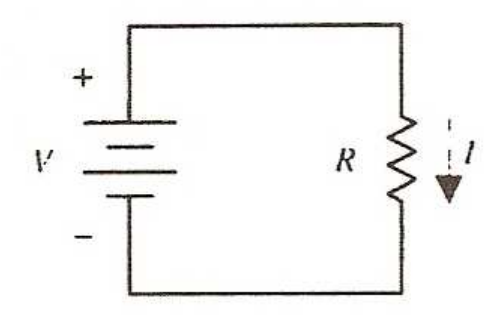
ما الذي تفعله إذا ؟؟؟

يجب أن تتذكر على الرغم من كل الصعوبات للتعامل مع مثل هذه الدارات إن قوا نين كيرشوف قابلة للتطبيق في هذه الدارات ولكن قبل ذلك عليك أن تفكر كيف ستعبر عن منبع الجهد المطبق على الدارة رياضيا وبفرض أن منبع الجهد هو منبع نبضات مربعة كيف تعبر عن الموجة المربعة رياضيا؟ في الحالة العامة هناك صعوبة في وصف تابع دوري لا جيبي في معادلة واحدة وما بهمنا نحن هو إعطاء فكرة مختصرة ليتسنى لنا فهم جزء بسيط مما يقوم به

احد، الأجهزة التي نستخدمها في قياس المقاومة النوعية للطبقات الأرضية والشكل الأتي يوضح لنا الشكل الموضح في الكتلوج الإشارة المربعة التي يرسلها هذا الجهاز إلى الأرض

قانون اوم: Ohm low:-

عند ملاحظة الدائرة البسيطة المرسومة في الشكل



يمكننا الحصول على علاقة كمية تربط بين التيار وجهد البطارية ومقاومة السلك (R) حيث نلاحظ إن النقط A في الدائرة تقع عند مستوى جهد عالي وذلك لأنها مرتبطة بالطرف الموجب البطارية والنقطة B تقع من مستوى جهد منخفض وذلك لأنها مرتبطة بالطرف السالب للبطارية ولما كانت الشحنات الموجبة تتحرك من نقط ذات جهد مرتفع إلى نقط ذات جهد منخفض فانه ليس من المدهش إن التيار هو سريان الشحنات الموجبة يتجه من $A \longrightarrow A$ خلال المقاومة (R) من طرفها ذو الجهد المرتفع إلى طرفها الأخر ذو الجهد المنخفض وقد اكتشف هذه الحقيقة أول مرة العالم (جورج سيمون اوم) الذي وجد بالتجربة إن التيار المار في مقاوم يتناسب طرديا مع فرق الجهد بين طرفية حيث أن $I \propto V$

والعامل الأخر الذي يؤثر على التيار هو قيمة المقاومة لهذا المقاوم والتي يرمز لها (R) وتعرف على النحو الاتى:

إذا سبب فرق جهد ${f V}$ عبر مقاومة تيارا قيمته ${f I}$ فان مقاومة المقاوم تكون

 $\mathbf{R} = \mathbf{V}/\mathbf{I}$

Resistance المقاومة

وحدة المقاومة هي فولت لكل أمبير ويرمز لها بالرمز اوم (Ω) هذه المعادلة تسمى قانون اوم (ohm low) ويفككنا التعبير عن قانون اوم بثلاثة إشكال هي :

التيار = الجهد ÷ المقاومة

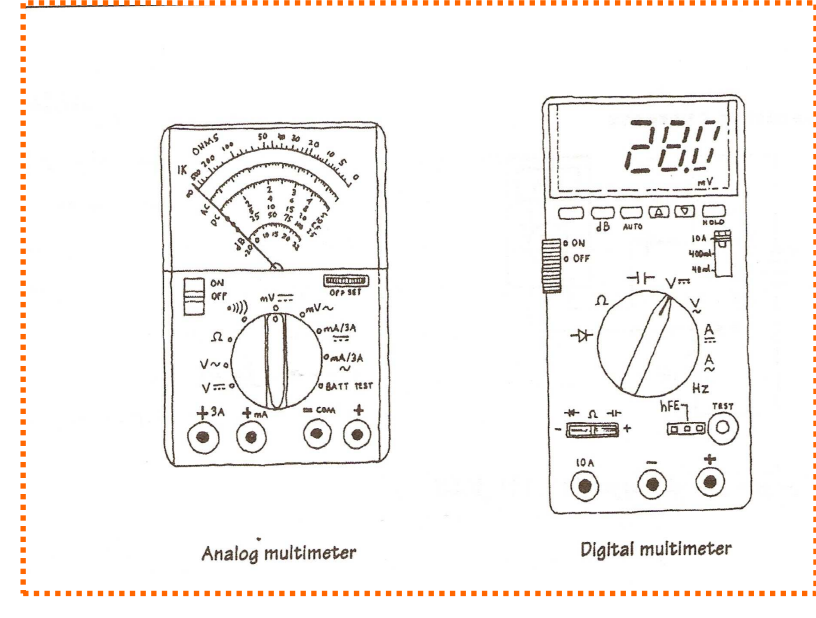
 $I = V \div R$

 $V = I \times R$ lhall $X = I \times R$

 $R = V \div I$ التيار المقاومة = الجهد

٣-٢ المقياس متعدد الأغراض:

هو جهاز يستخدم لقياس التيار (analog) والجهد (voltage) والمقاومة ويتوفر نوعان من هذا المقياس، نوع تشابهي (analog) ونوع رقمي (digital) كما في الشكل أدناه والفرق الواضح بين النوعين هو إن المقياس التشابهي يستخدم مؤشرا متحركا يتأرجح فوق لوحة مدرجه ويتناسب انحراف المؤشر مع القيمة المقاسة ، أما المقياس الرقمي فيستخدم دارة معقدة لتحويل القيم المقاسة إلى رقم يتم إظهاره مباشرة ، وتعتبر المقاييس التشابهية اقل دقة من المقاييس الرقمية كما إن القراءة منها أصعب مقارنة مع القراءة من المقياس الرقمية هي (١٠٠٠) و المقاييس الرقمية هي (١٠٠٠) ، و على الرغم من كل ذلك فان مقاييس التشابهية تتفوق على المقاييس الرقمية عند اختيار الدارات التي تحوى ضجيجا كهربيا كبيرا لأنها ذات ممانعة عاليه للضجيج



شكل يوضح المقياس متعدد الأغراض (digital)

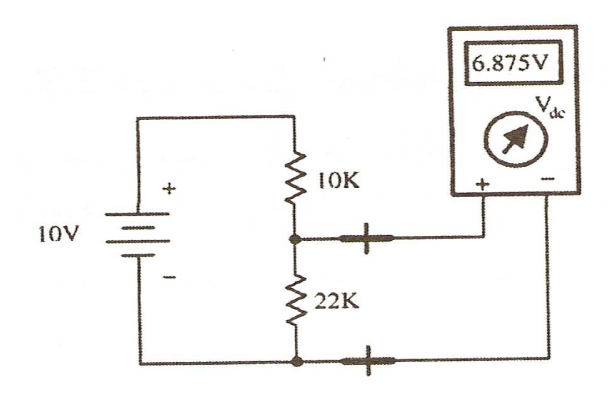
١-٣-٢راسم الإشارة

أن قدره راسم الإشارة على تجميد (freeze) الإشارات عاليه التردد يجعله أداة مفيدة جدا لاختبار العناصر والدارات الاليكترونية حيث يمكن استخدامه لدراسة الموجات مختلقه الأشكال ودراسة تأخير النبضات والإشارات الرقمية وكذلك أهميته في معايره الأجهزة ألجيولوجيه.

٢-٣-٢ إلية العمل على هذه المقاييس:-

* قياس الجهود:

يتم وضع مفتاح نوع القياس من المقياس متعدد الأغراض على وضعية قياس جهد مستمر (VDc) ،عند قياس جهود مستمرة وعلى وضعية قياس جهود متناوبة (VAc) عند قياس جهود متناوبة ثم نوصل مجسات القياس إلى النقطتين التين نرغب بقياس الجهد بينهما فنحصل على القراءة ، حيث يوصل مقياس الجهد على التوازي (parallel) مع العنصر الذي يقاس الجهد علية كما في الشكل أدناه:

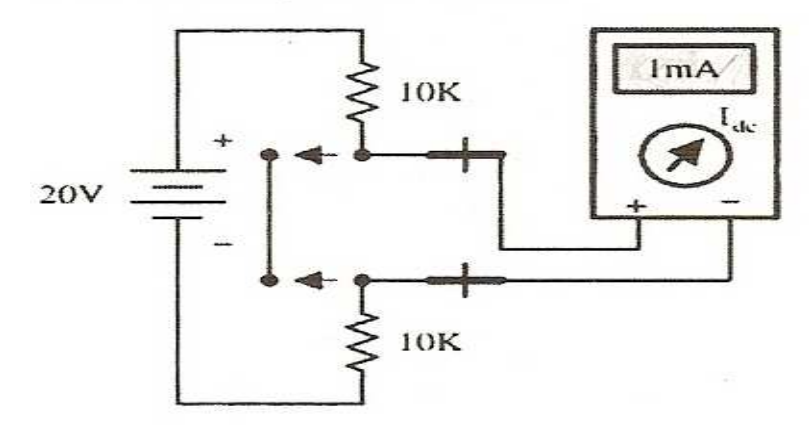


شكل يوضح طريقة توصيل جهاز قياس الجهد مع الدائرة

*قياسات التيارات:-

يوضع مفتاح نوع القياس على قياس تيار (مستمر أو متناوب) حسب نوع التيار المقاس ويوصل مقياس التيار (أو المقياس متعدد الأغراض) على التسلسل مع العنصر الذي نريد قياس تياره لأجل ذلك تفصل الدائرة من مكان قياس التيار ويوصل المقياس (توصل المجسات) كما في الشكل أدناه

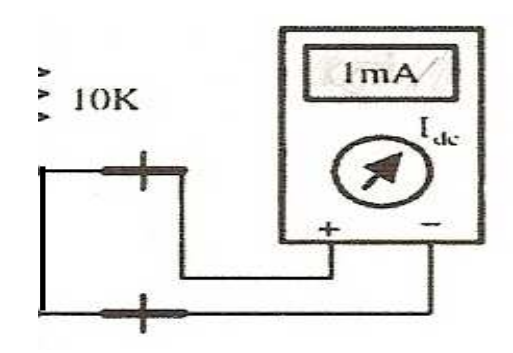
Measuring Currents



شكل يوضح طريقة توصيل جهاز قياس التيار مع الدائرة

*قياس المقاومة و الاستمرارية:-

نقاس المقاومة ببساطة بواسطة vom ويضع مفتاح اختيار نوع القياس على وضعية قياس مقاومة (Ω) ويوصل المقياس بين طرفي المقاومة فتظهر قيمة المقاومة على شاشة الإظهار



شكل يوضح طريقة توصيل جهاز قياس المقاومية مع الدائرة

٤-٢ الطرق العملية في تحديد المقاومية الكهربية النوعية للصخور:

بما أن المقاومية تحدد ليس فقط بالتركيب المادي للصخر إنما بمسامية ورطوبته أيضا فان أكثر القيم صحة للمقاومية هي تلك التي يحصل عليها بإجراء القياسات على الصخور في حالة توضعا الطبيعي وتجرى قياسات المقاومية في التنقيب الكهربي على سطح الأرض أو في المقالع أو على التكشفات أو في الآبار إضافة إلى ذلك تستخدم الطرق المخبرية في قياس المقاومية رغم إمكانية حصول تخريب لشروط التو ضع الطبيعية للصخر عند اخذ عينة منه، الأمر الذي يؤدي بالتالي إلى الحصول على قيمة للمقاومية تختلف عن قيمتها الحقيقية ، وتصاحب عمليات القياس المعملية صعوبات يرجع سببها إلى التبدلات الواسعة للمقاومية والمقاومات الانتقالية الكبيرة ولزوم المحافظة على تركيب ومسامية ورطوبة العينة ويمكن تحقيق قياس المقاومية في المعمل (المختبر) بواسطة طرق مختلفة أهمها الطريقة رباعية الأقطاب.

الطريقة رباعية الأقطاب:

وعلية يتم حساب مقاوميه العينة بالعلاقة

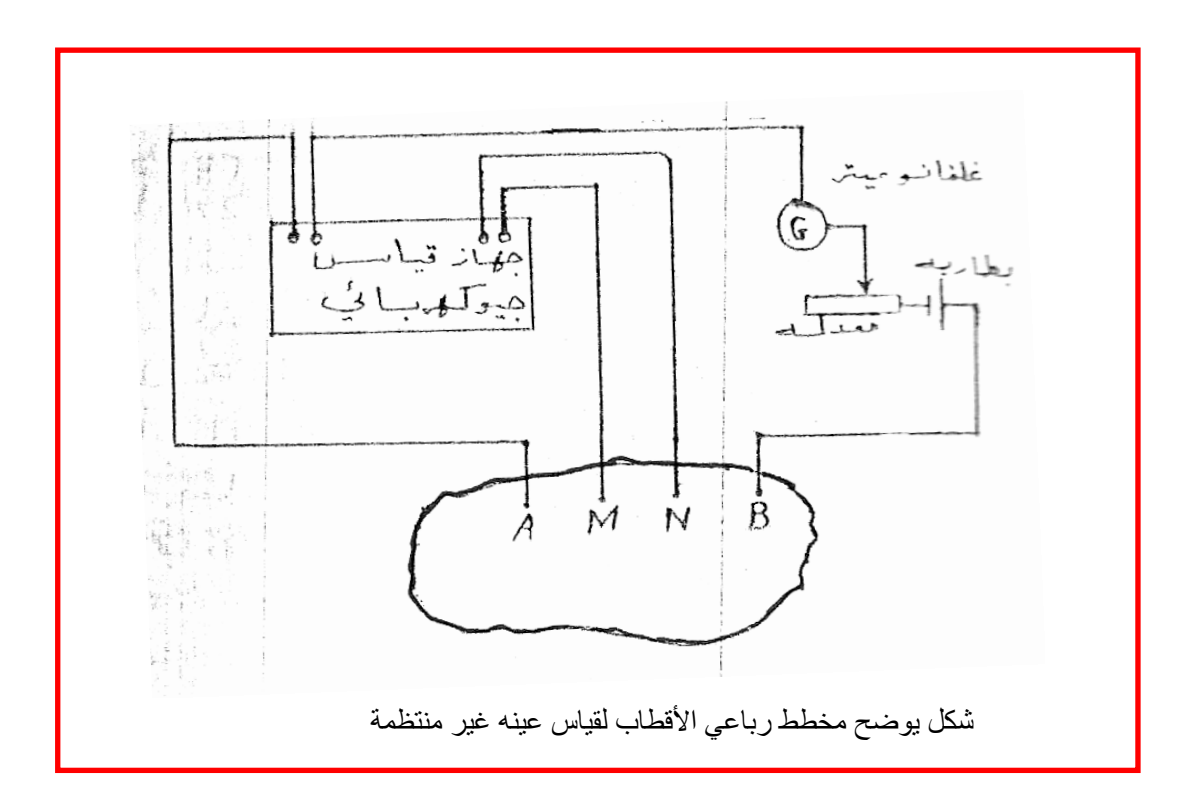
 $P = k \times V / I$

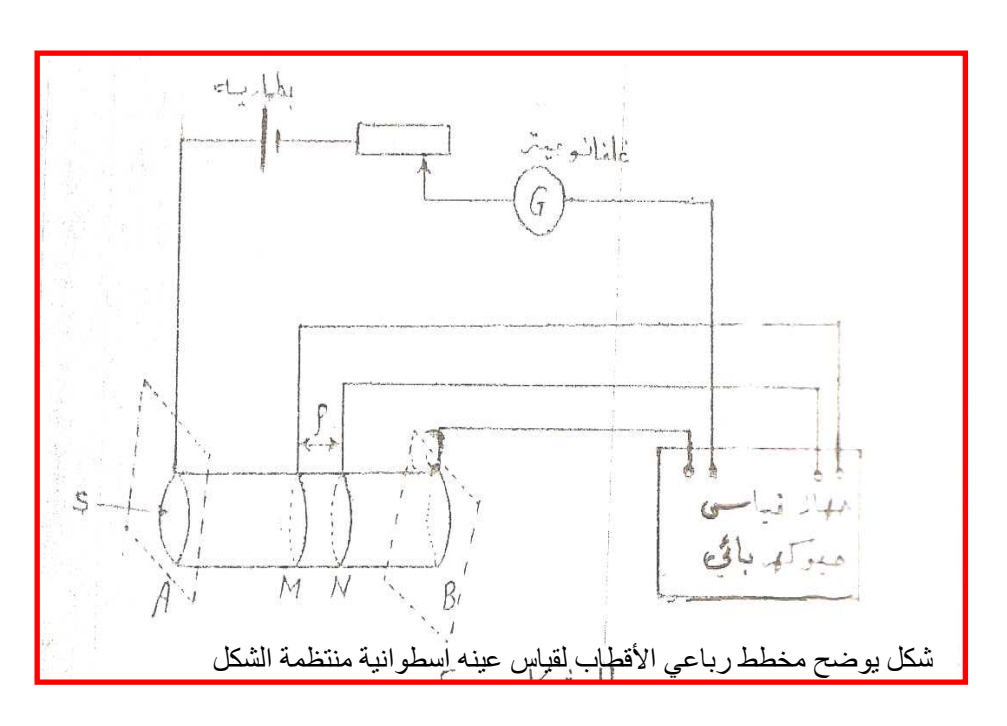
حيث أن K = 2 TIA ويسمى ثابت الوضعية.

فإذا كانت AB اصغر من الأبعاد العرضية للعينة فان القيمة المتوسطة لP المقاسة عدة مرات وبأماكن مختلفة من العينة تكون قريبة من المقاومية الحقيقية للصخر أما إذا كانت لدينا عينة اسطوانية منتظمة فان تحديد مقاوميتها يتم باستعمال المخطط كما في الشكل رقم (٢).وفي هذه الحالة يتم إمرار تيار خلال العينة بمساعدة لوحين مثبتين في أطرافها. أما بالنسبة لقياس فرق الجهد فانه يقاس في القسم المركزي للعينة بمساعدة قطبين حلقيين.

فإذا عرفنا أن $V \triangle e$ و E والمسافة E E ومساحة المقطع العرضي للاسطوانة E فانه من السهل علينا حساب مقاوميه العينة بالعلاقة E

 $P = S/L \times V/I$





٥-١١لأجهزة والمعدات المستعملة في التنقيب الكهربي بالتيار المستمر:

تستعمل في التنقيب الكهربائي وفي طرق التيار المستمر مجموعة من الأجهزة والمعدات القياسية التي تشمل على:

- أجهزة القياس
- مصادر التغذية
- الأقطاب Electrodes.
 - أسلاك جيدة العزل.
 - معدات مساعدة .

وألان دعونا ندخل في الحديث عن كل عنصر من المجموعة أعلاه كل على حدة:

أجهزة القياس:-

وتعتبر هذه الأجهزة من الأجهزة الجيولوجية الأساسية التي يعتمد مبدأ عملها على إيجاد المقاومة الظاهرية (P) للمواد التحت سطحية بإمرار تيار كهربائي معروف الشدة خلال الأرض وقياس فرق الجهد بين نقطتين أو بين قطبين وذلك عن طريق حل المعادلة التالية:

$$p = \ V \ / \ I \ \times \ K$$

حيث أن

p المقاومة النوعية الظاهرية.

V الجهد الكهربائي المقاس.

I التيار الكهربائي المرسل.

ثابت يسمى ثابت التشكيل ويعتمد فقط على الوضعية الهندسية لأقطاب التيار المرسل وأقطاب الجهد المقاس .

مصادر التغذية:POWER SUPPLY

تستخدم في التنقيب الكهربائي عموما مصادر تغذية مختلفة ،وذلك تبعا لشروط القياس ونوعية الأجهزة المستعملة ، نذكر من هذه المصادر ما يلي:

- ١) البطاريات الجافة التي تؤمن التغذية الداخلية للأجهزة.
- ٢) البطاريات السائلة التي تؤمن التغذية لمولدات التيار المتواصل .

: ELECTROD S

يمكن تقسيم الأقطاب إلى مجموعتين:

• مجموعة أقطاب التغذية:

وتكون فو لاذية وتستعمل عادة قضبان حديدية دائرية ذات قطر ١٥-٢٠م م ،وتتحدد أطوالها بطبيعة المنطقة المدروسة والمقاوميــه الكهربائية لسطح ارض المنطقة وشدة التيار المرسل من دائرة التغذية .

• مجموعة أقطاب الاستقبال(قياس الجهد):

فتتألف من قضبان دائرية نحاسية وذات قطر (٢٠ م) وأطوال لا تتجاوز (١م) وتتميز هذه الأقطاب باستقطابية منخفضة نسبيا و بمتانة مقبولة .

أسلاك جيدة العزل:-

من أهم الصفات التي يجب أن تتصف بها الأسلاك المستعملة في التنقيب الكهربائي هو/ المتانة الميكانيكية العالية / العزل الكهربائي الممتاز /، وذلك نظرا لنوعية العمل الجيوكهربائي الحقلي . كما يجب أن تكون ذات مقاومية منخفضة للحد من ضياع الطاقة ، وتلف هذه الأسلاك عادة على بكرات يدوية .

المعدات المساعدة:

مثل (بكرات ،مطارق ، أمتار قياس ،وسائل توصيل)

١-٥-٢ أجهزة قياس التيار والجهد الهولندية الصنع:

إن هذه الأجهزة مصممة لقياس فرق الجهد وشدة التيار كل على حدة لذا فهي لا تستطيع قياس المقاومية الظاهرية بالرجوع إلى العمليات الحسابية ، فعند معرفة قيمة التيار I وفرق الجهد V وحساب قيمة الثابت I نستخدم المعادلة التالية لإيجاد المقاومة الظاهرية

P=V/I.K

يتكون الجهاز الهولندي من وحدتين اساسيتبن هما

- وحدة توليد الجهود العالية وقياس التيار المرسل:

وتقوم هذه الوحدة بتوليد وقياس التيارات المرسلة إلى الأرض بجهود عالية ذات القيم (٣٨ – ٣٠٠) وبتيارات كهربية تتراوح قيمتها بين (٣٨ – ٣٠٠)

وذلك عند توصيلها بمصدر طاقة (٧٠٨-٢٤٧) وتتمكن هذه الوحدة من قياس التيار المرسل بواسطة مقياس التيار المدمج فيها والذي يتكون من مغناطيس كهربائي متحكم به تباريا ويؤدي هذا المغناطيس إلى تطبيق عزم على إبرة دوارة موصلة مع نابض دائري يتناسب انحراف الابره مع التيار المار في المغناطيس الكهربي ويجب قراءة التيار من التدريج المناسب والذي يوافق القيمة التي حددت بواسطة مفتاح الاختيار، إن قيمة المقاومة الداخلية لمقياس التيار هي حوالي صفر تقريبا ،لذالك يعتبر هذا المقياس مثاليا...

وحدة قياس فرق الجهد الكهربي:-

وتحتوي هذه الوحدة على مقياس الفولت التشابهي الذي هو عبارة عن مقياس جلفا ني ذو مقاومة داخلية عالية وعند وصل مجسات مقياس الفولت بين نقطتين فان تيارا يمر من الجهد العالي إلى الجهد المنخفض ويمر جزء من التيار عبر المقياس الجلفاني ويتناسب انحراف الإبرة مع الجهد المقاس، وتوجد بعض المفاتيح المتغيرة على واجهة الجهاز من اجل معايرة وضبط الإبرة، إن قيمة المقاومة الداخلية لمقياس الجهد كبيرة جدا لذلك يعتبر هذا المقياس مثاليا

نصائح خاصة بالمستخدم:-

- ١) يجب التأكد من صحة توصيل دوائر القياس.
- ٢) يجب التأكد من وضعية مفتاح التبديل قبل إجراء عملية القياس.
 - ٣) معايرة الجهاز قبل إجراء عملية القياس به.
- غ) نظراً لان هذه الأجهزة تستخدم مؤشرا متحركا فلا بد منا الاهتمام بوضعية تثبيت الجهاز وعدم تعرضه لأي اهتزاز أثناء عملية القياس فإذا لم يستخدم بالوضعية المقررة يزداد خطاء الجهاز.
- هذه الأجهزة لها مرآة على لوحة إظهار القراءة وذلك لزيادة دقة الجهاز حيث يجب أن
 يكون المؤشر منطبقا على خيالة عند قراءة الرقم الذي يشير إلية المؤشر لذلك يجب
 القراءة بحيث يكون المؤشر مقابلاً تماما للنظر وليس بزاوية.
- آ) لتلافي المجالات المغناطيسية التي تولدها الأجهزة الكهربائية القريبة (محولات محركات) يفضل توصيل أرضي للجهاز.

٢-٥-٢ جهاز قياس المقاومية الكهربي الفرنسي الصنع:- SYSCAL R2

ويعتبر هذا الجهاز من الأجهزة الالكترونية المعقدة التي تحتوي على معالج صغير أو منضم صغير مسئير micro comp utter معنير micro comp utter ، يمكنه من قياس المقاومية الظاهرية بطريقة مباشرة وبشكل أوتوماتيكي

كيف يعمل هذا الجهاز:

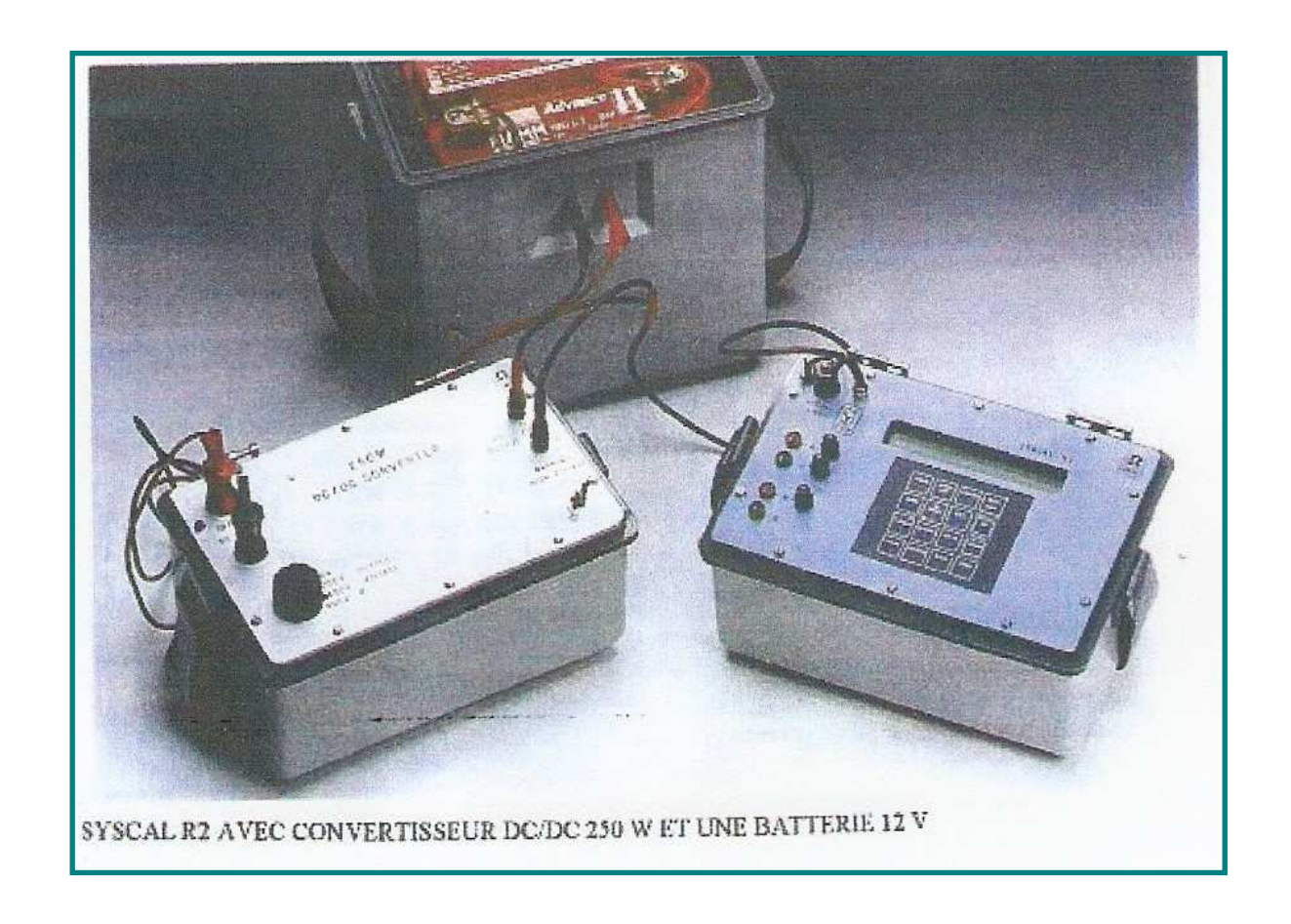
إن الفكرة التي يقوم عليها هذا الجهاز لقياس المقاومية الظاهرية ما هي إلا تقليد للطريقة التي يقوم بها الجيوفيزيائي لقياس المقاومية الظاهرية بالأجهزة التماثلية (الهولندية)، نحن على سبيل المثال: مثلا عندما نريد أن نقيس المقاومية الظاهرية بالأجهزة التماثلية (الهولندية) إلى ماذا نحتاج لتنفيذ هذه المهمة ؟

لكي نقوم بذلك سنحتاج للتالي:-

- 1- أن يكون لدينا القوانين المهمة وبالأخص تلك المتعلقة بإيجاد المقاومية الظاهرية وهذا بالطبع يتطلب منا الرجوع للاستعانة بأحد الكتب أو المراجع الجيوفيزيائية المتضمنة على تلك القوانين.
 - ٢- أن يكون لدينا كراس أو بعض الأوراق لتدوين بعض النتائج الحسابية
 - ٣- ستحتاج أيضا إلى آلة حاسبة لمساعدتنا في إجراء بعض العمليات الحسابية
 - ٤- أخيرا ستحتاج إلى بذل جهد كبير للتأكد من صحة القياس وتوصيل الدارة ،وما نريد الوصول إلى توضيحه هنا هو أن :

هذه الأشياء لو تم توفير ها مجتمعة ، لن تقاس المقاومية من تلقاء نفسها لكن لابد من منظم لعملية القياس و هو الجيوفيزيائي و لابد كذلك من وجود خطة للقياس،أيضا الأجزاء الأربعة السابقة هي تقريبا ما يقوم به الجهاز ، كما سنرى أن خط القياس هو البرنامج الموضوع في الجهاز عن طريق المصنع، أي أن الجهاز لا يقوم بهذه المهمة من تلقاء نفسه لكنه يسير على خطة قياس وضعتها أنت مستفيدا فقط من البرامج وبالسرعة الهائلة والوقت الزمني التي ينفذ بها البرنامج العمليات

المخطط الكتلى لجهاز قياس المقاومية الفرنسى :-



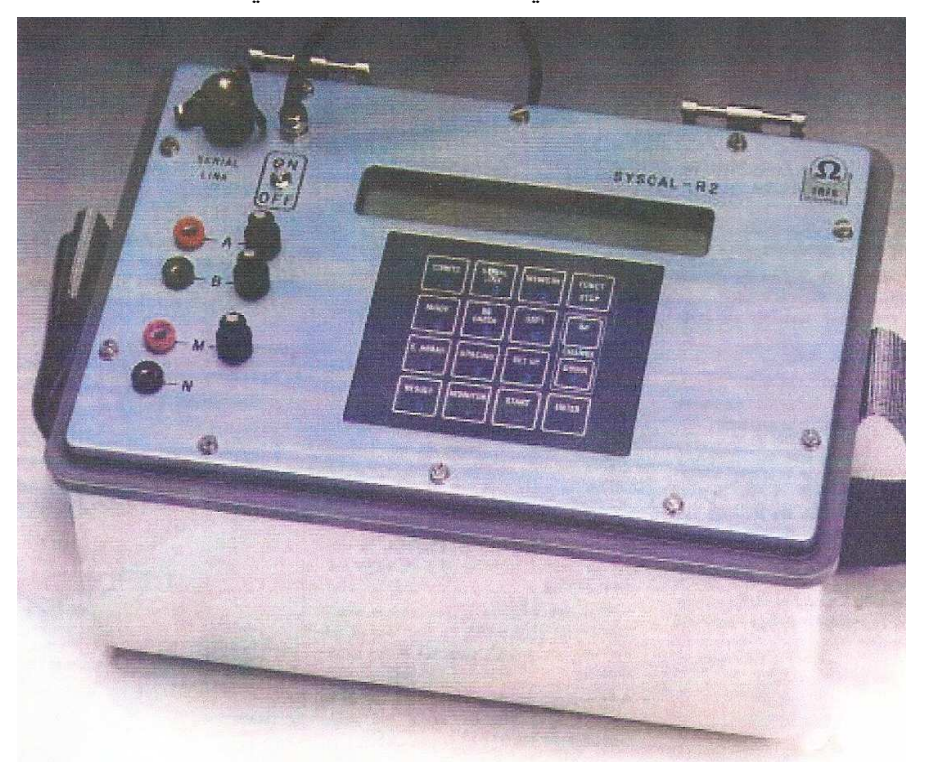
* وحدة تجهيز القدرة (Dc. Dc. Converter *

حتى نتمكن من قياس المقاومية الظاهرية فإننا نحتاج إلى توليد تيارات كهربية بجهود عالية نحصل عليها من وحده تجهيز القدرة Dc. Dc. Converter التي تغذى بالطاق الكهربية المستمرة من مصدر بطارية V17DC (بطارية سيارة مثلا) وتولد هذه الوحدة جهودا مستمرة تتدرج من (V17DC-200-400) وبشدة تيار مقداره (V17DC-0.62-1.) أي بقدرة V17DC-200-200).

*حدة السيطرة والقياس Control console

تحتوى هذه الوحدة على وحده ألمعالجه التي تتحكم بدوائر عديدة منها دائرة إرسال التيار بالإضافة إلى مراقبة جميع أجزا الجهاز والتأكد من عملها بشكل سليم بمعنى أن كل دائرة تعتبر مسو وله عن نظام في الجهاز وفى حال حدوث اى خلل لابد أن ترسل كل دائرة

إشارة عاجلة إلى وحدة المعالجة التي تعمل بدورها على إيقاف عملية القياس وكذلك إرسال رسالة إلى الشاشة الرئيسية ليتمكن الفني من معرفة ما يجرى في الجهاز



وظائف القوا بس والمفاتيح الموجودة على الجهاز :-

تبين الصورة السابقة الواجهة الأمامية لجهاز قياس المقاومية وتسمى الواجهة الأمامية للجهاز أيضا باسم لوحة التحكم للجهاز (control panel) وتحتوي واجهة الجهاز على مواقع المفاتيح (switches) وعلى القوا بس (knobs) وشاشة الإظهار الرقم digital) (display وغيرها ، وإذا لم تجد كل ما تحتاجه هنا في هذه الفقرة يمكنك الرجوع إلى دليل الاستخدام (user manual) للجهاز الوارد من الشركة الصانعة مع الجهاز.

تقسم لوحة التحكم الموجود (بواجهة الجهاز الأمامية) إلى الأقسام التالية:-

 <u>لوحة الإظهار LCD:</u>
 وهي من نوع مصفوفات النقاط الذكية التي تستخدم لإظهار الأحرف والأرقام والرموز الأخرى وتقسم هذه الوحدة العددية الحرفية (alpha numeric) إلى عدد من القطاعات (blocks) و هی مکونة من (۲۰)عمودا و (۲)صفوف

■ الموصلاتConductors:-

يحتوي هذا الجهاز على نوعين من الموصلات هما:

a) النوع الأول:

يحتوي على عدد (٢) من القوا بس من النوع (banana plug-نهاية ذكرية) احدهما احمر والأخر اسود اللون يتم توصيلهما إلى قوابس خروج الفولتية العالية في وحدة توليد الجهود العالية (DC-DC-Converter) وذلك لغرض التحكم بهذه الفولتيات العالية ومعالجتها قبل إرسالها إلى الأرض

b) النوع الثاني:

يحتوي على قوابس عددها(٤)من النوع (jack-نهاية أنثوية)عليها الحروف التالية

B- A -----يتم توصيلهما إلى قطبي التيار

N - M - سيتم توصيلهما إلى قطبي قياس الجهد

• مفاتیح الفحص(push button switch check)

و عددها ثلاثة مفاتيح تقوم هذه المفاتيح عند الضغط عليها كلا على حدة بقياس المقاومة الانتقالية للأقطاب (مقاوميه التأريض) للدوائر التالية

AN---BN---MN

لوحه المفاتيح (key board):-

وتحتوي هذه اللوحة علي ستة عشر مفتاحا من النوع(touch key)دون علي كل مفتاح الوظيفة التي يقوم بها إضافة إلى عمله كرقم.

مفاتيح تستخدم قبل عمليه القياس:-

- ❖ مفتاح (BAT)وستخدم للتأكد من جودة البطارية الداخلية للجهاز لذلك يجب علينا دائماً
 استخدام هذا المفتاح (ضاغط فحص التغذية) حتى نحصل على قياس صحيح.
- ♦ مفتاح Modeويسمح لنا هذا المفتاح من اختيار ِأحدى الطرق الممكنة لتشغيل الجهاز (RHO-RHO+IP-Multi electrode).

- ❖ مفتاح Up و يستخدم هذا المفتاح للتحكم بالنظام الزمني لنبضات التيار المقطع والمرسل إلى الأرض.
- ♦ مفتاح electrode array selection E-ARRAY) يمكننا من اختيار الترتيب المناسب للأقطاب .
- ❖ مفتاح config ويمكننا هذا المفتاح من اختيار ألطريقه التي يقوم وفقها الجهاز لقياس المقاوميه.
- ❖ مفتاح monitor يمكننا هذا المفتاح عند الضغط عليه من قياس فرق الجهد الكهربائي
 الطبيعي

المفاتيح المستخدمة اثنا عمل القياس :--

- مفتاح SPACING- عند الضغط على هذا المفتاح نستطيع إدخال القيم التي يحتاجها الجهاز لحساب الثابت (K).
- مفتاح -START إن الضغط على هذا المفتاح ما هوا إلا توجيه أمر للجهاز ببد عمليه القياس ،التي تتضمن إرسال تيار معروف الشدة وقياس فرق الجهد.
 - مفتاح STOP يمكننا هذا المفتاح عند الضغط عليه من أنها عمليه القياس.
- مفتاح RESULT بمكننا هذا المفتاح من الحصول على النتيجة النهائية لعمليه القياس والمعالجة التي يقوم بها الجهاز و التي تظهر لنا على شاشه الإظهار بقيمه عدديه للمقاوميه الظاهرية.
 - مفتاح MEMORY يمكننا هذا المفتاح عند ضغطه على تخزين نتائج القياس في ناكرة الجهاز أو قراءتها.

المفاتيح المستخدمة بعد عمليه القياس :-

✓ مفتاح SERIAL LINK ويستخدم هنا المفتاح لربط الجهاز مع أجهزة أخرى
 كالكمبيوتر مثلا.

٦- ١ الاحتياطات أللازم إتباعها لقياس المقاومية الظاهرية في الحقل:

- ❖ التأكد من إن مجموعه الأسلاك الموصلة للجهاز مثبتة صحيحة وفي موقعها بالجهاز.
- ❖ التأكد من وجود سلك ارضي متصل بالجهاز لكي يقوم بتفريغ الشحنات الزائدة في الجهاز .
 - التأكد من تعميق أقطاب الإرسال والقياس .
 - تجنب العمل بالقرب من أنابيب المياه ومحولات الضغط العالي

ملاحظة :- يجب اقتناء نسخة من الكتيبات الخاصة والتابعة للأجهزة أعلاه كمرفق ضروري لهذا الجزء.

المراجع

١) المراجع العربية

- واثق رسول أغا -الطرق الجيوكهربية الجزء الأول التنقيب بالتيار المتواصل جامعة دمشق ، ٩٩٥ م .
- الجابري _رسالة دكتوراه (التطبيقات الجيوفيزيائية للأغراض الهندسية _ دراسة موقع كهف _ جامعة بغداد _ ۱۹۹۷م.
- الجابري سلسلة محاضرات طلبة الماجستير (الاستكشاف الكهربائي) جامعة صنعاء ٢٠٠٦م.
- تقارير إدارة الجيوفيزياء.قسم المسح الكهربي للتنقيب عن المياه الجوفية في بعض مناطق الجمهورية اليمنية، هيئة المساحة الجيولوجية والشروات المعدنية، صنعاء.

References:

- Otto Koefoed,1979.Geosounding principles,1 Resistivity Sounding Measurements, elsever scientific publishing company ,New York.
- Koefoed ,O.1976b. Progress in the direct interpretation of receptivity sounding .Geophys.prospect.,24:31-48.
- http://www.eeescience.utoledo edu/facalty/ stimman/EEG/notes /schl Array.
- User's manual .SYSCAL R2 (v 11.2++)-Multi-Electrode mode August 2001.
- A.A Zohdi, G.P.Eaton and D.R.Mabey.1974, The Application of Surface Geophysics to Ground-water investigation, USGPO Washington.
- Tsokas,G.N.and Rocca,A.ch.,1987 Field investigation of Macedonian Tumulus by receptivity sounding ,Geoexploration.